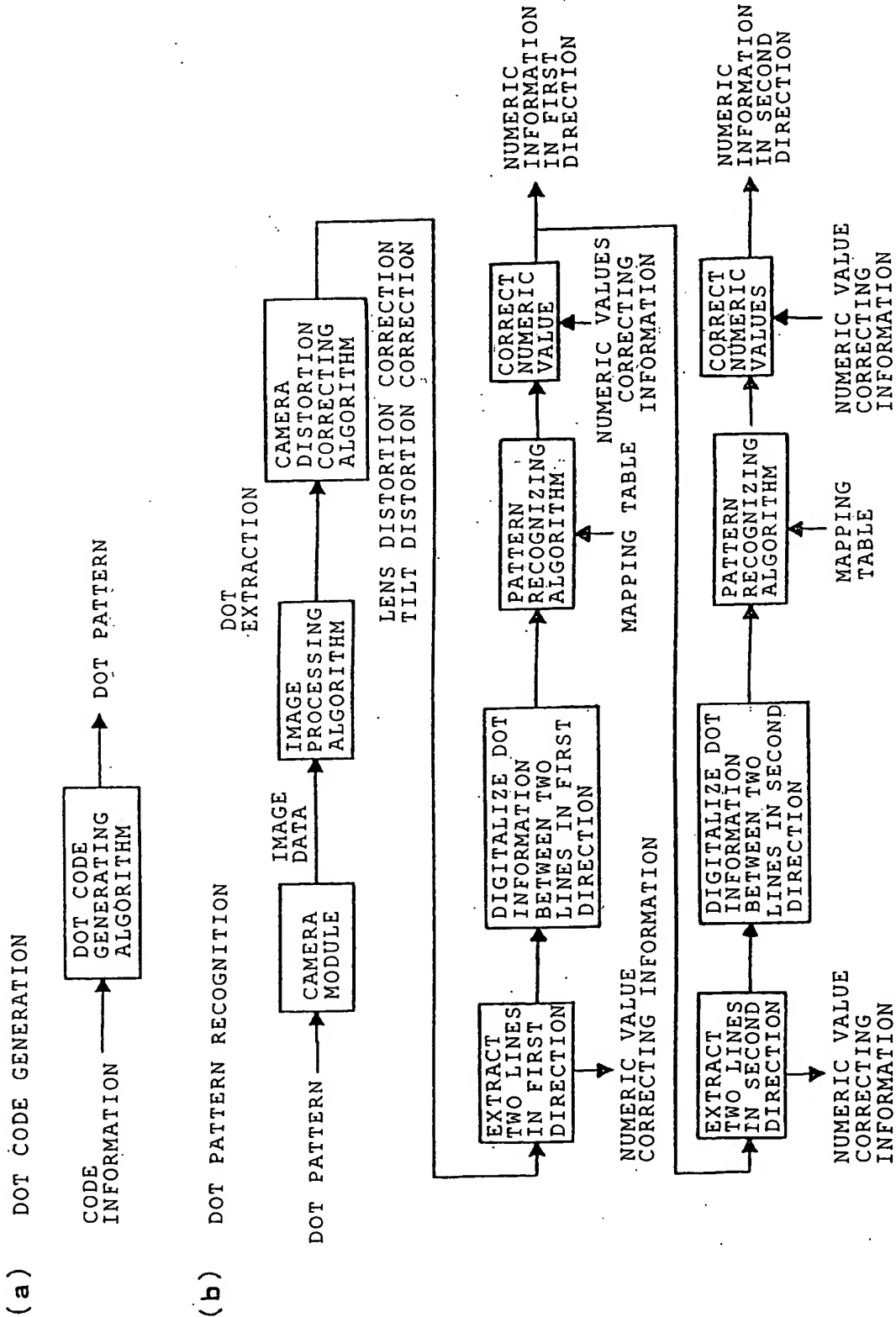


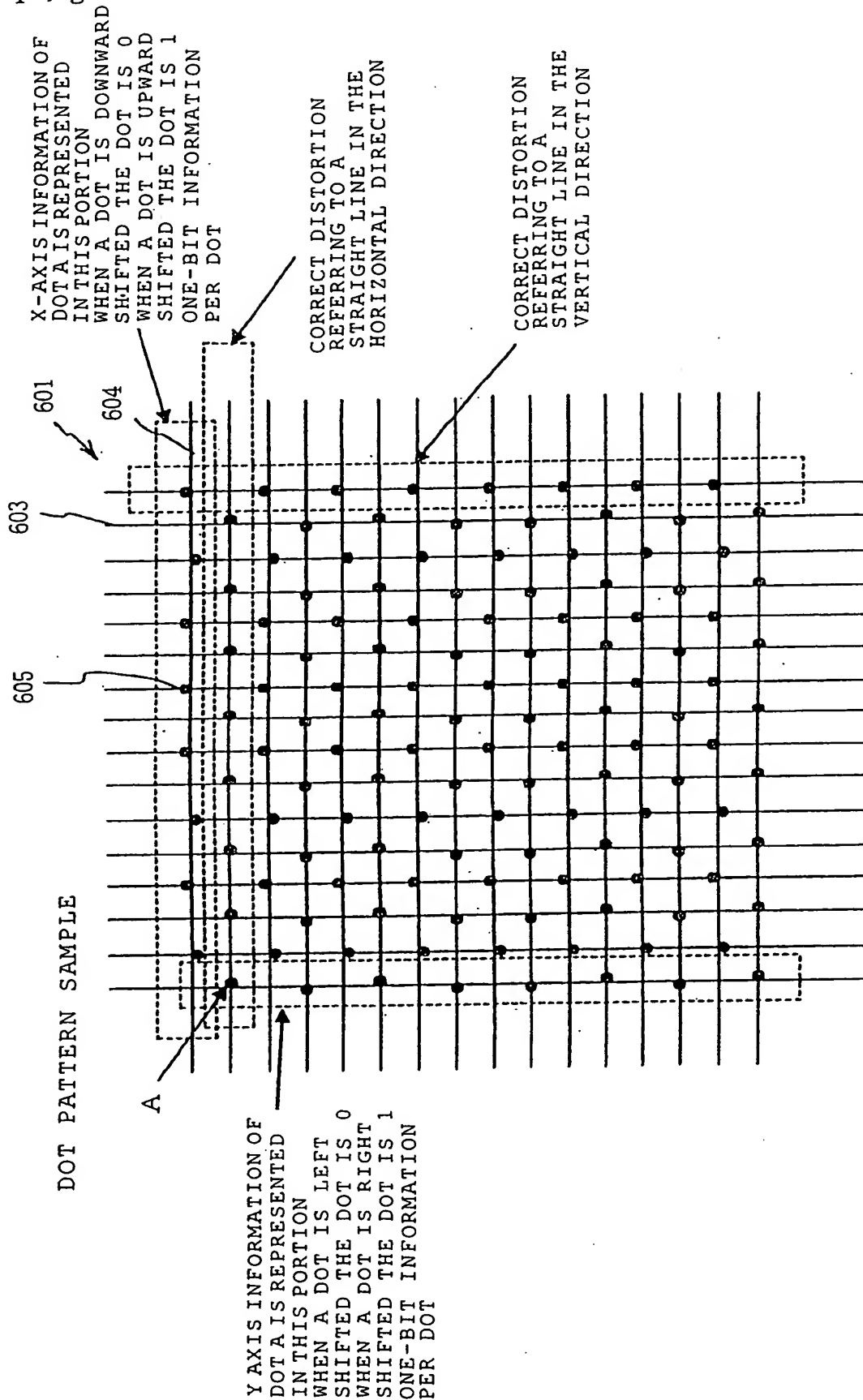
1 / 83

Fig. 1



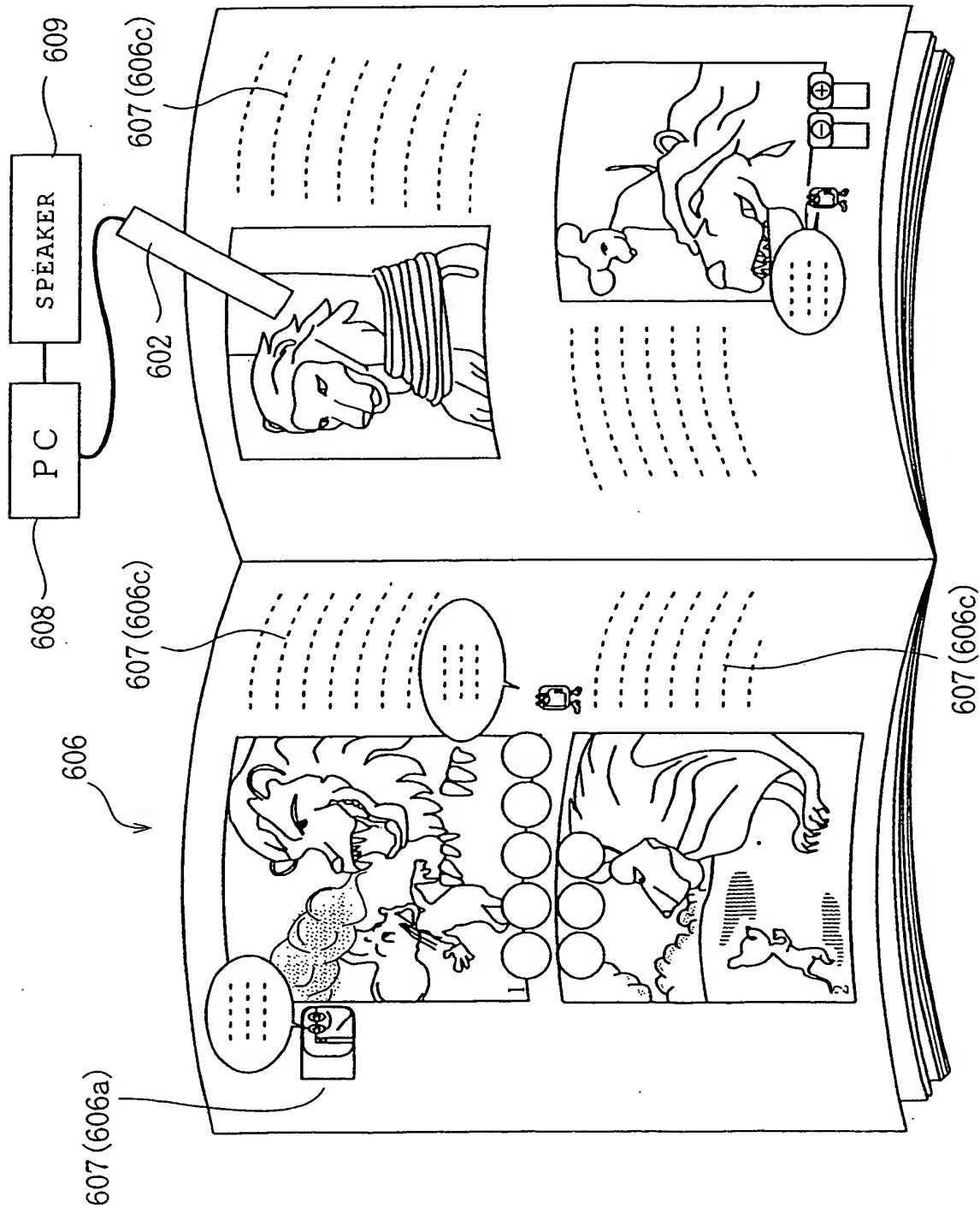
2 / 83

Fig. 2



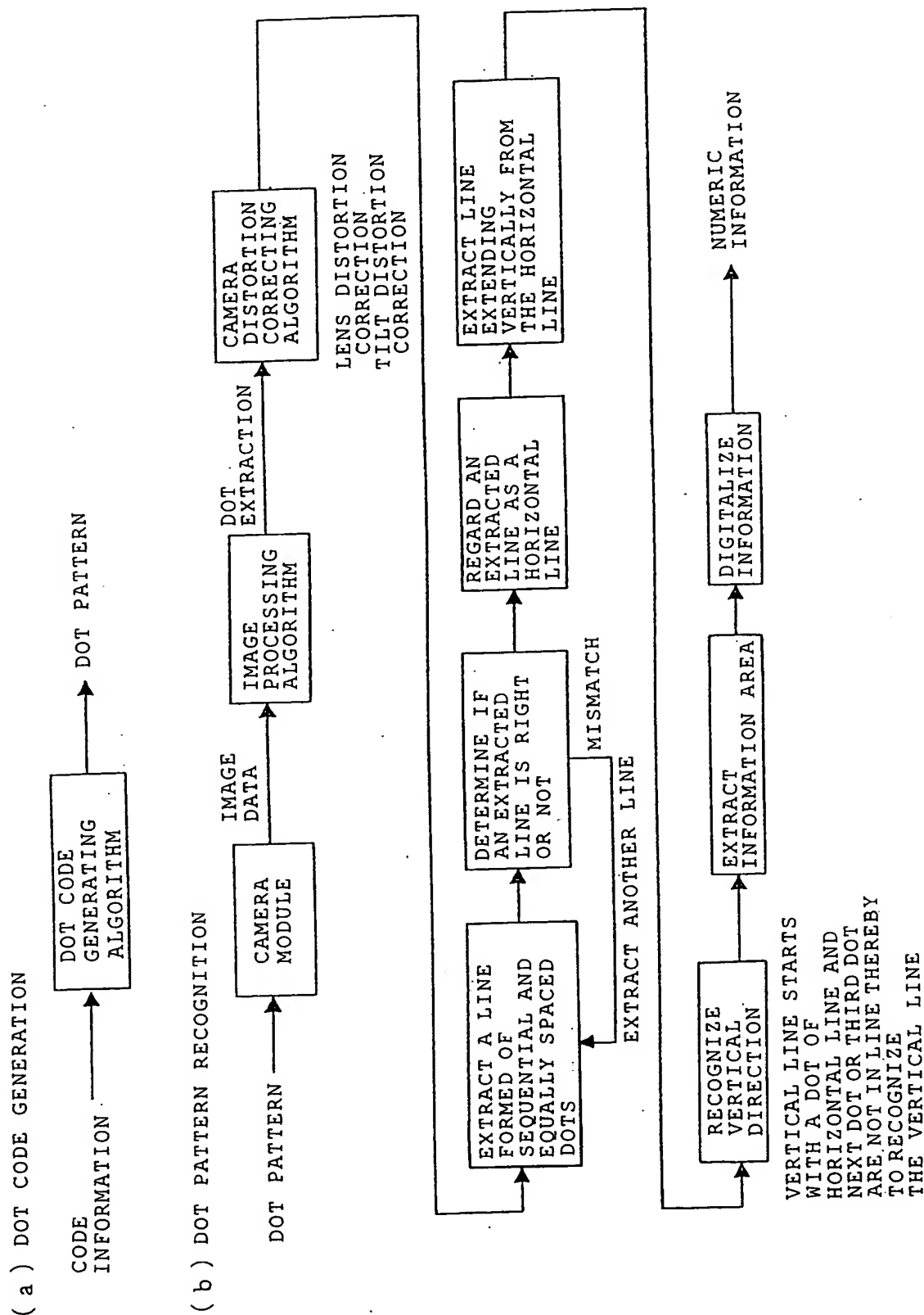
3 / 8 3

Fig. 3



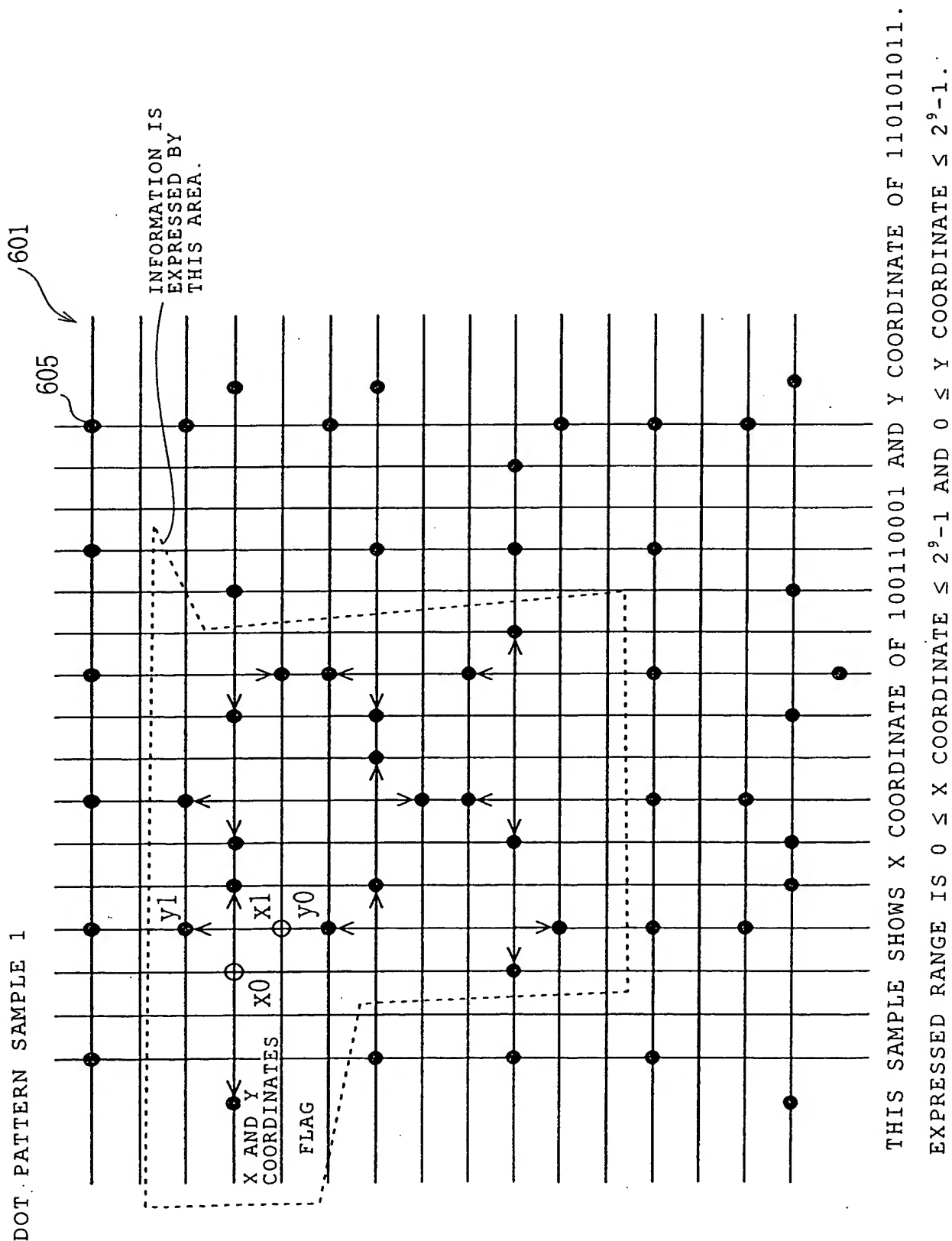
4/83

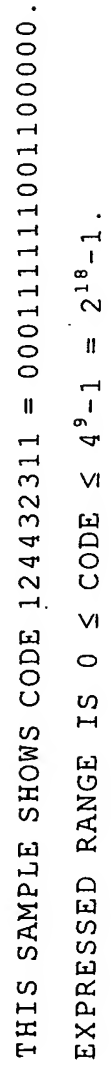
Fig. 4



5 / 83

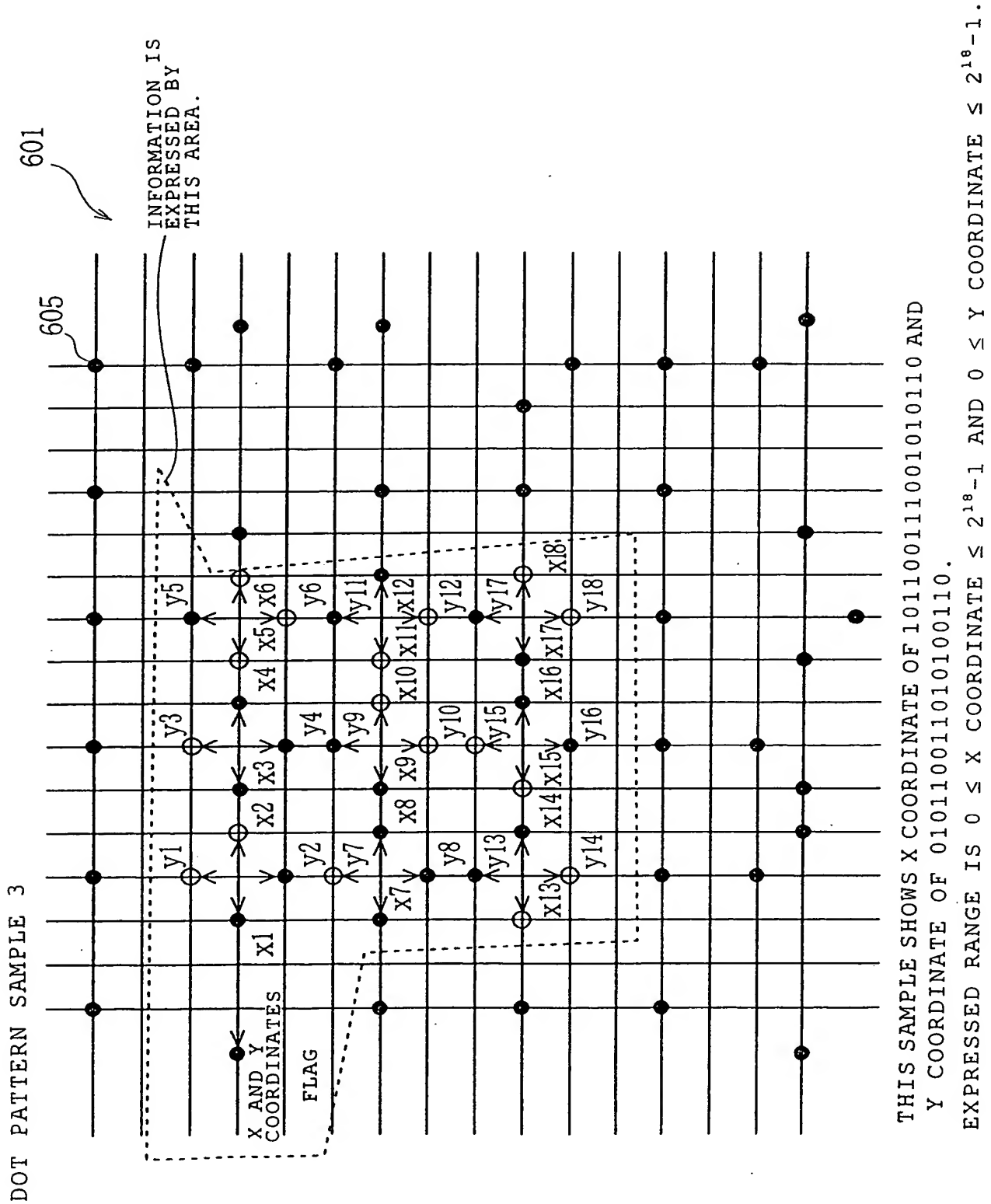
Fig. 5





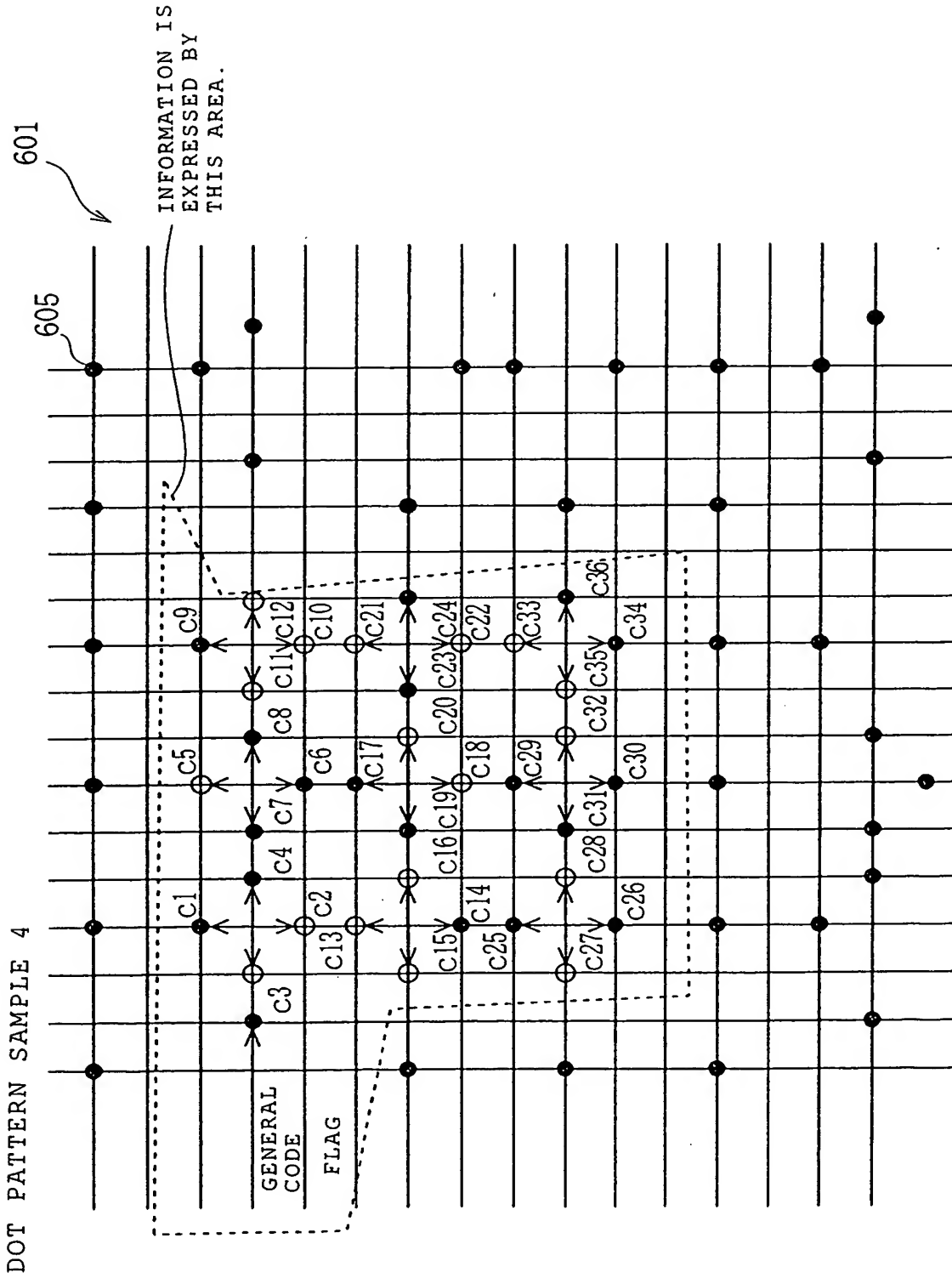
7/83

Fig. 7



8 / 83

Fig. 8

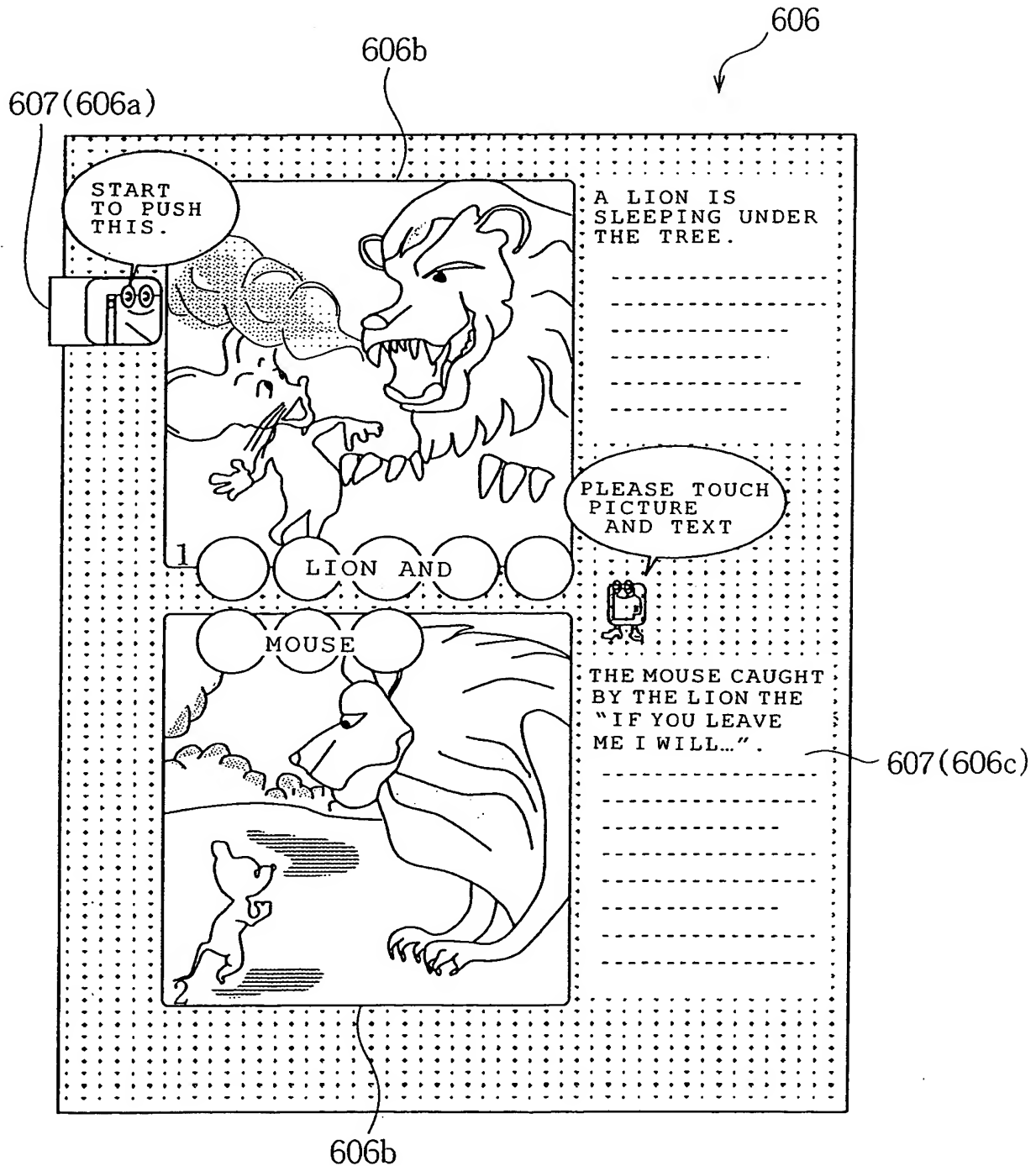


THIS SAMPLE SHOWS CODE 100101111000010010100011110011100101.

EXPRESSED RANGE IS $0 \leq \text{CODE} \leq 2^{36}-1$.

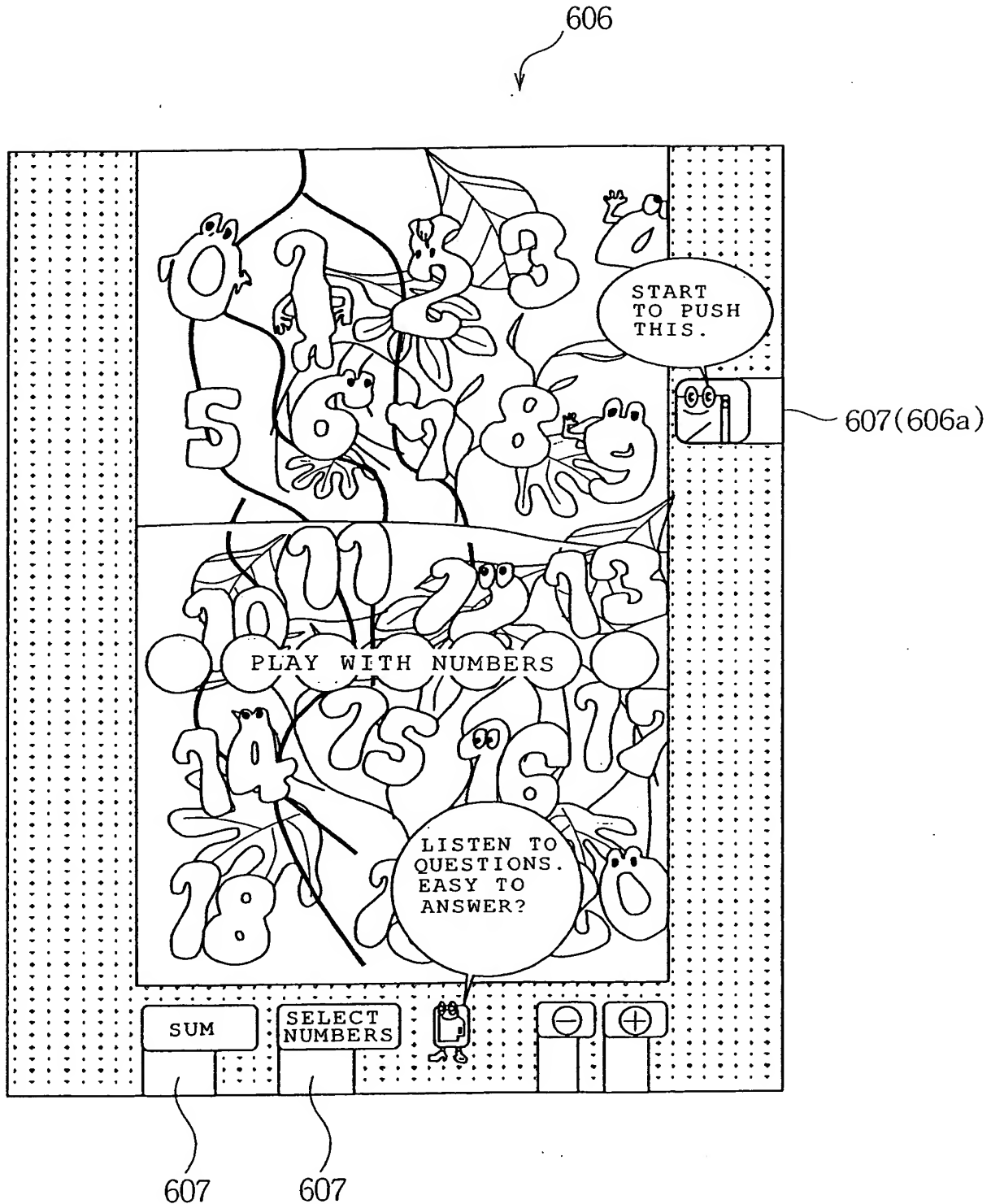
9/83

Fig. 9



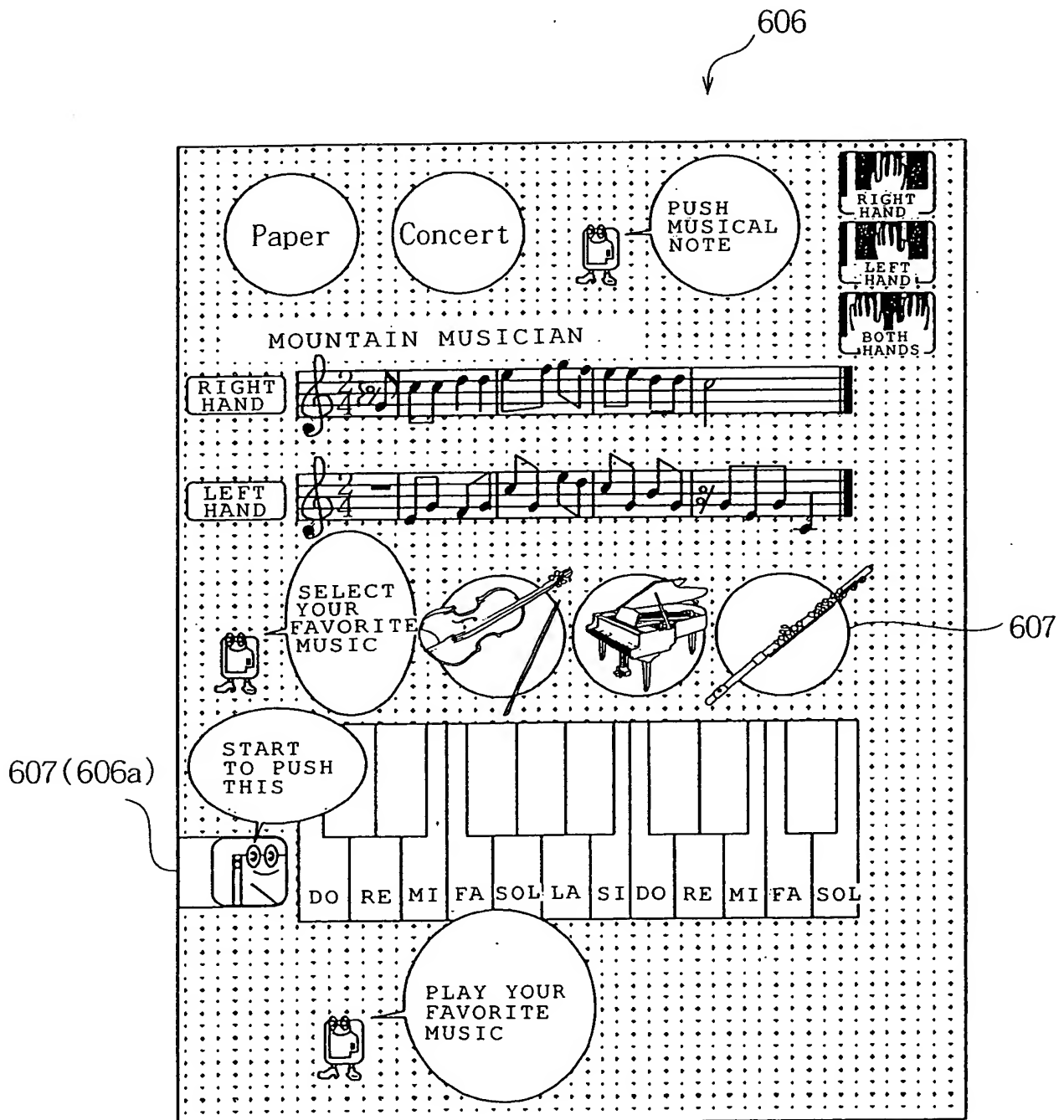
10/83

Fig. 10



11/83

Fig. 11



12/83

Fig. 12

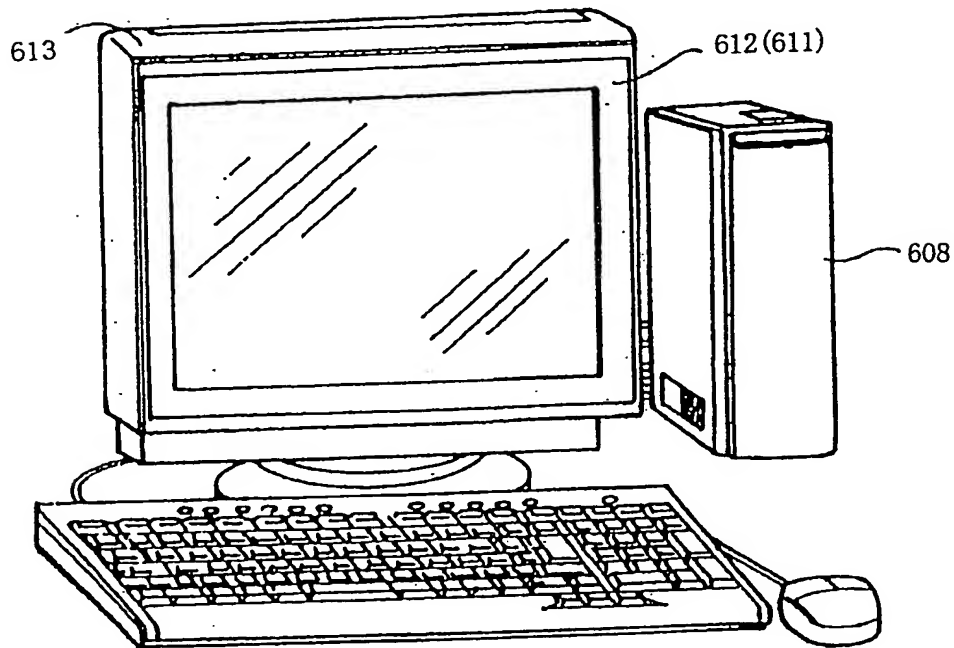
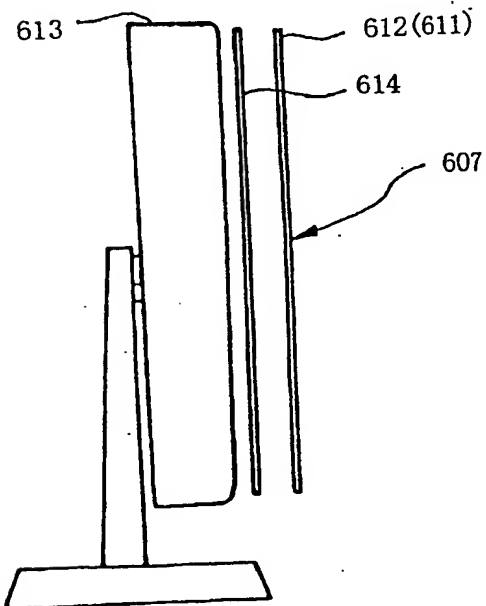


Fig. 13



13/83

Fig. 14

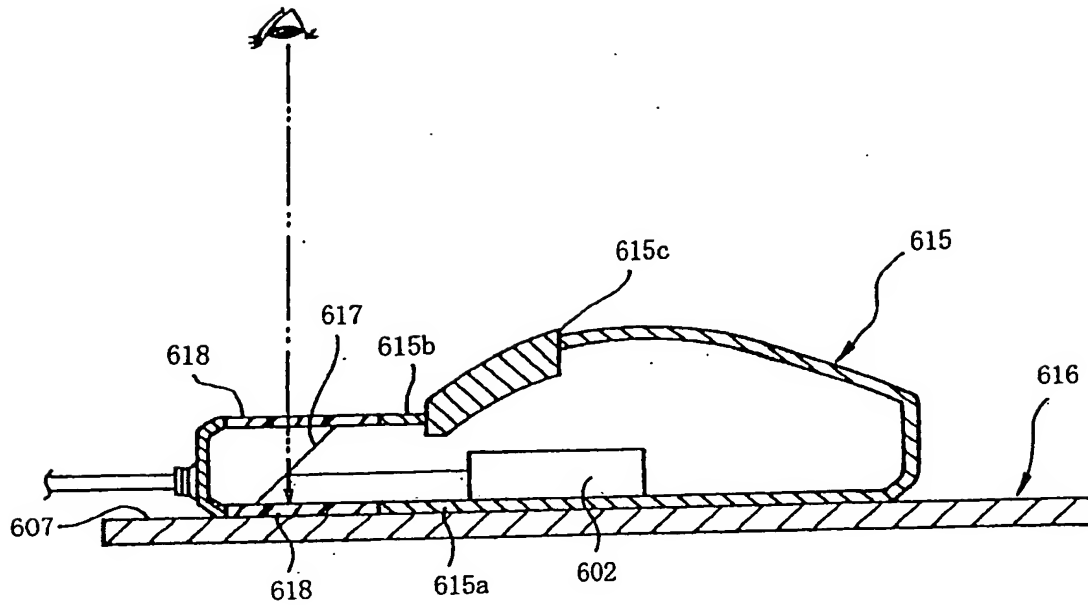
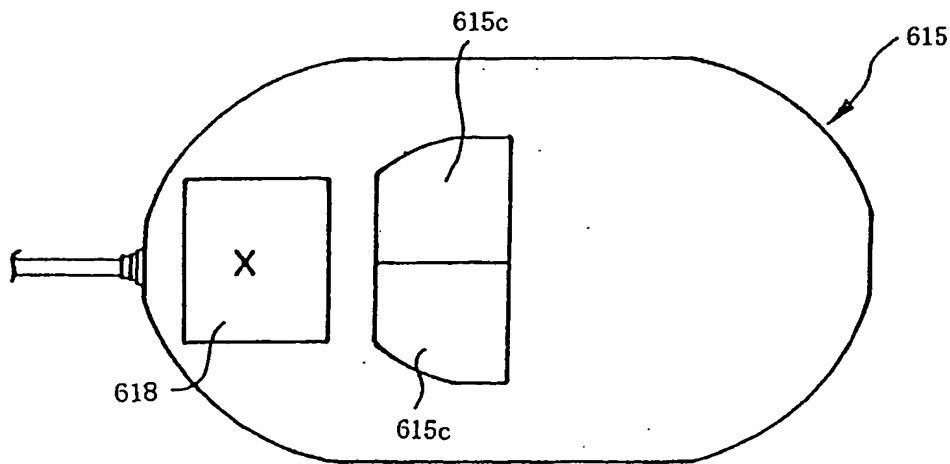
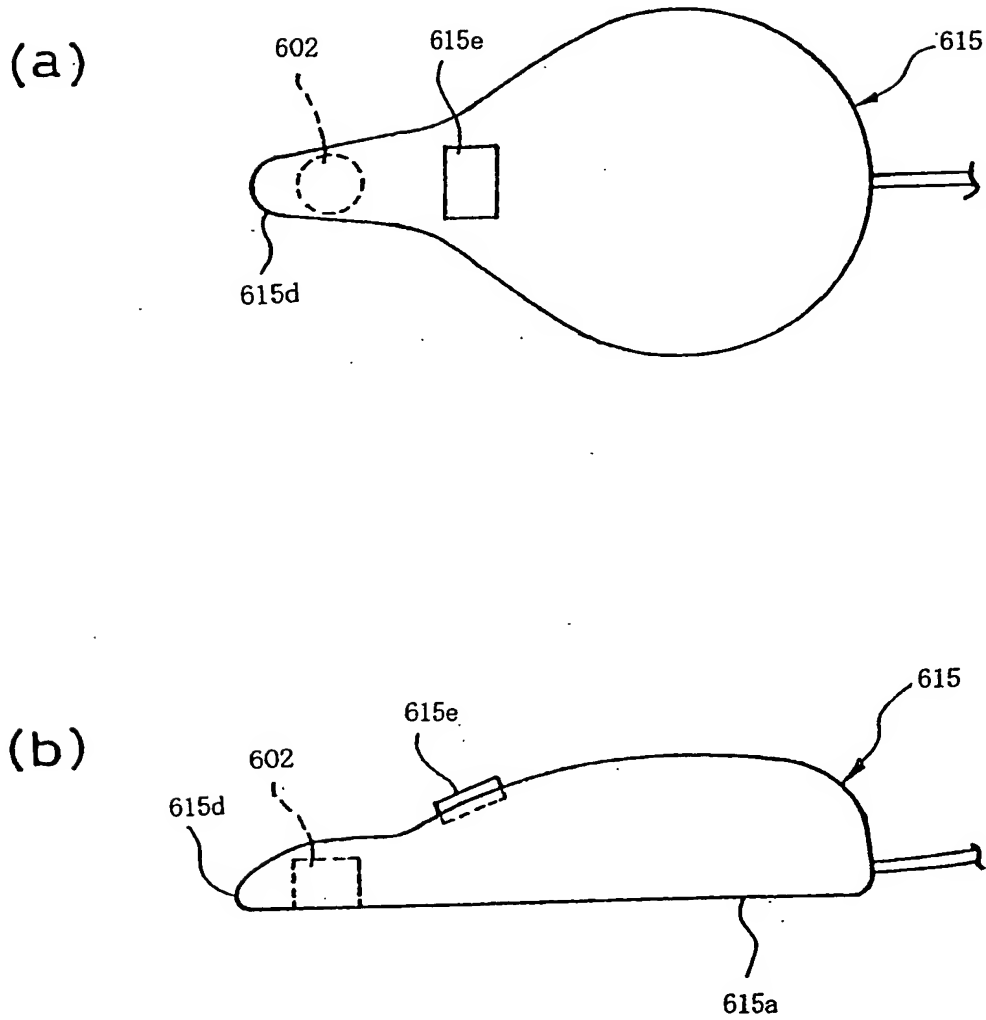


Fig. 15



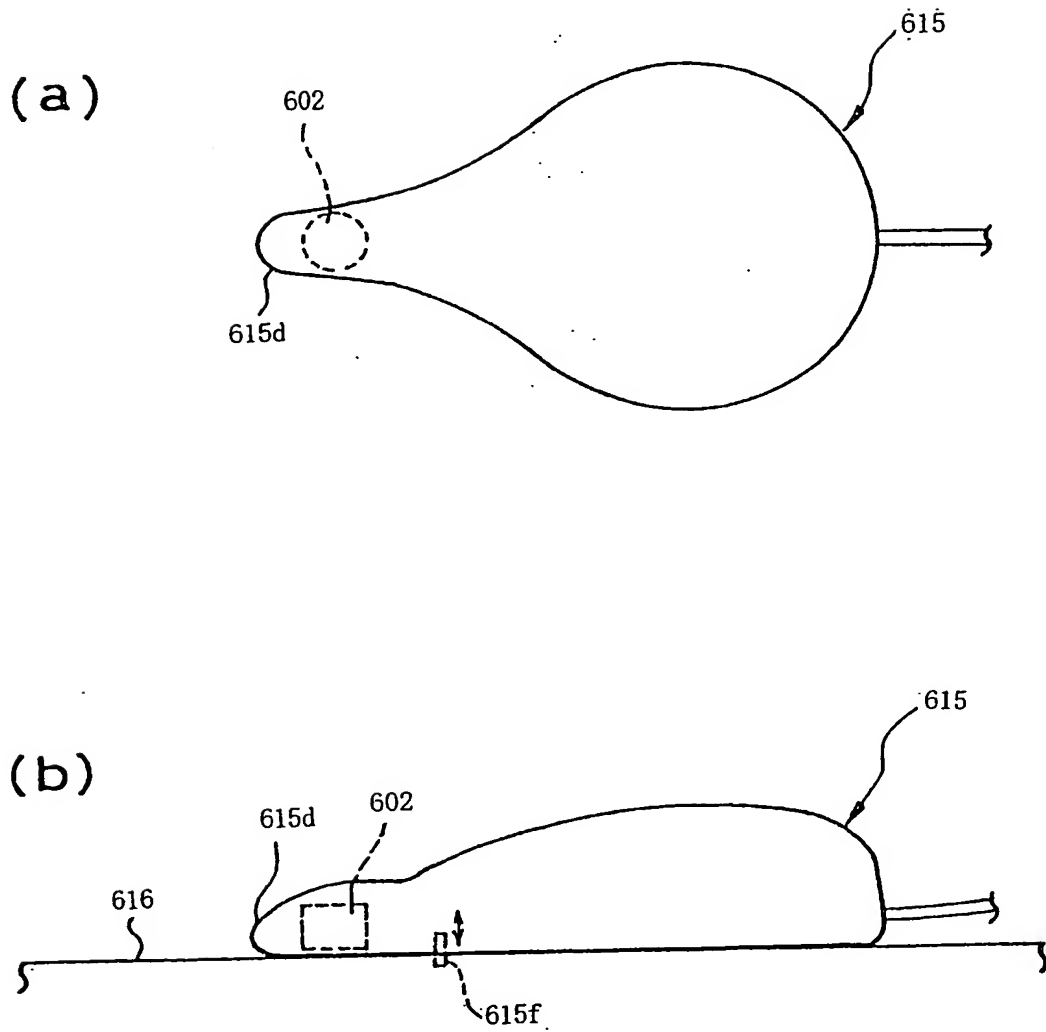
14/83

Fig. 16



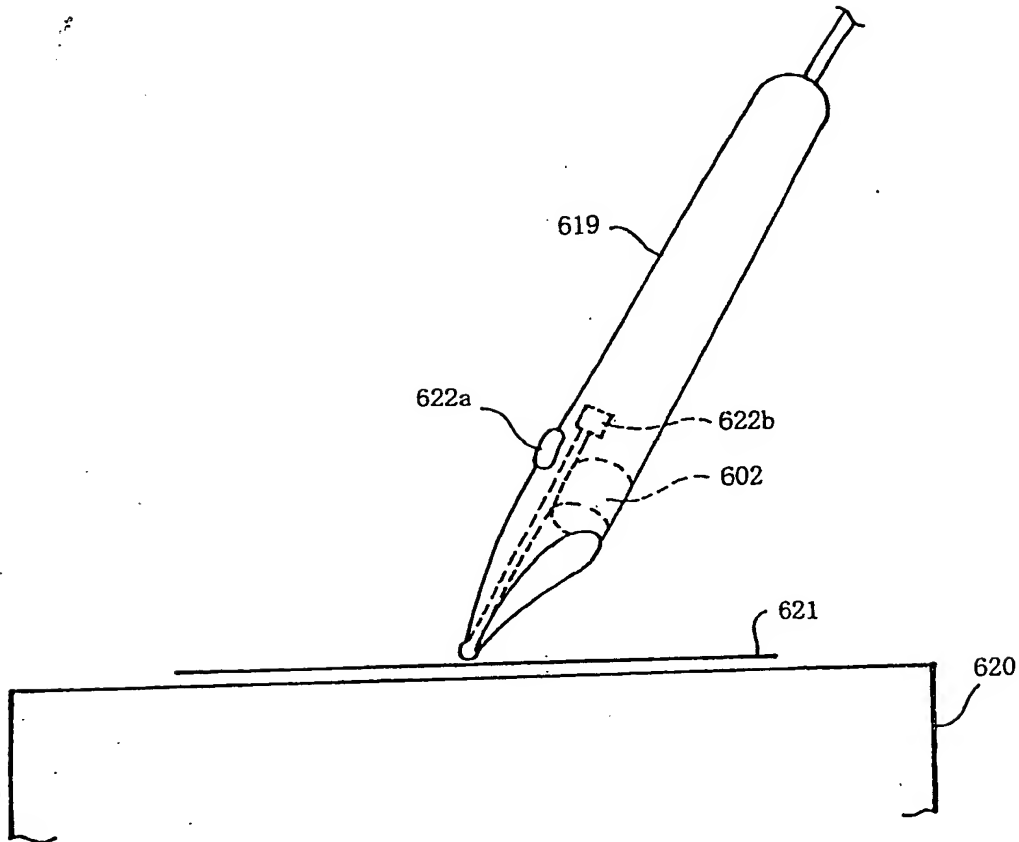
15 / 83

Fig. 17



16 / 83

Fig. 18.



17/83

Fig. 19

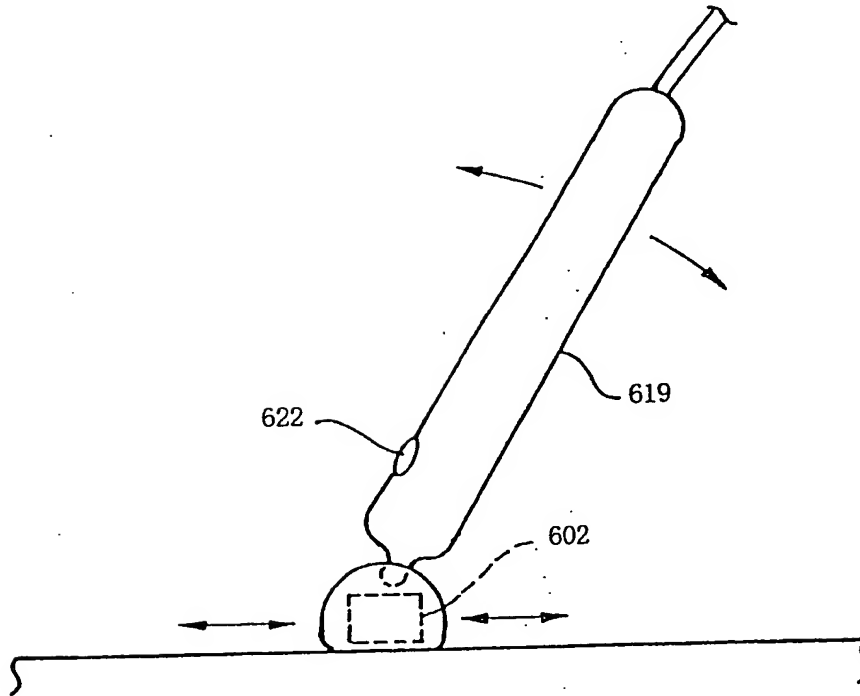
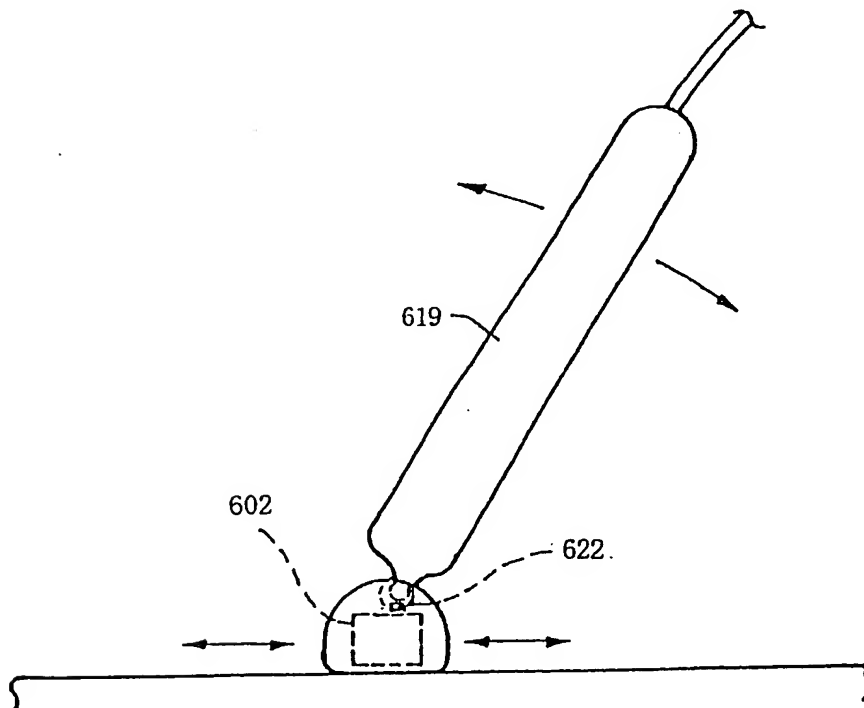
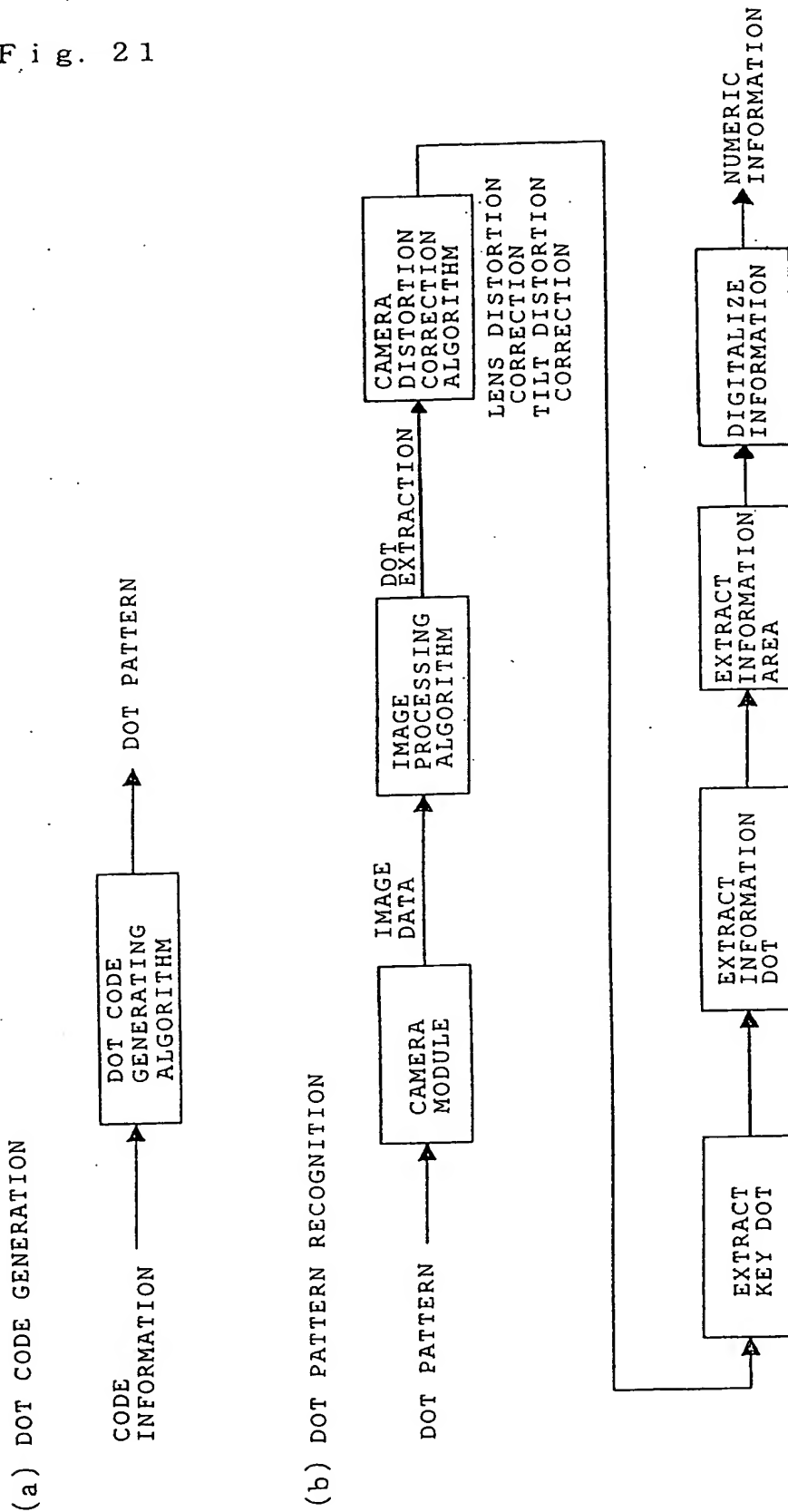


Fig. 20



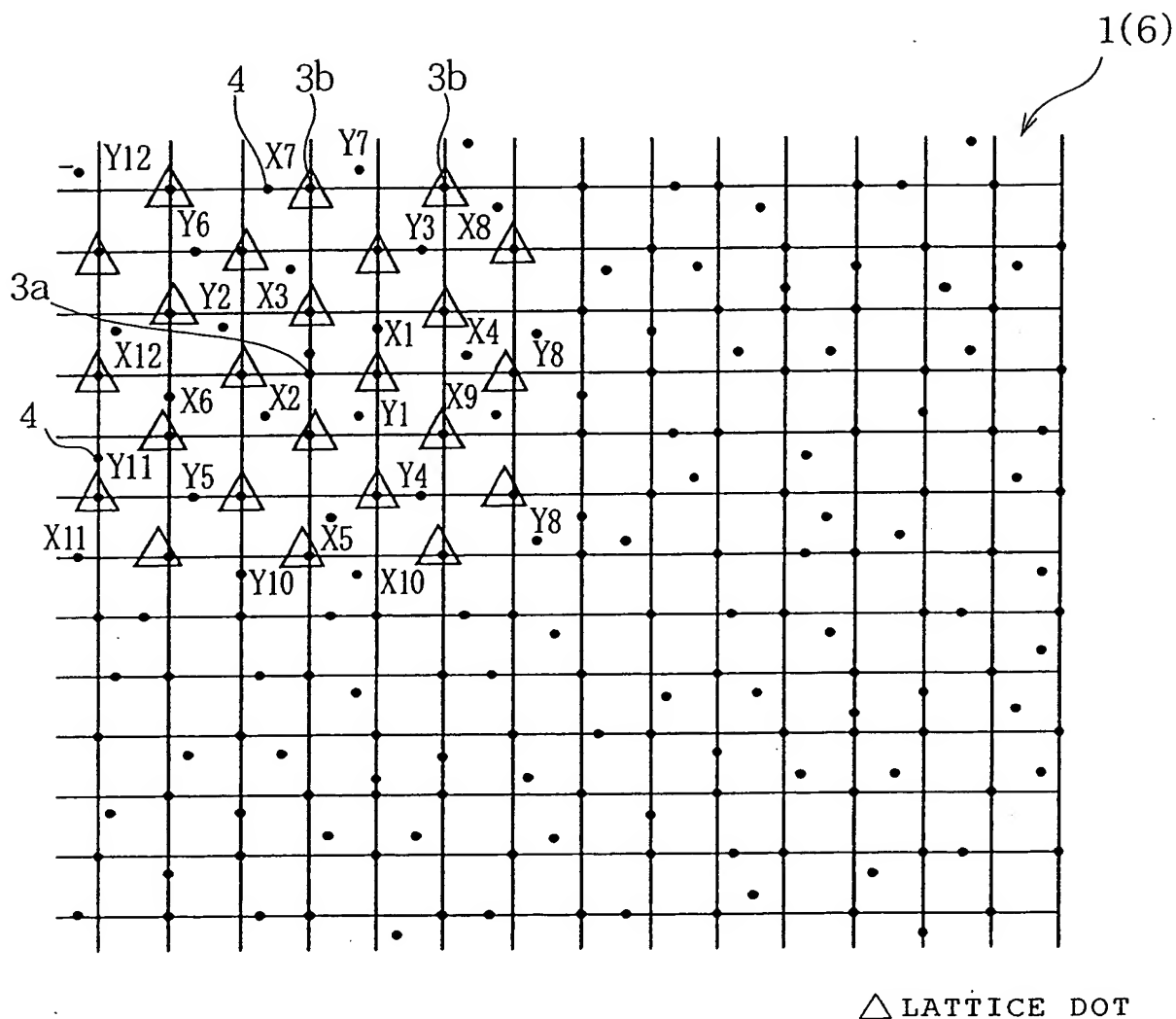
18/83

Fig. 21

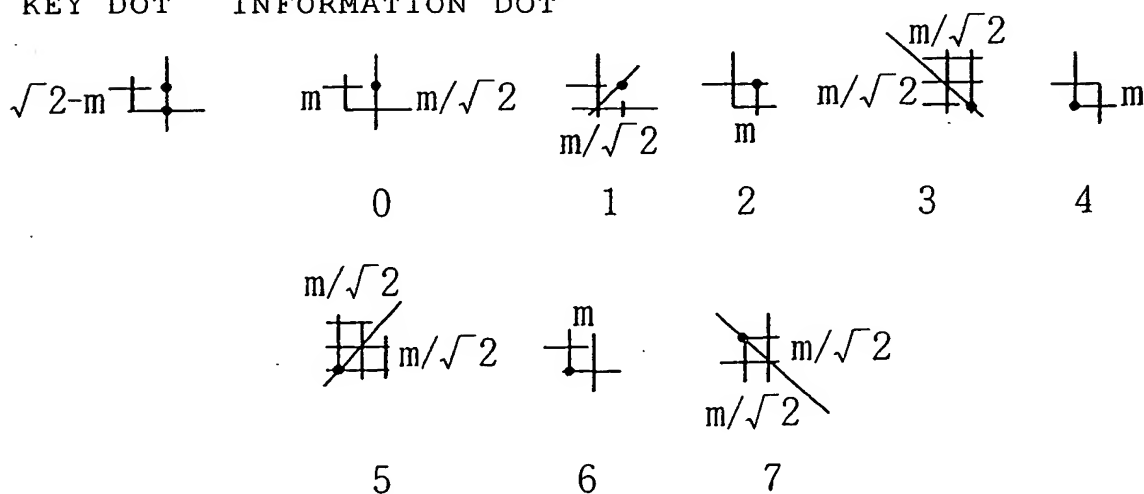


19/83

Fig. 22

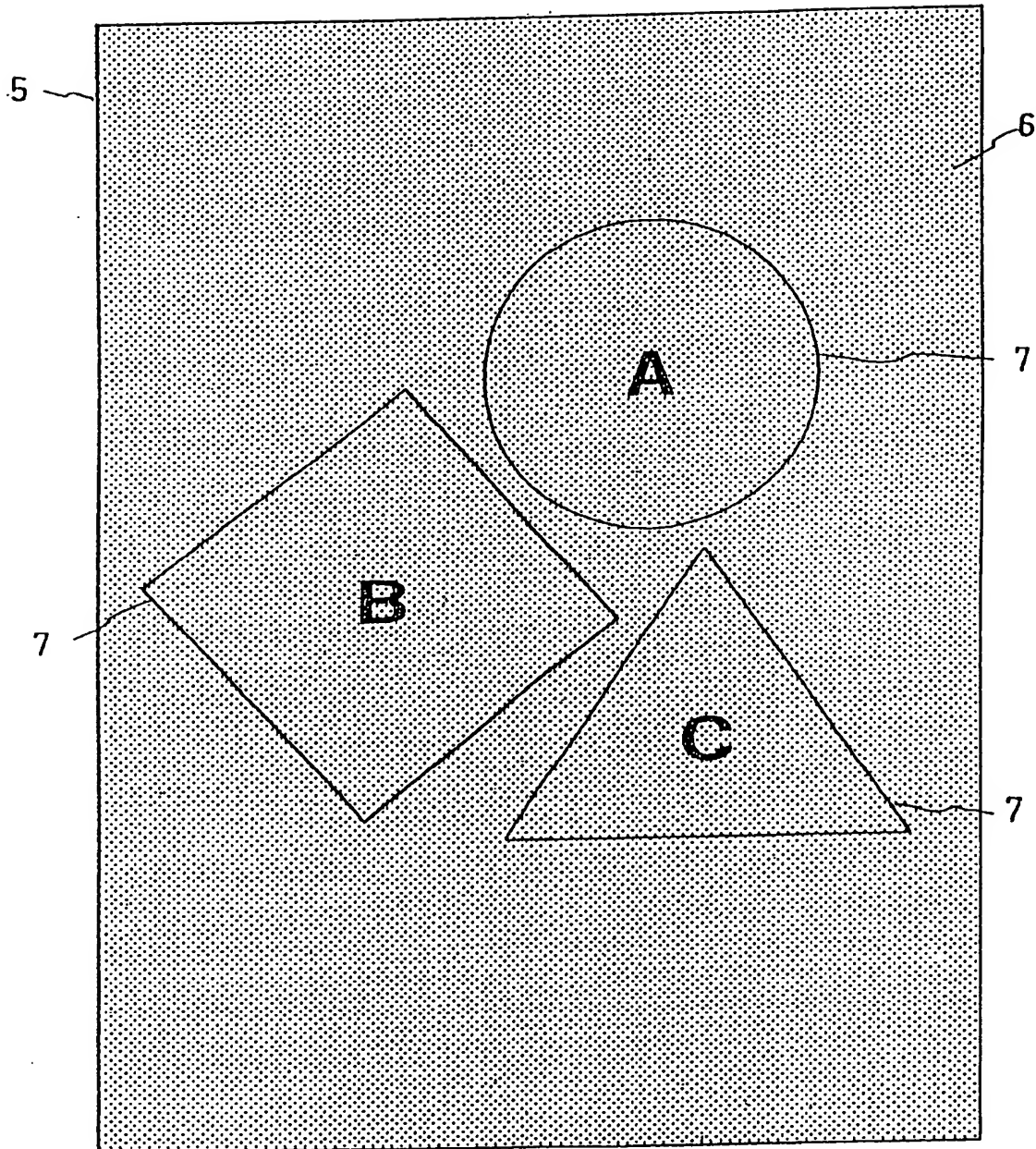


KEY DOT INFORMATION DOT



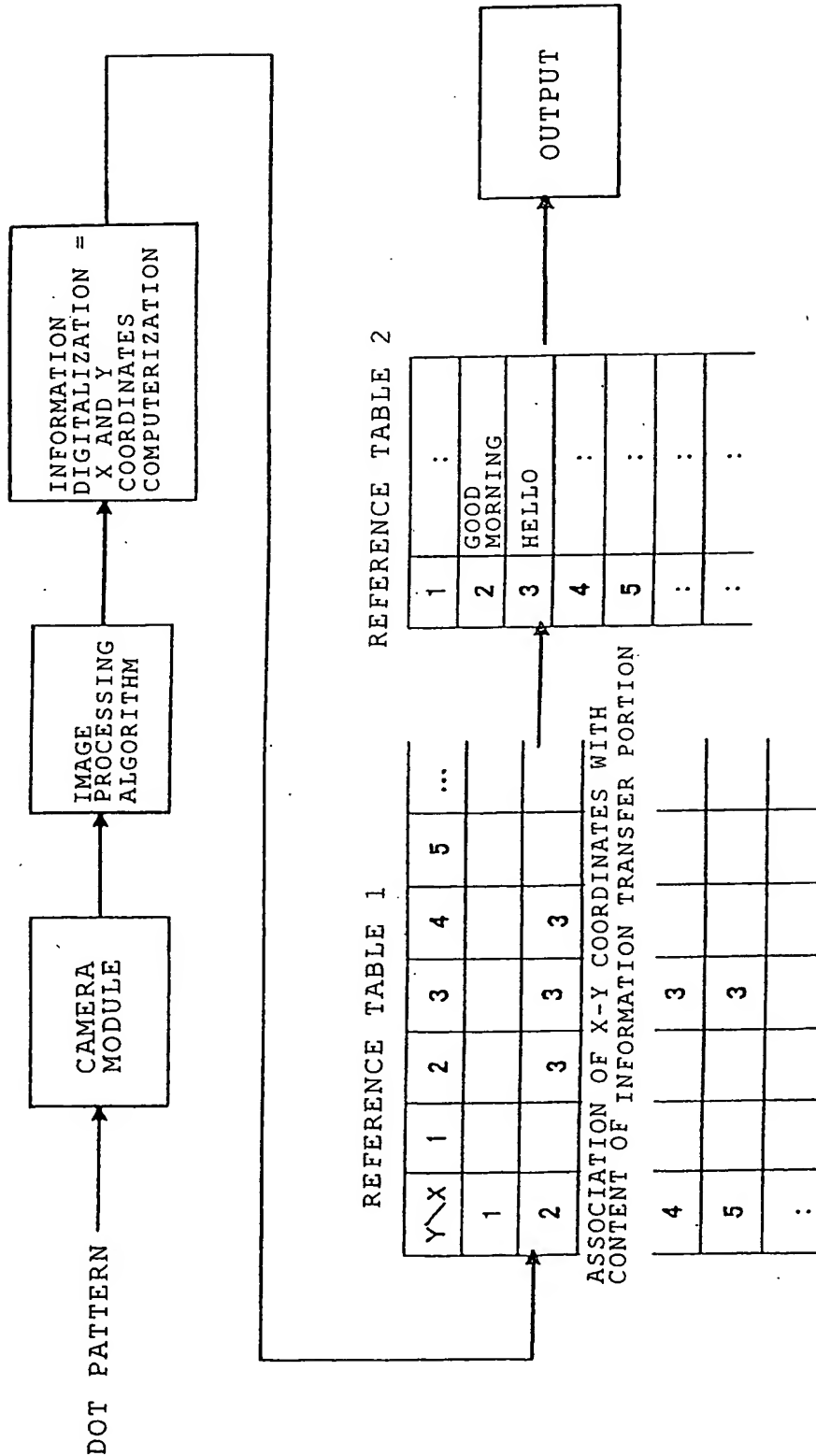
20/83

Fig. 23



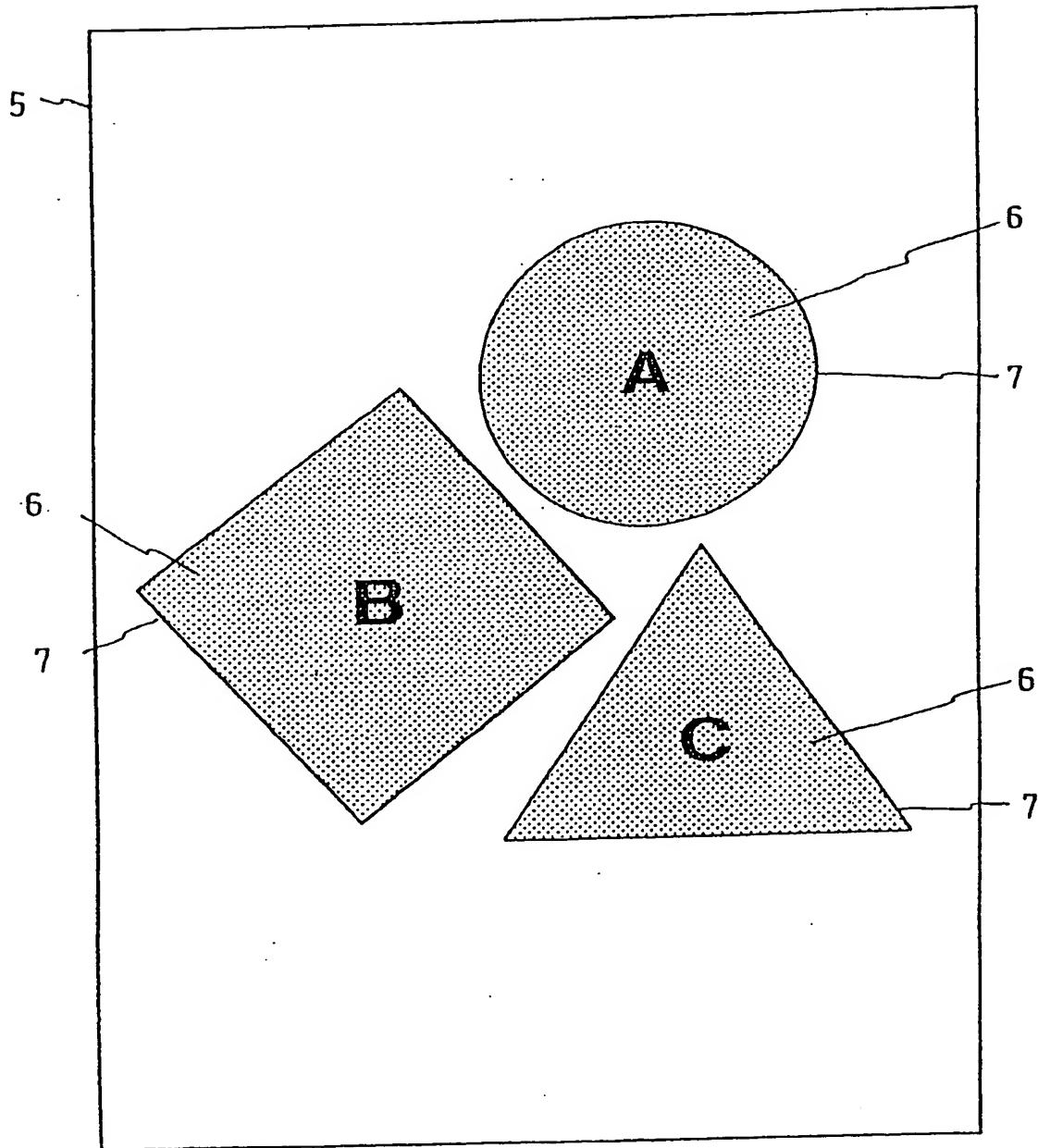
21/83

Fig. 24



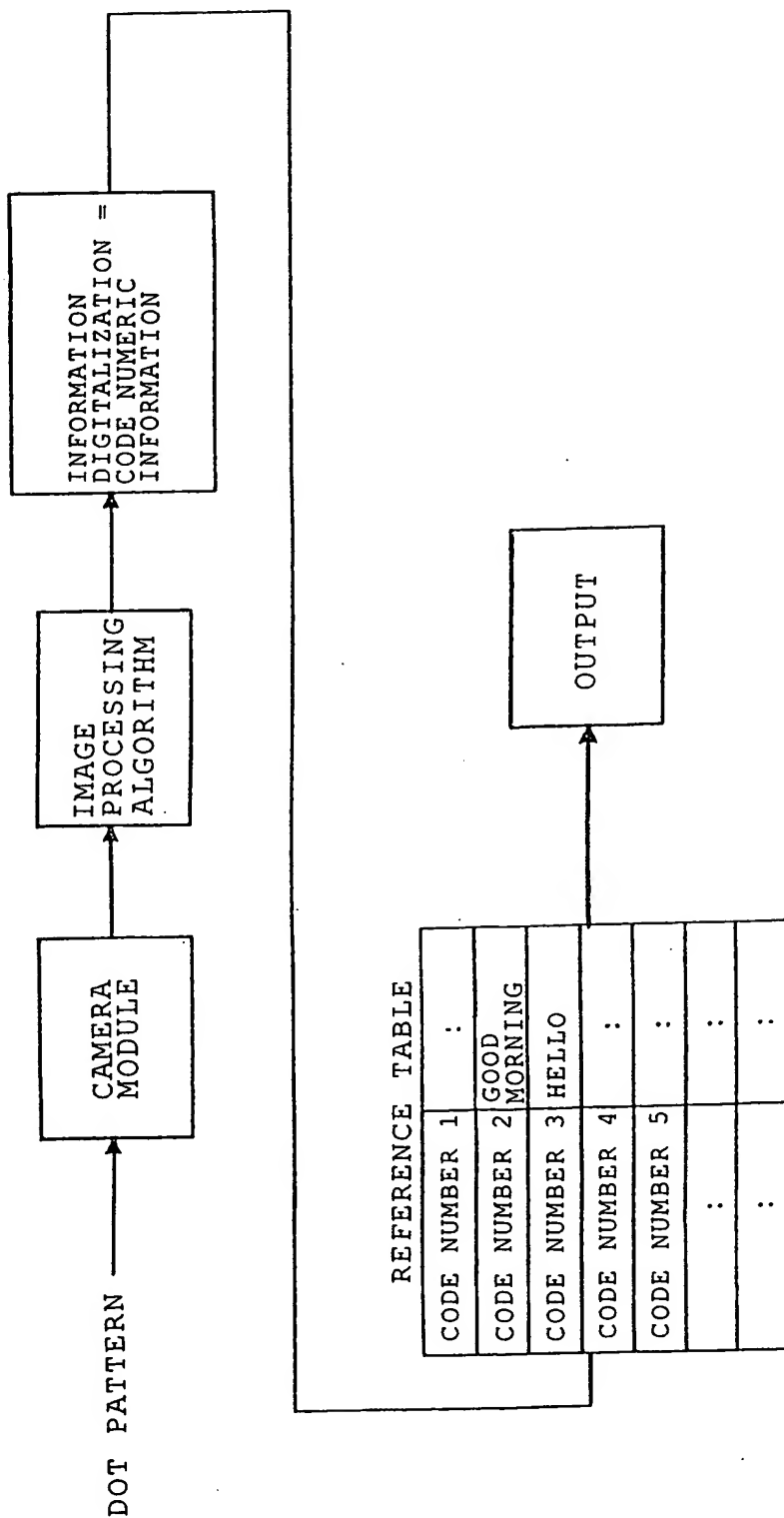
22/83

Fig. 25



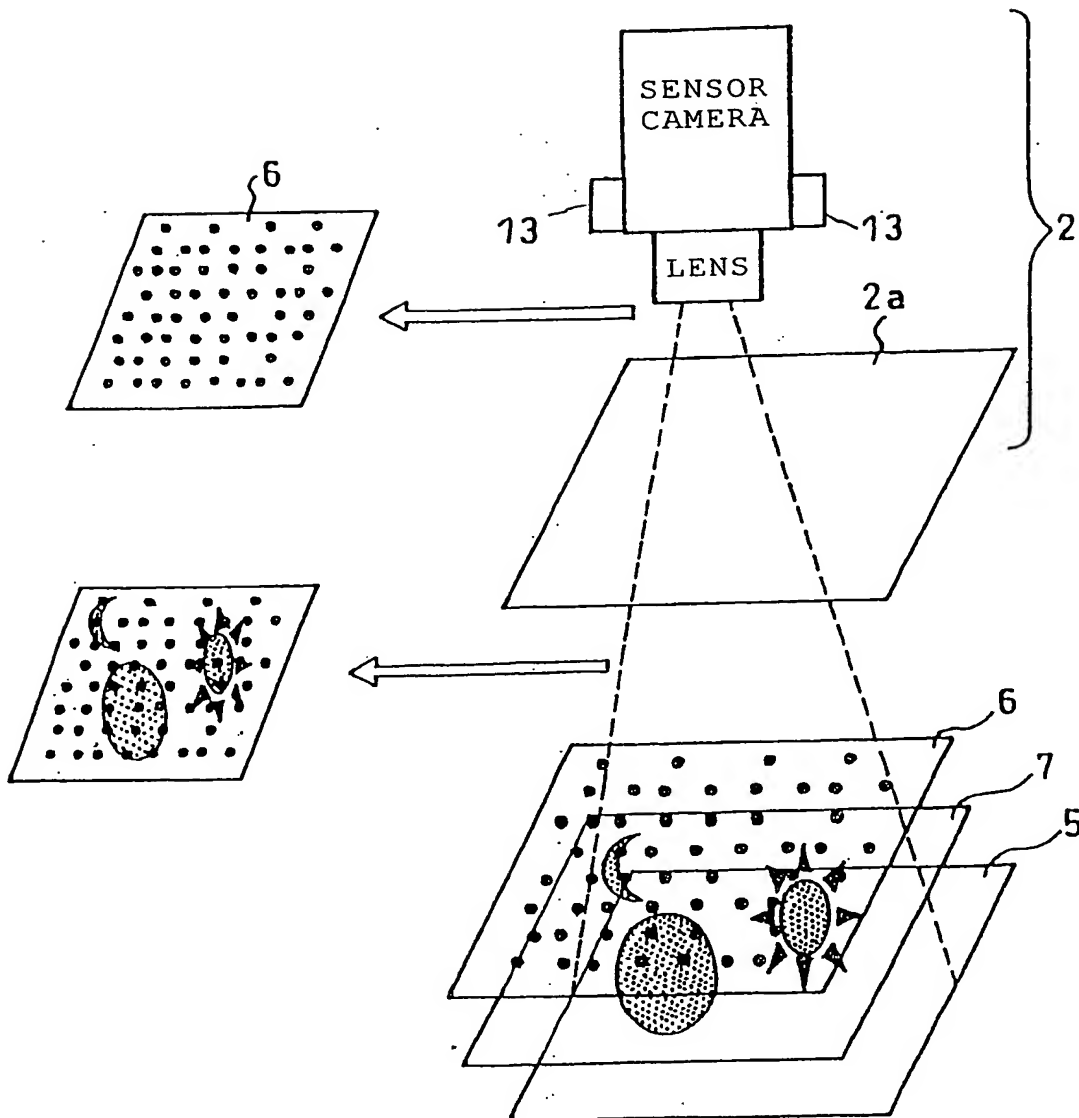
23/83

Fig. 26



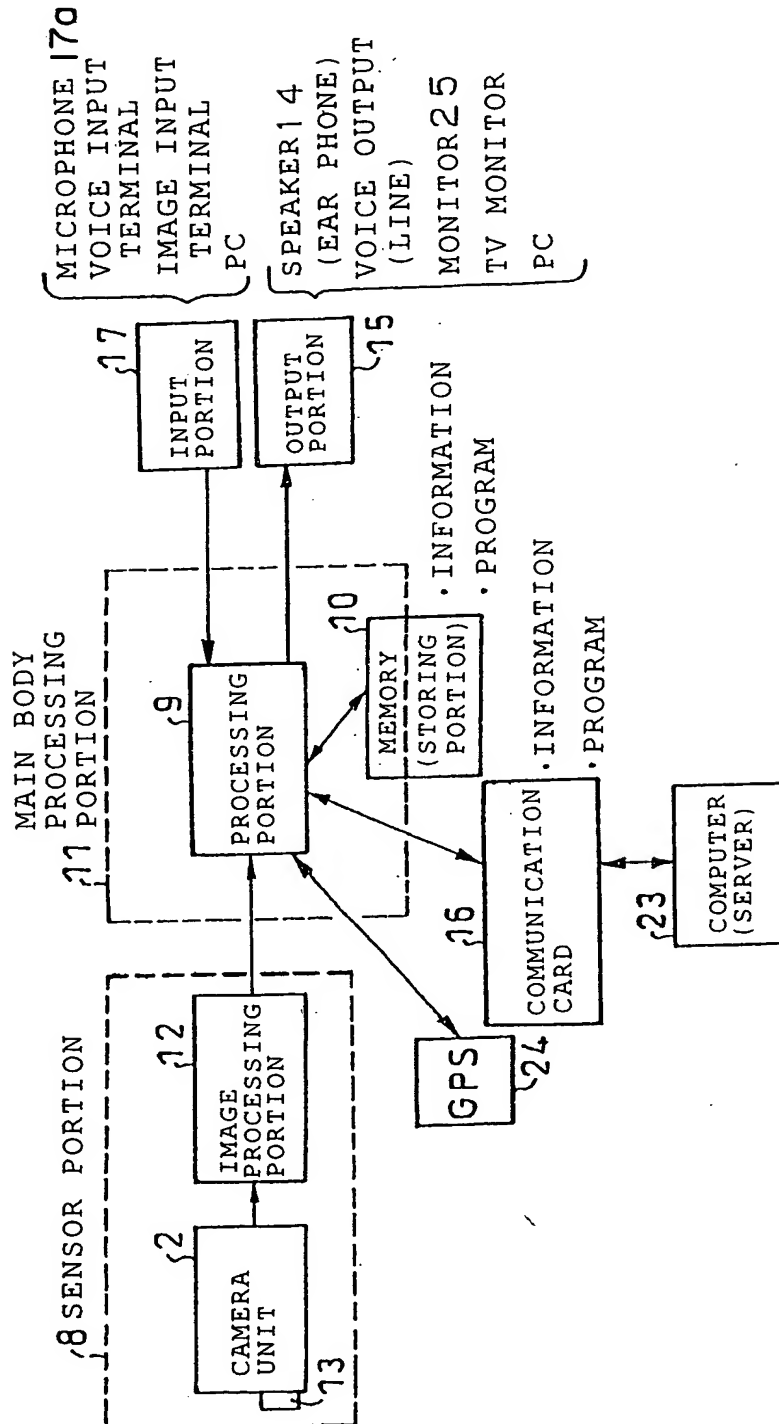
24/83

Fig. 27



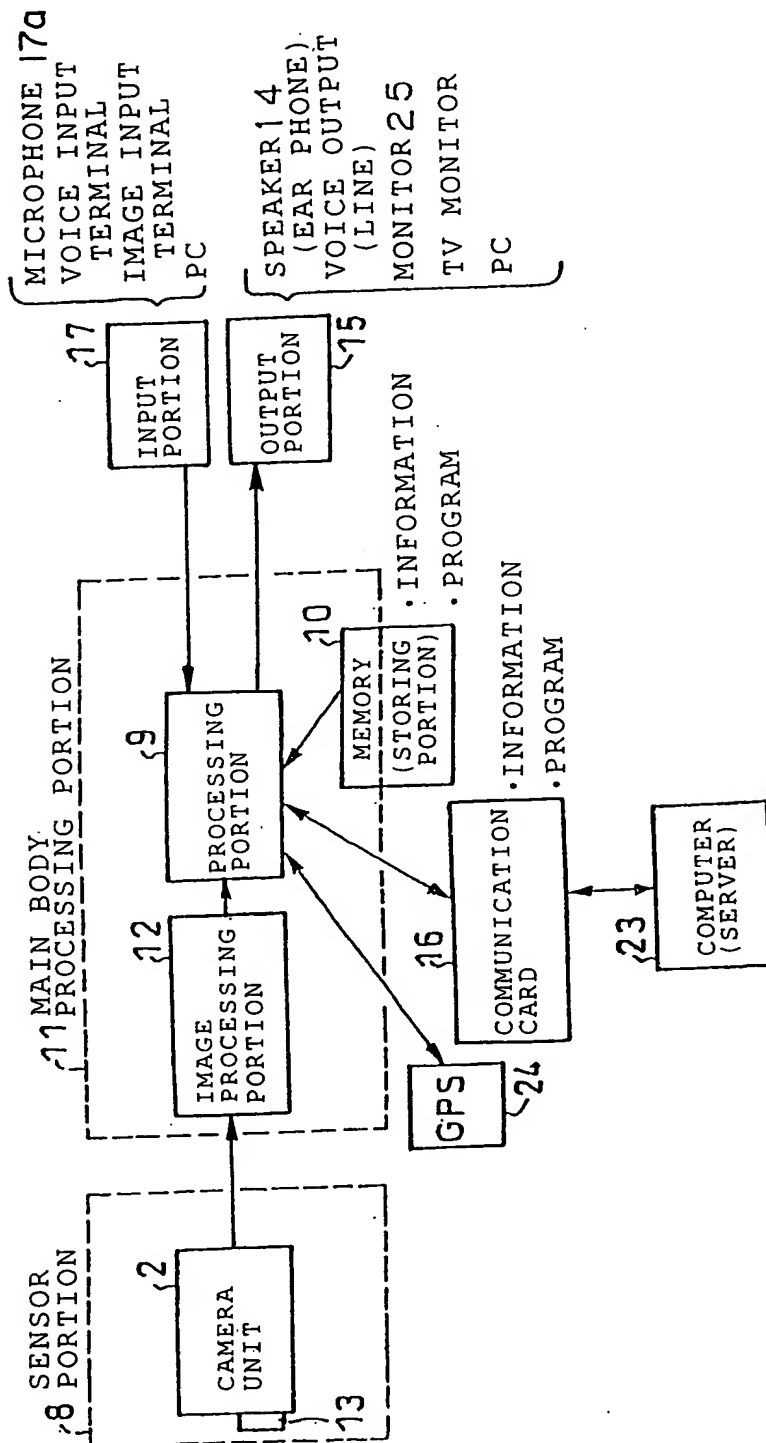
25/83

Fig. 28



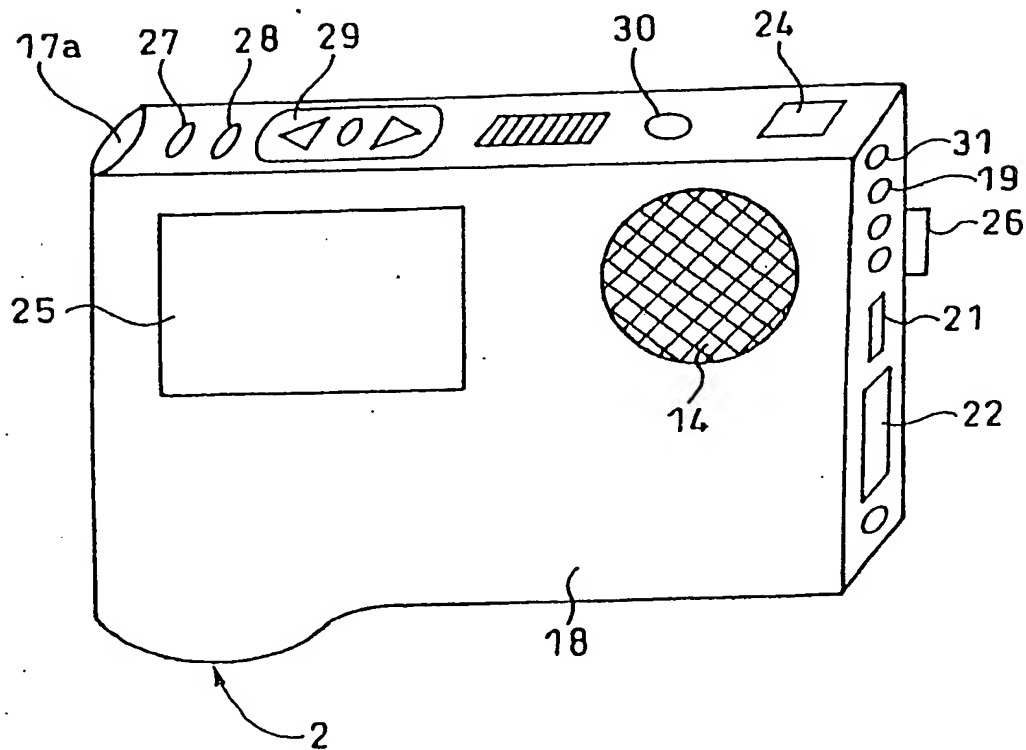
26/83

Fig. 29



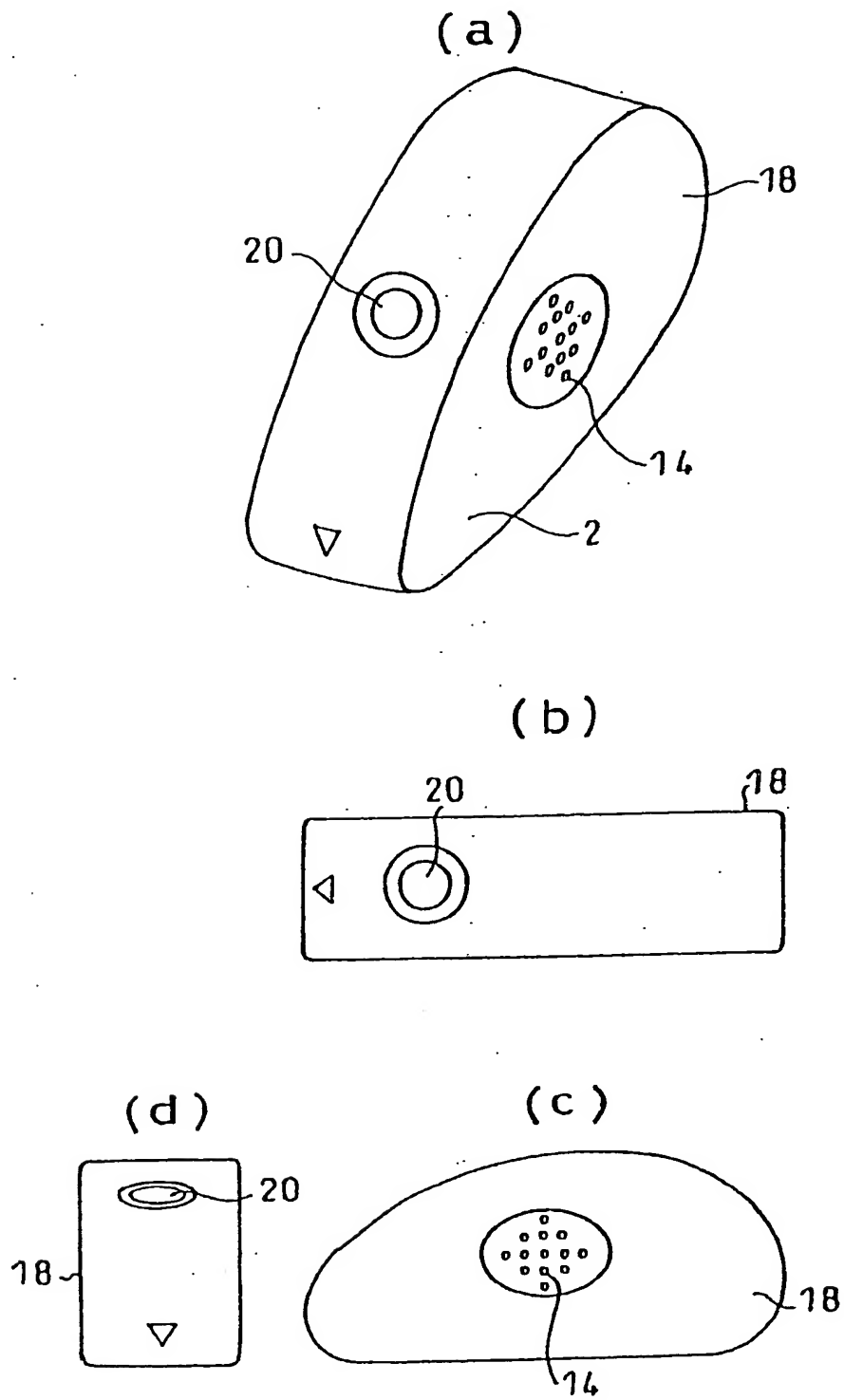
27/83

Fig. 30



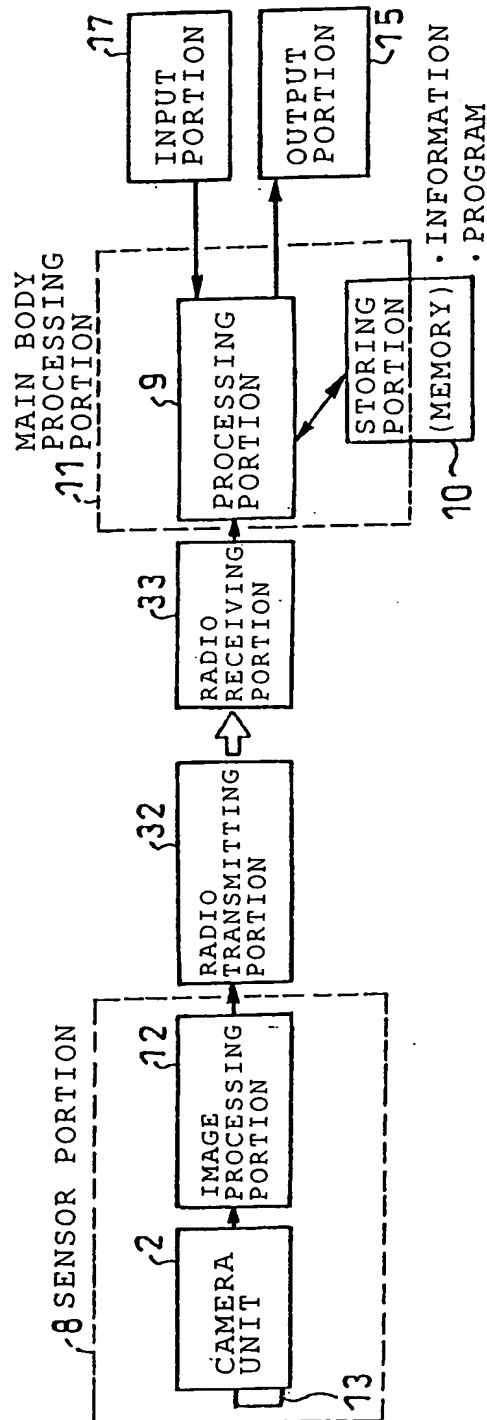
28/83

Fig. 31



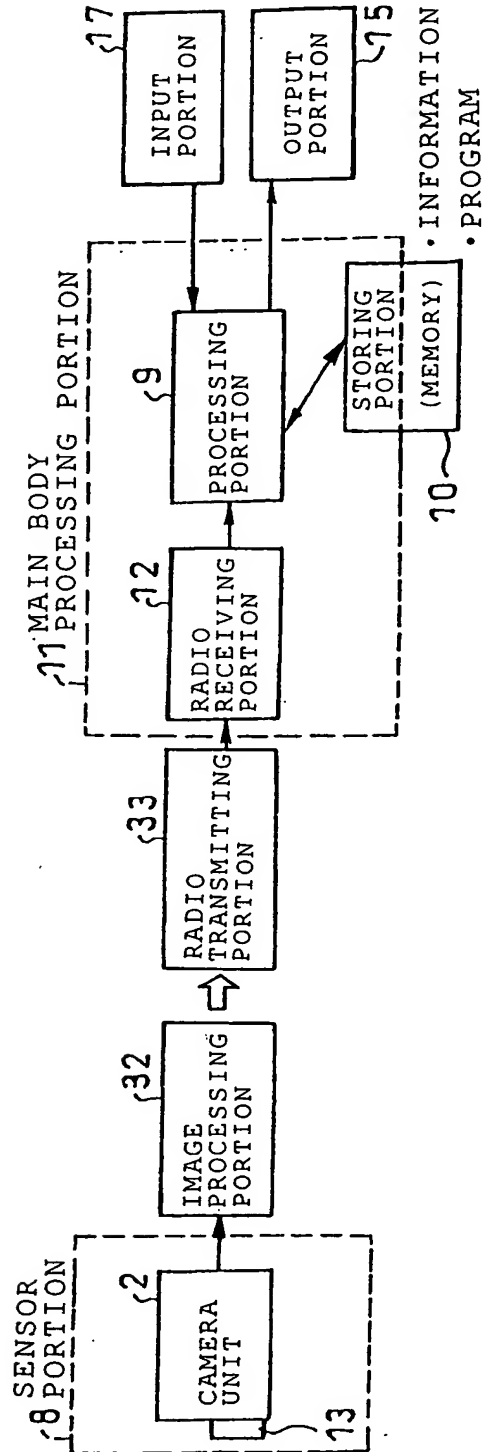
29/83

Fig. 32



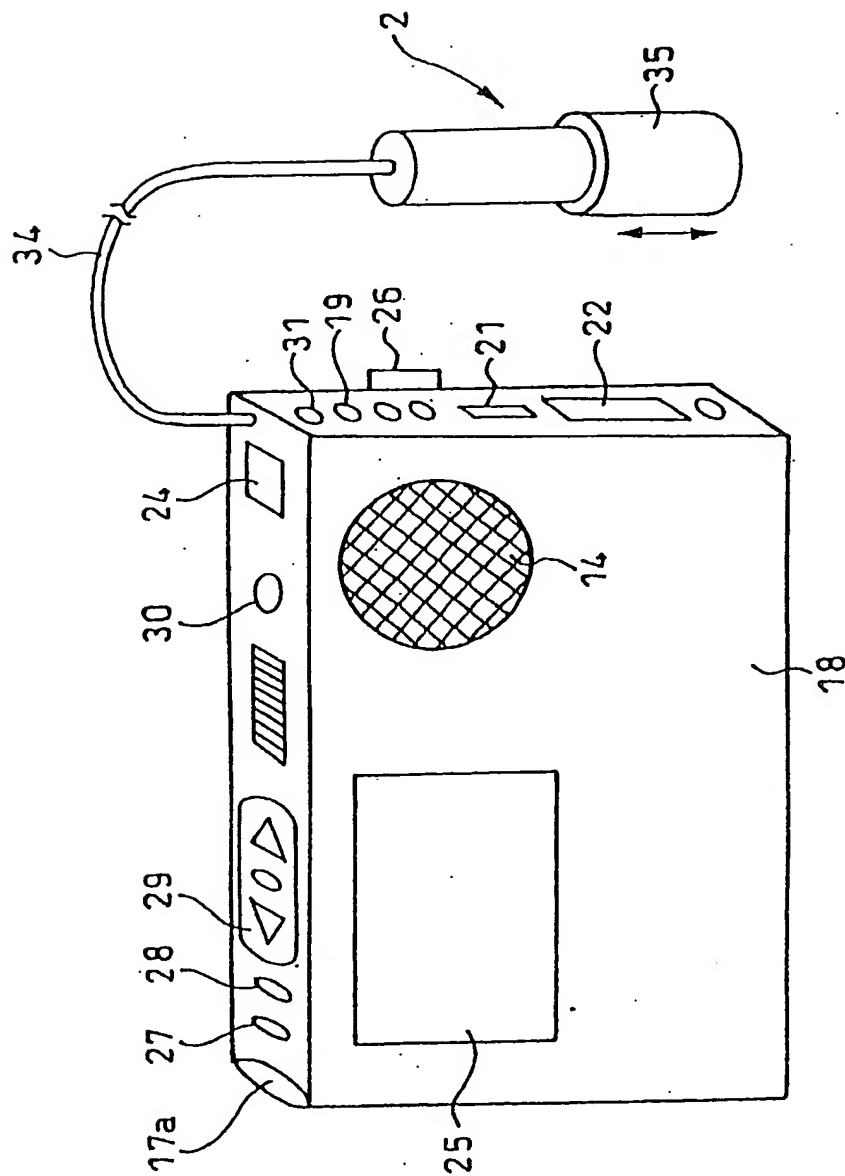
30/83

Fig. 33



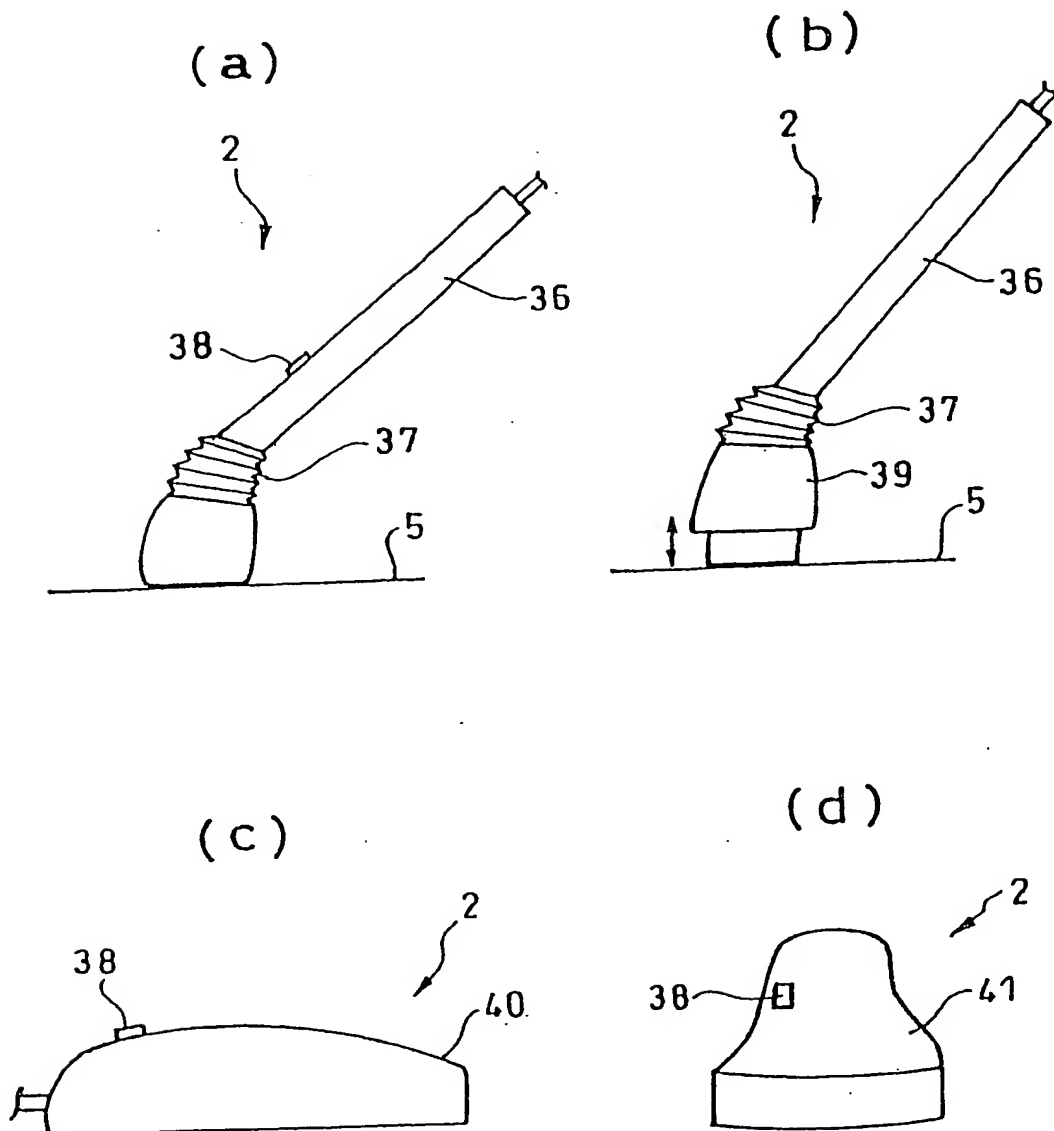
31/83

Fig. 34



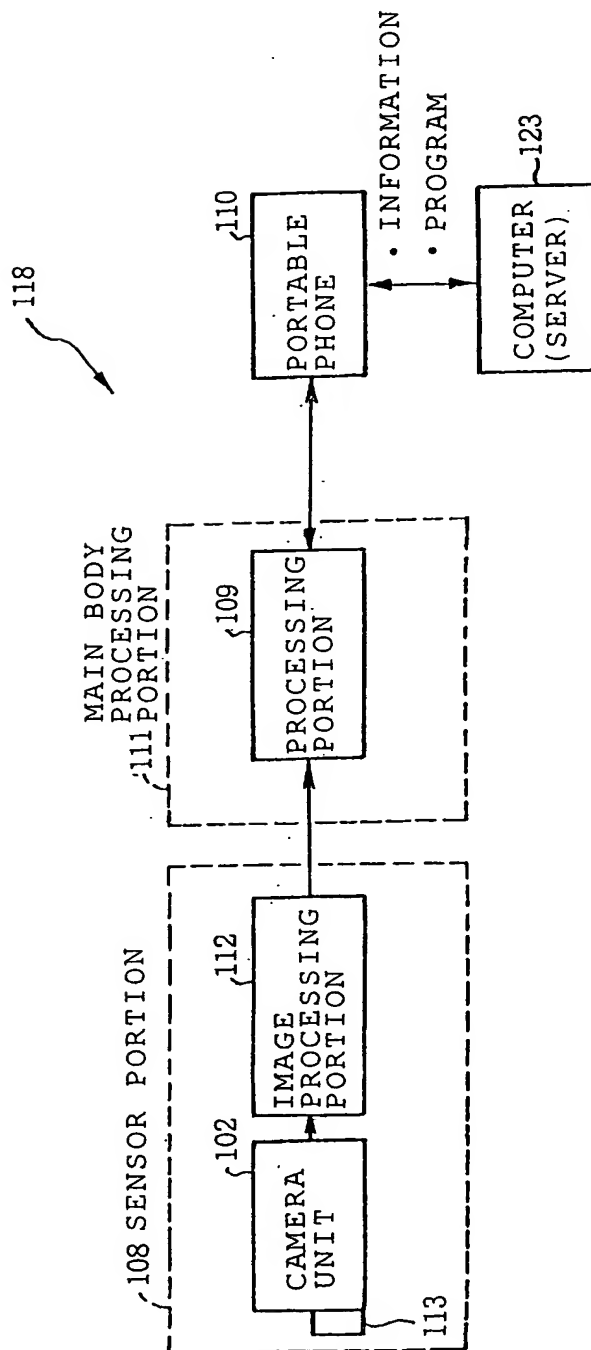
32/83

Fig. 35



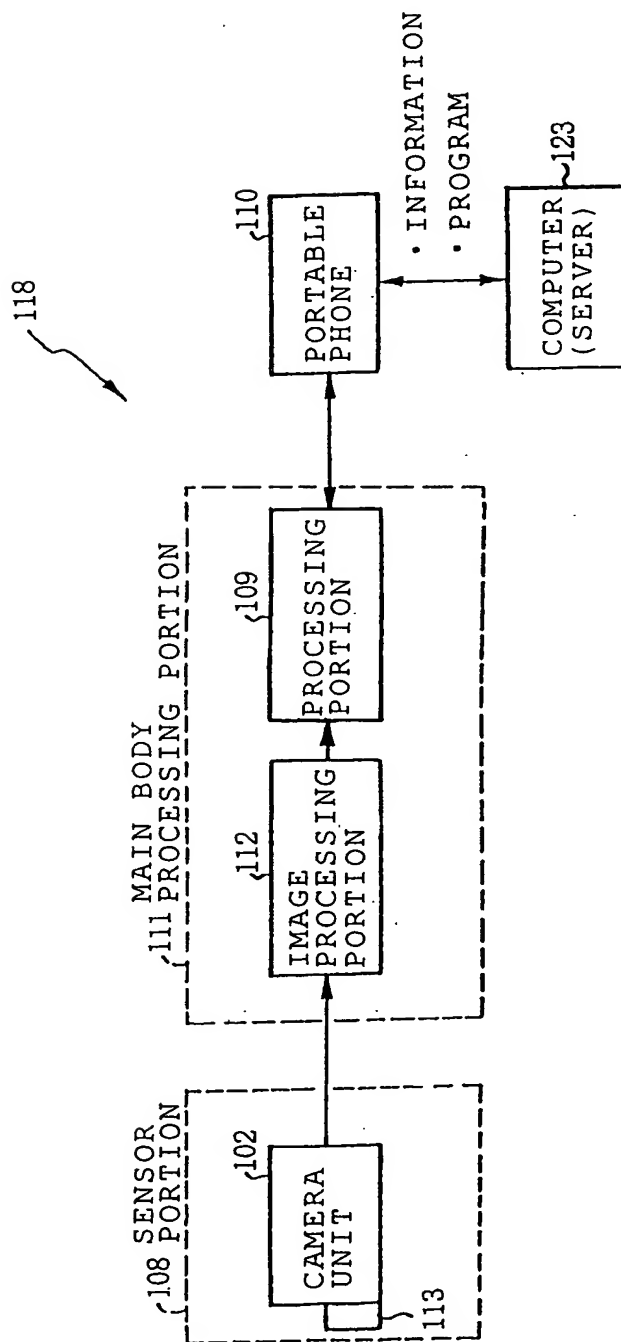
33/83

Fig. 36



34/83

Fig. 37



35/83

Fig. 38

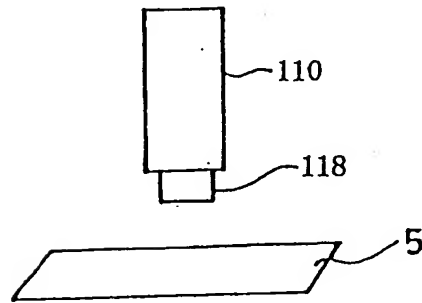


Fig. 39

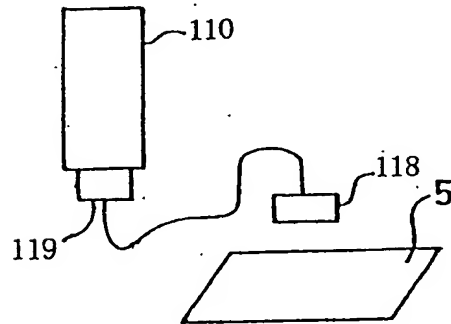
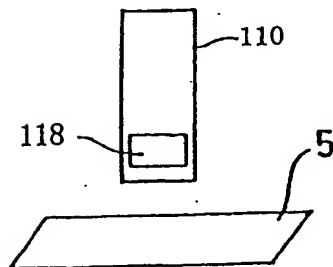
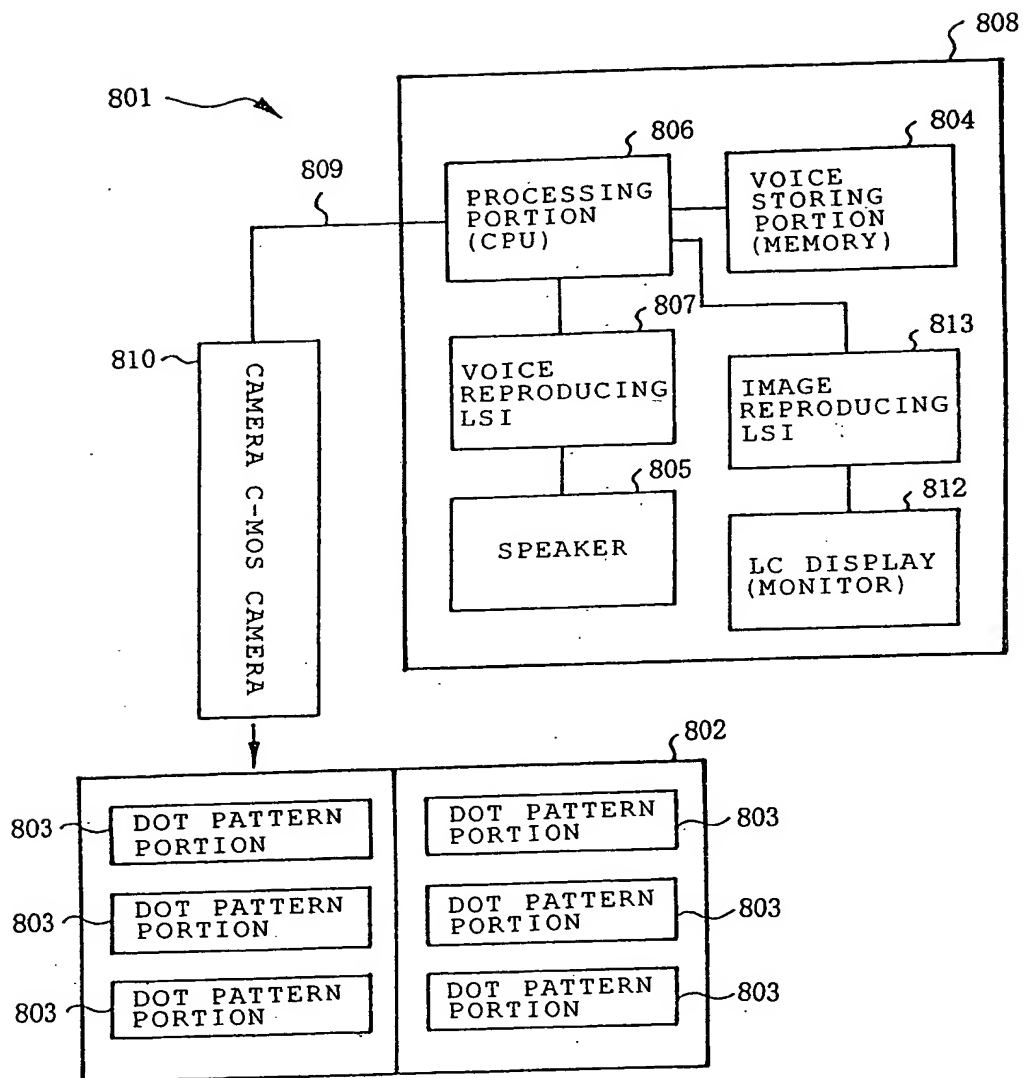


Fig. 40



36/83

Fig. 41



37/83

Fig. 42

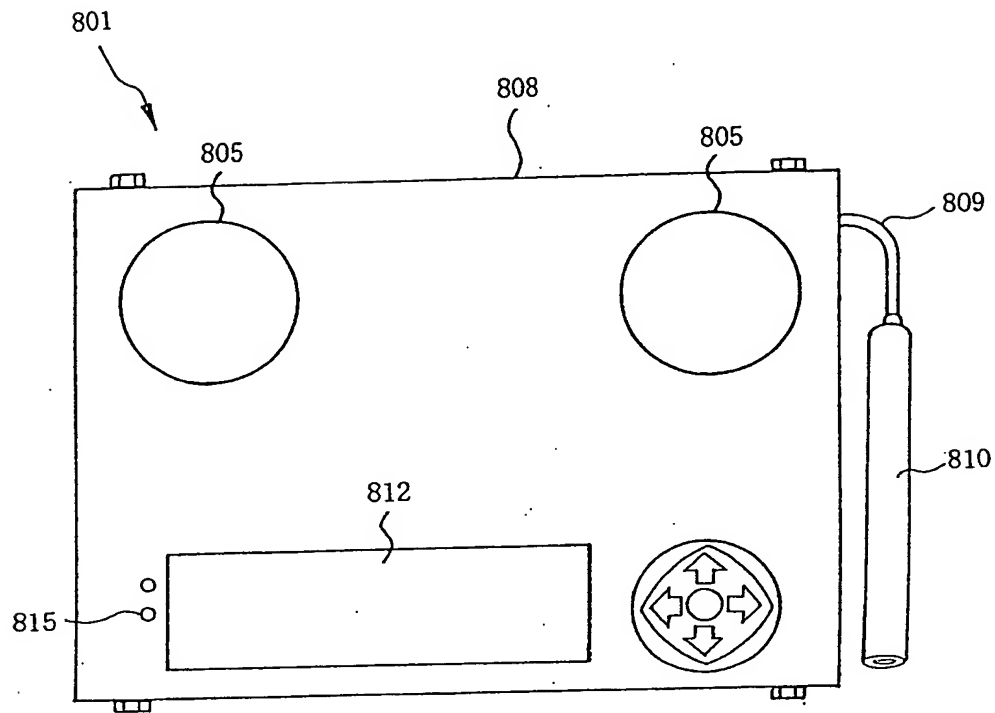
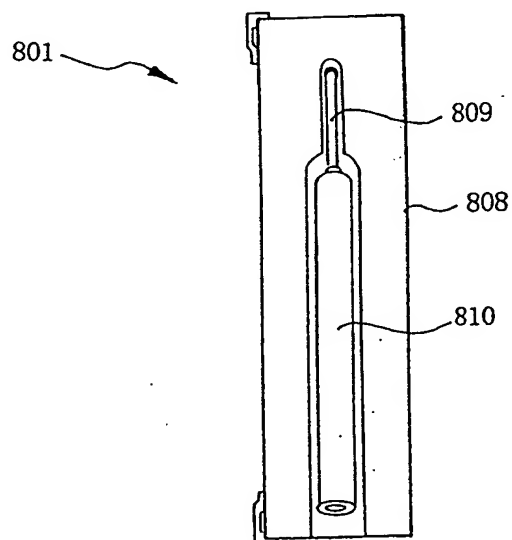


Fig. 43



38 / 83

Fig. 44

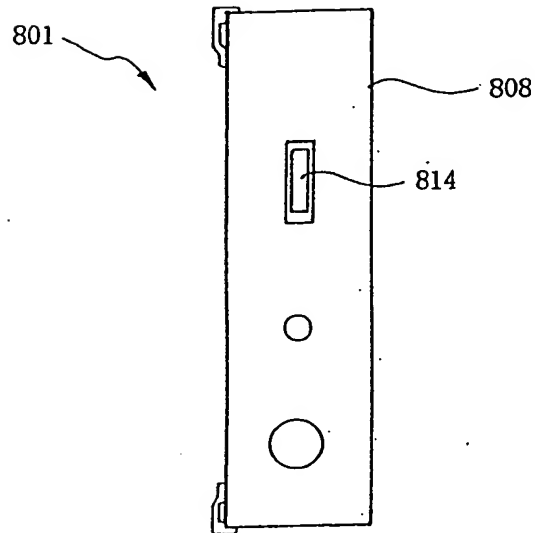
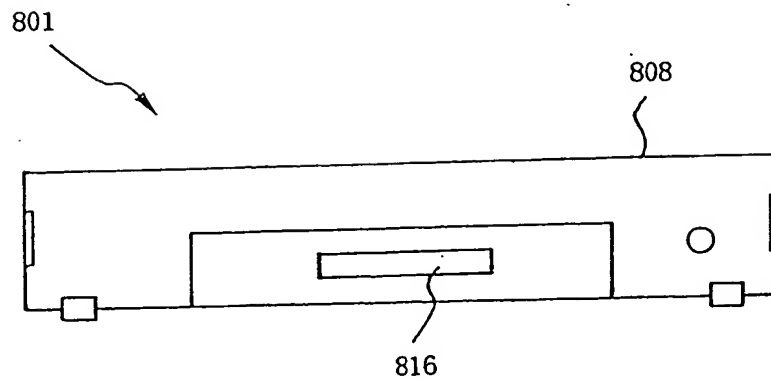
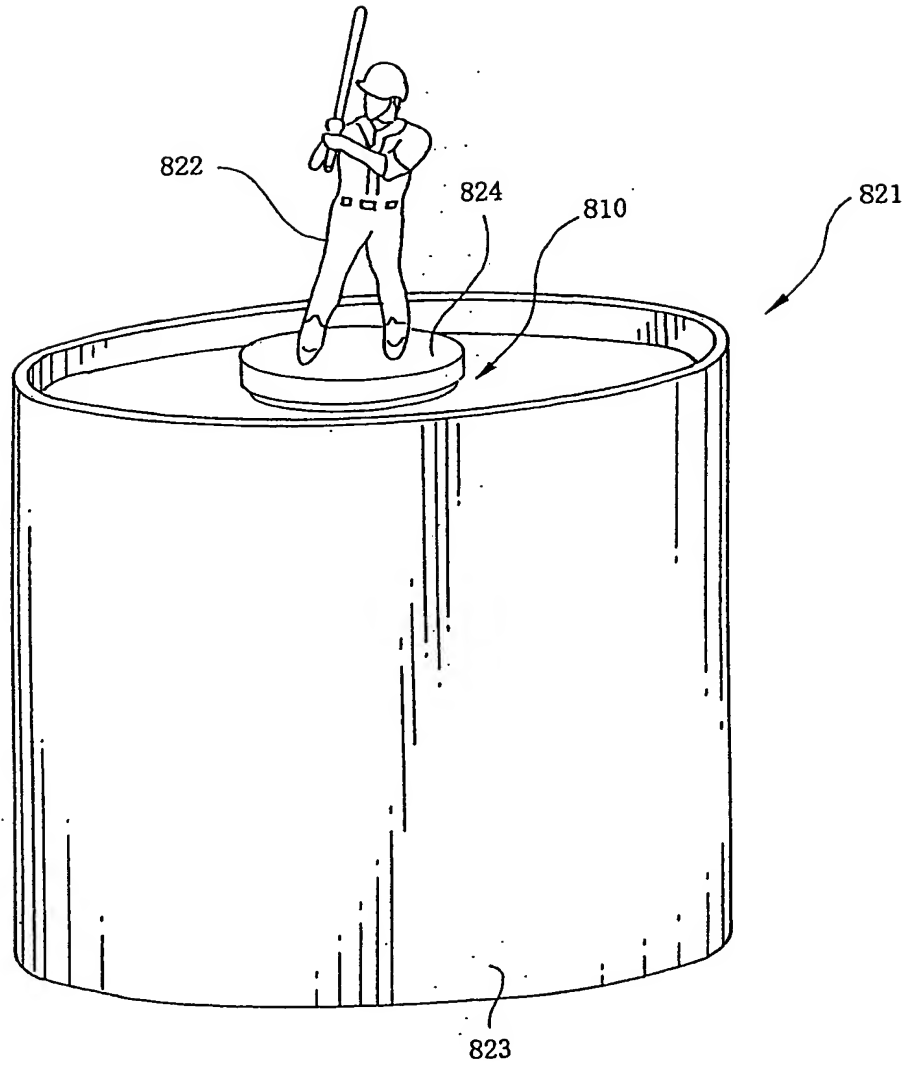


Fig. 45



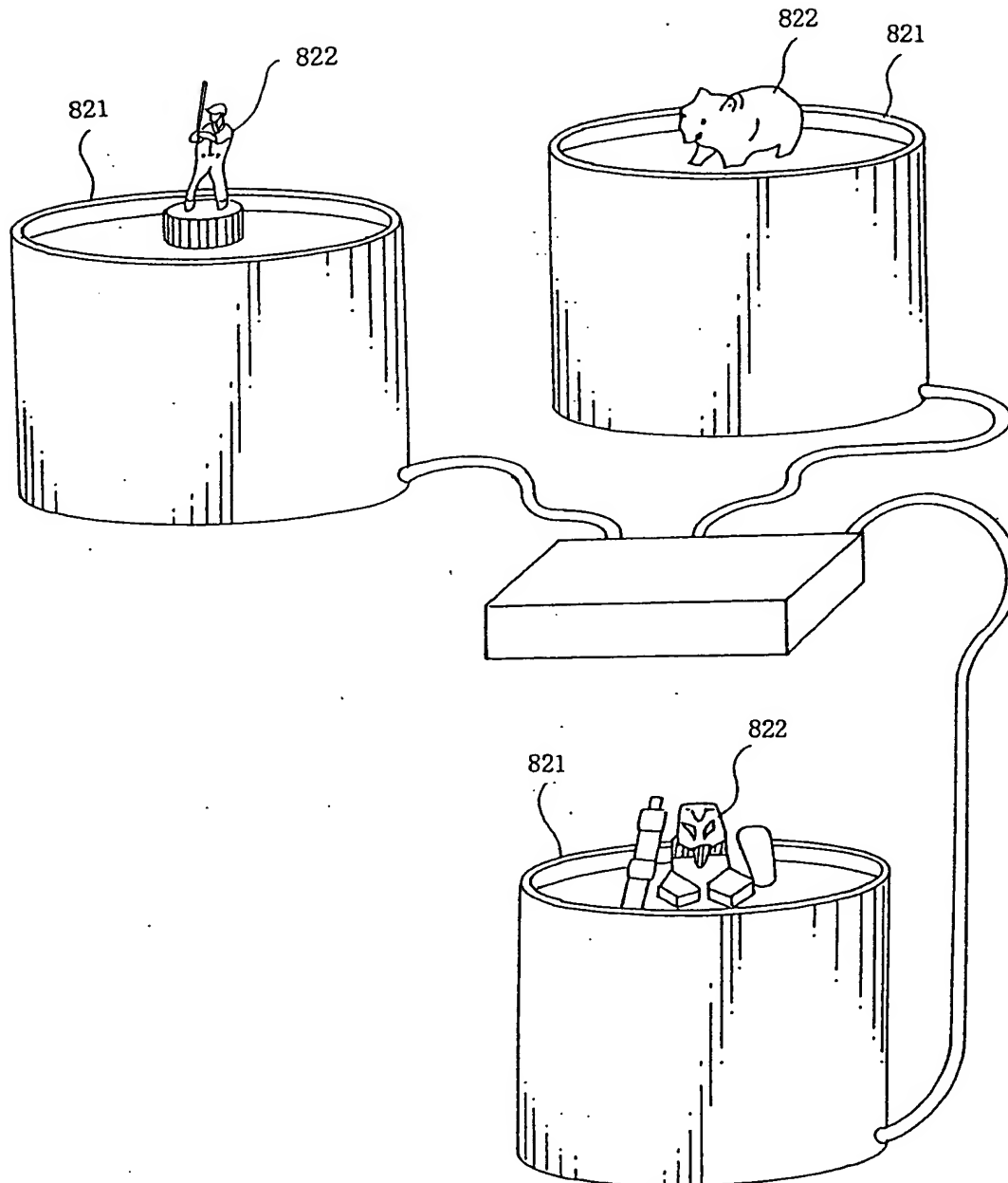
39/83

Fig. 46



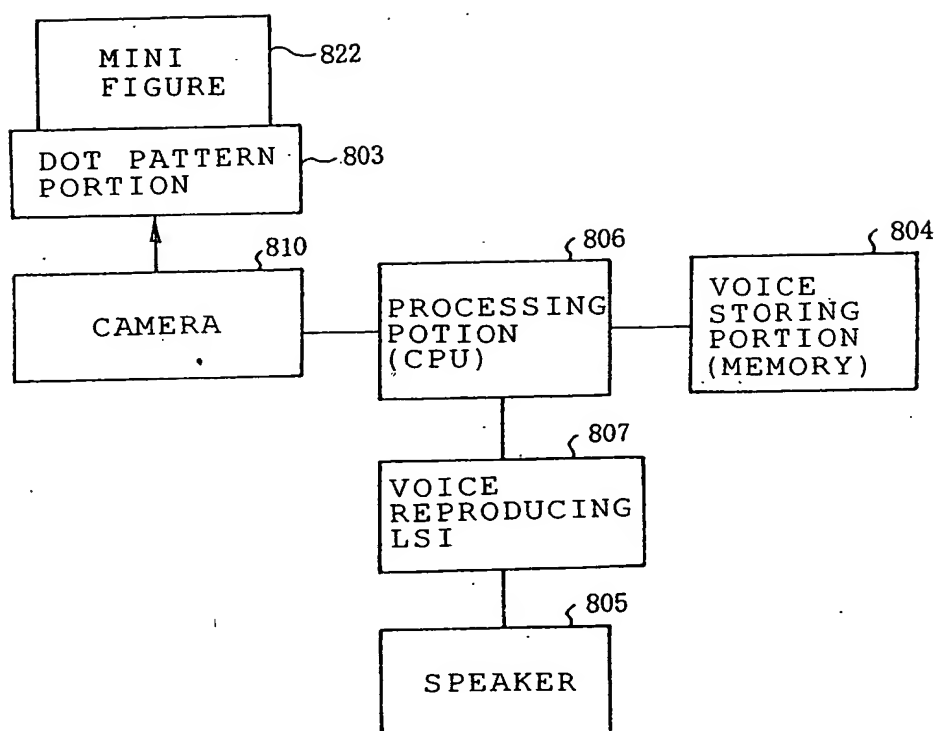
40/83

Fig. 47



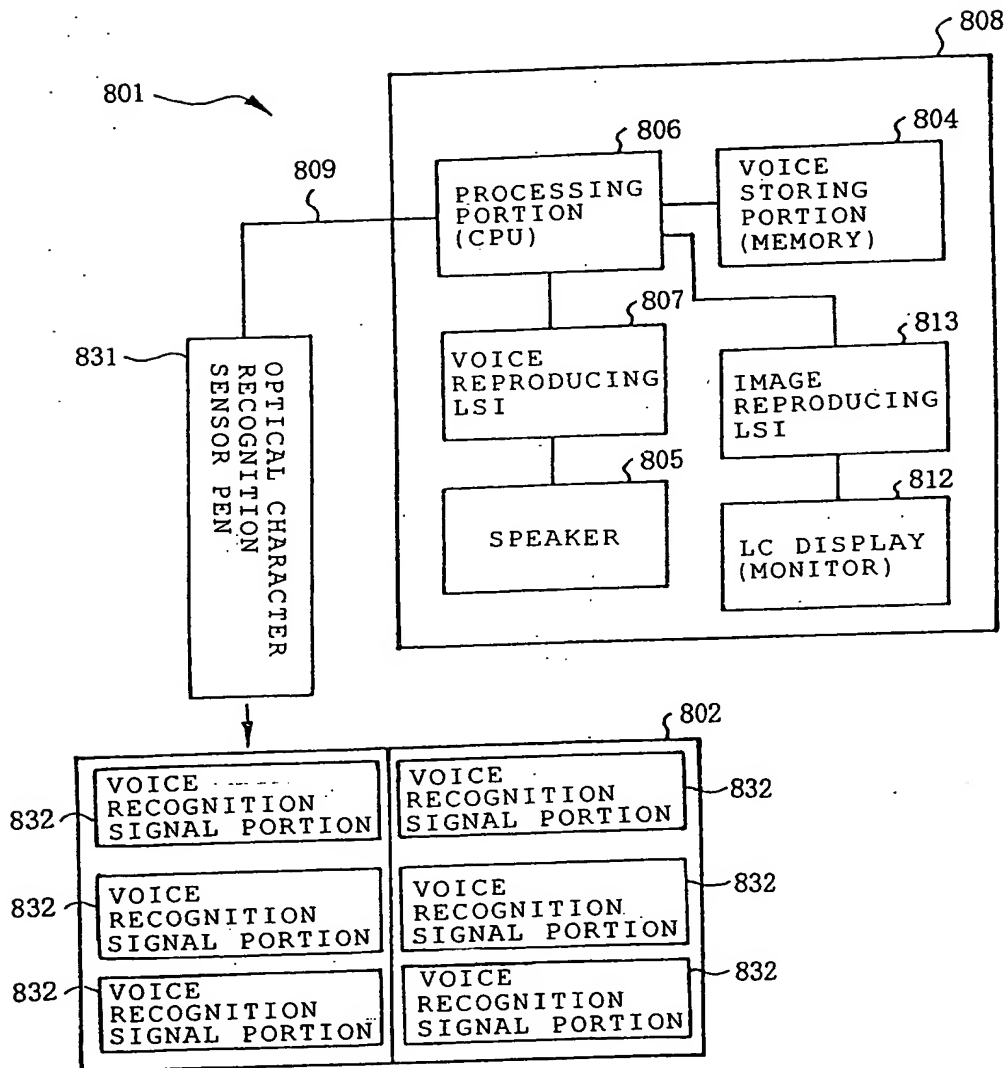
41 / 83

Fig. 48



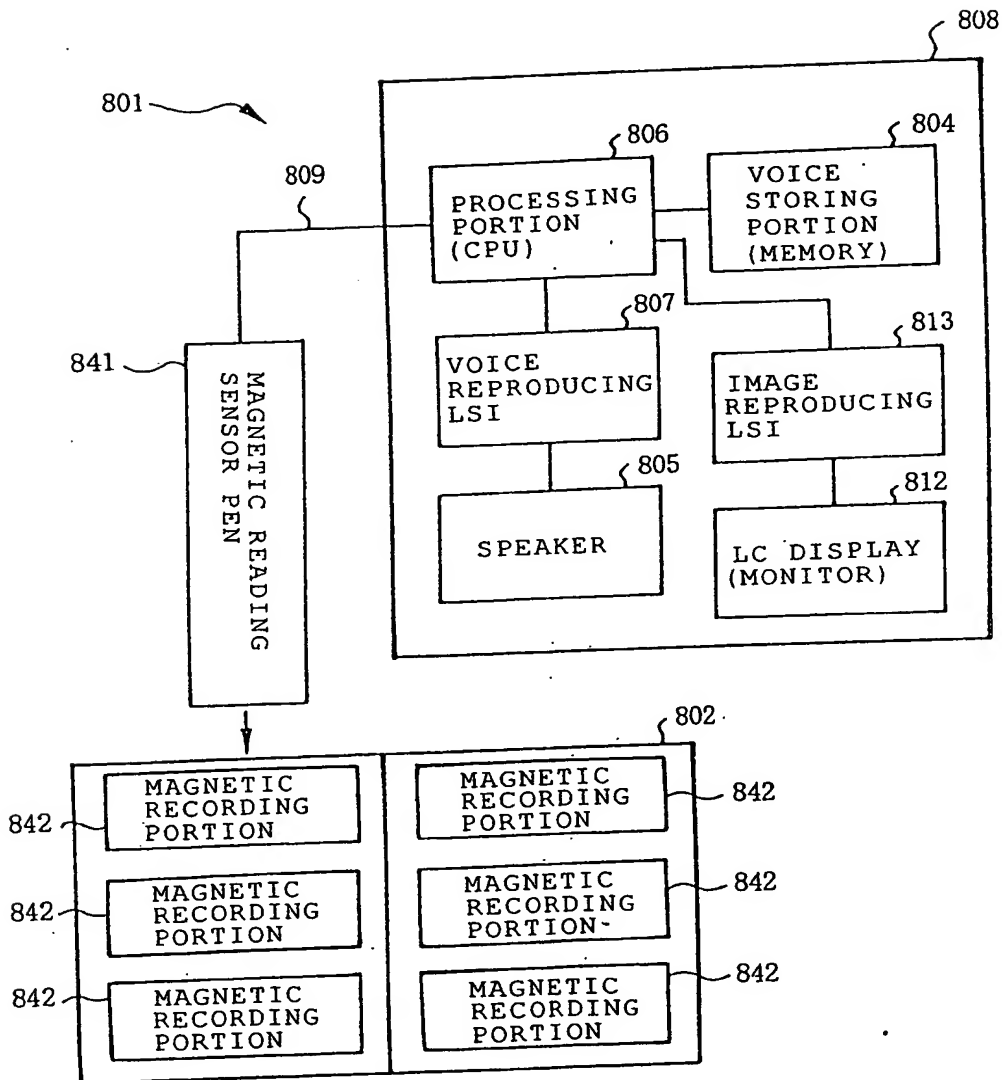
42/83

Fig. 49



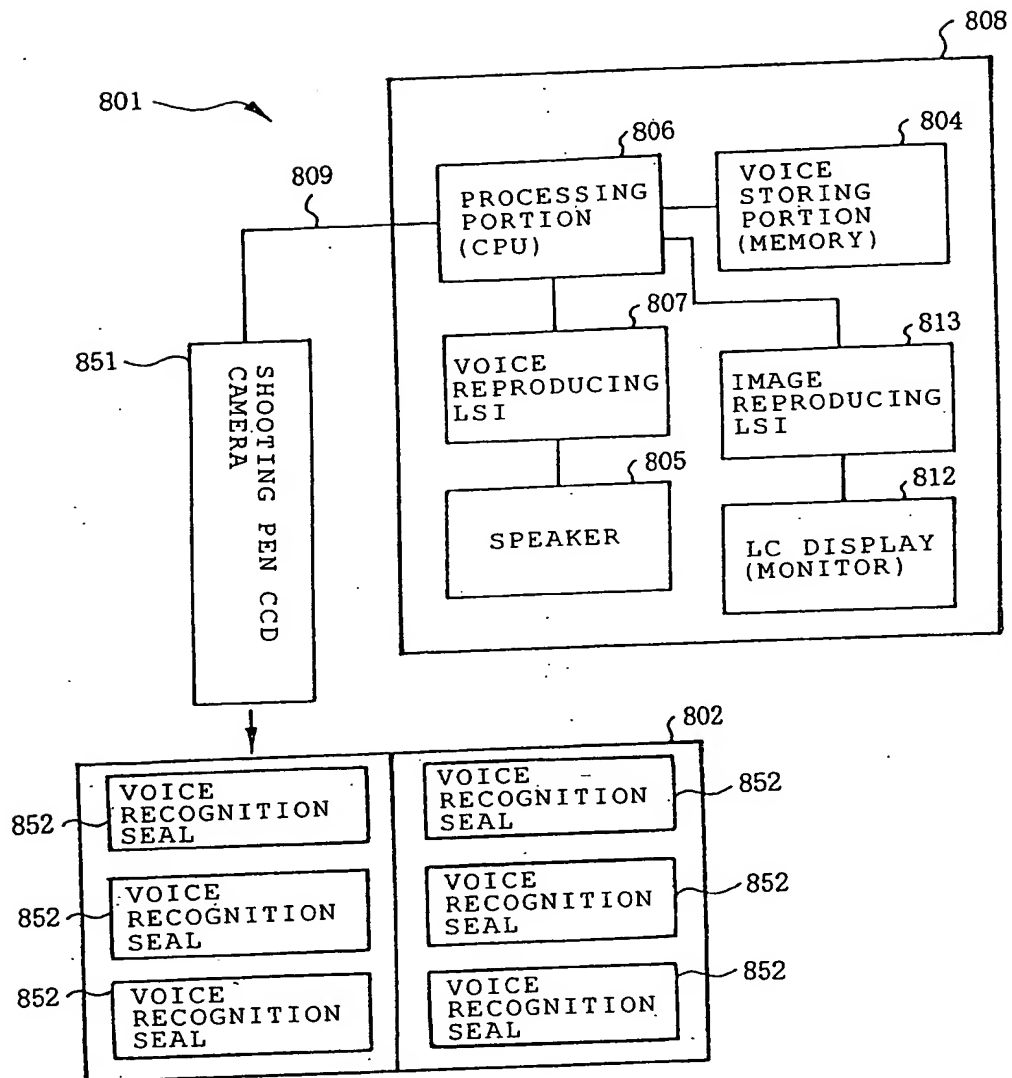
43/83

Fig. 50



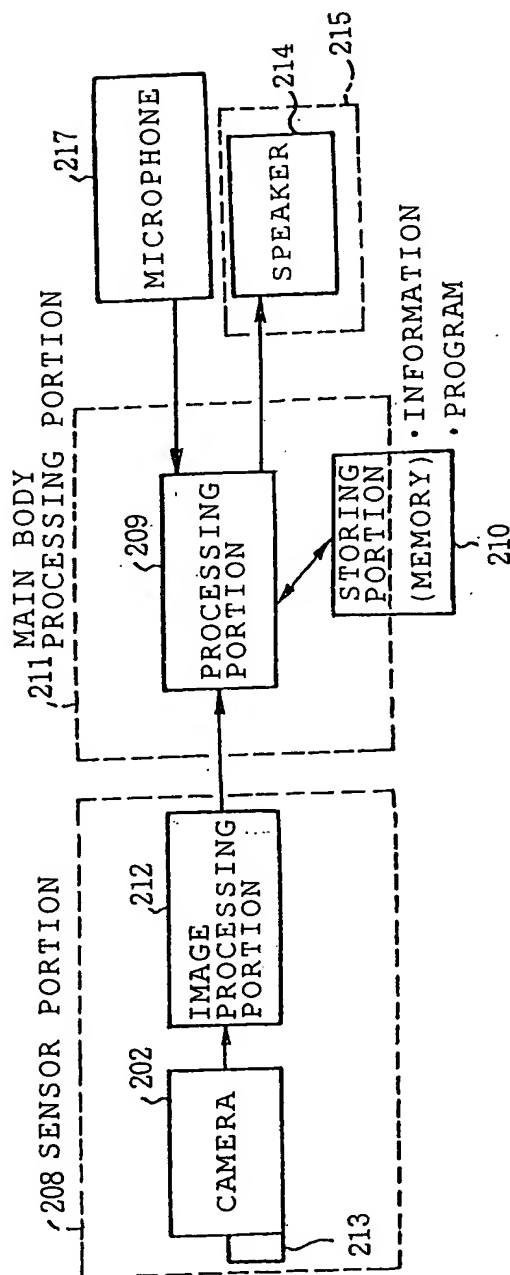
44/83

Fig. 51



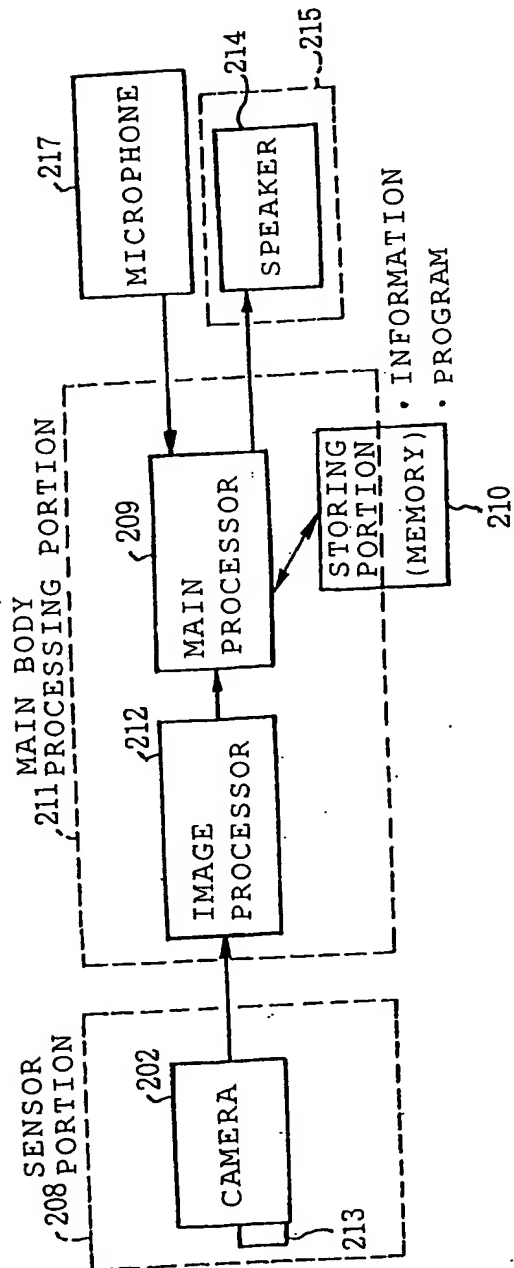
45/83

Fig. 52



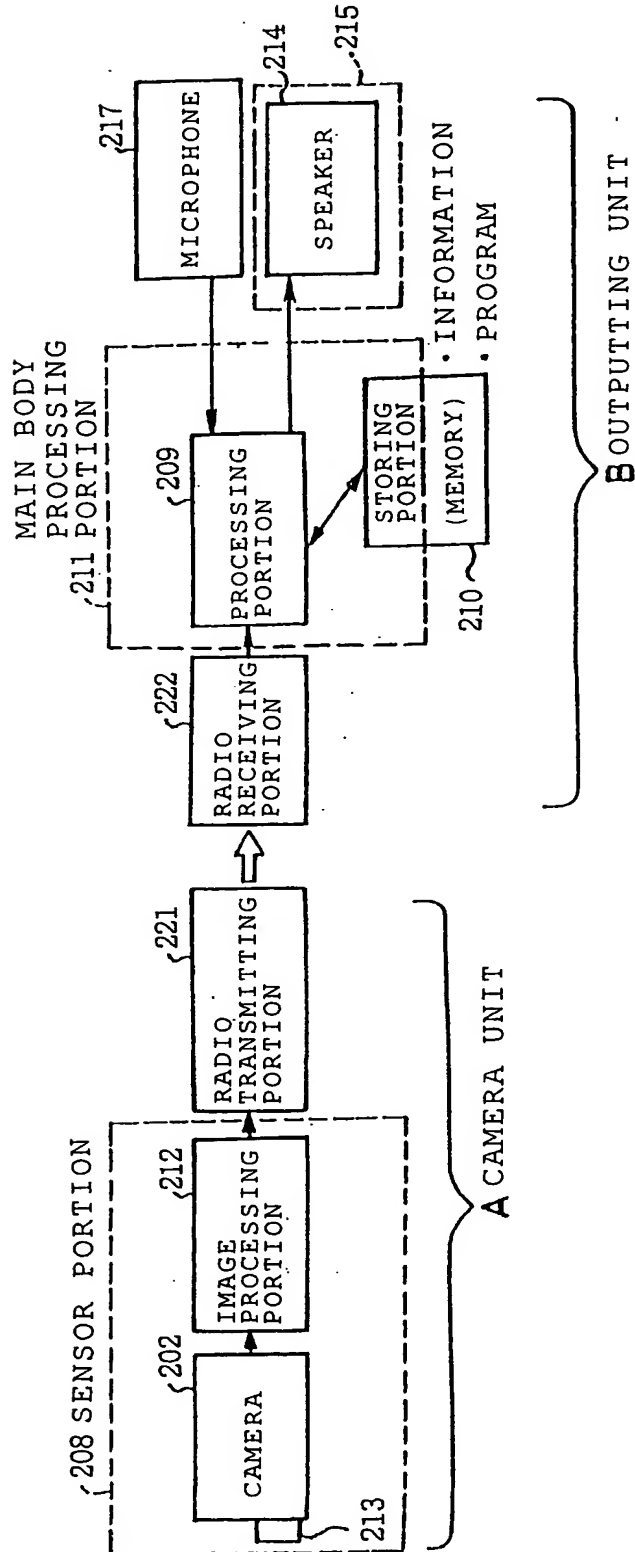
46 / 83

Fig. 53



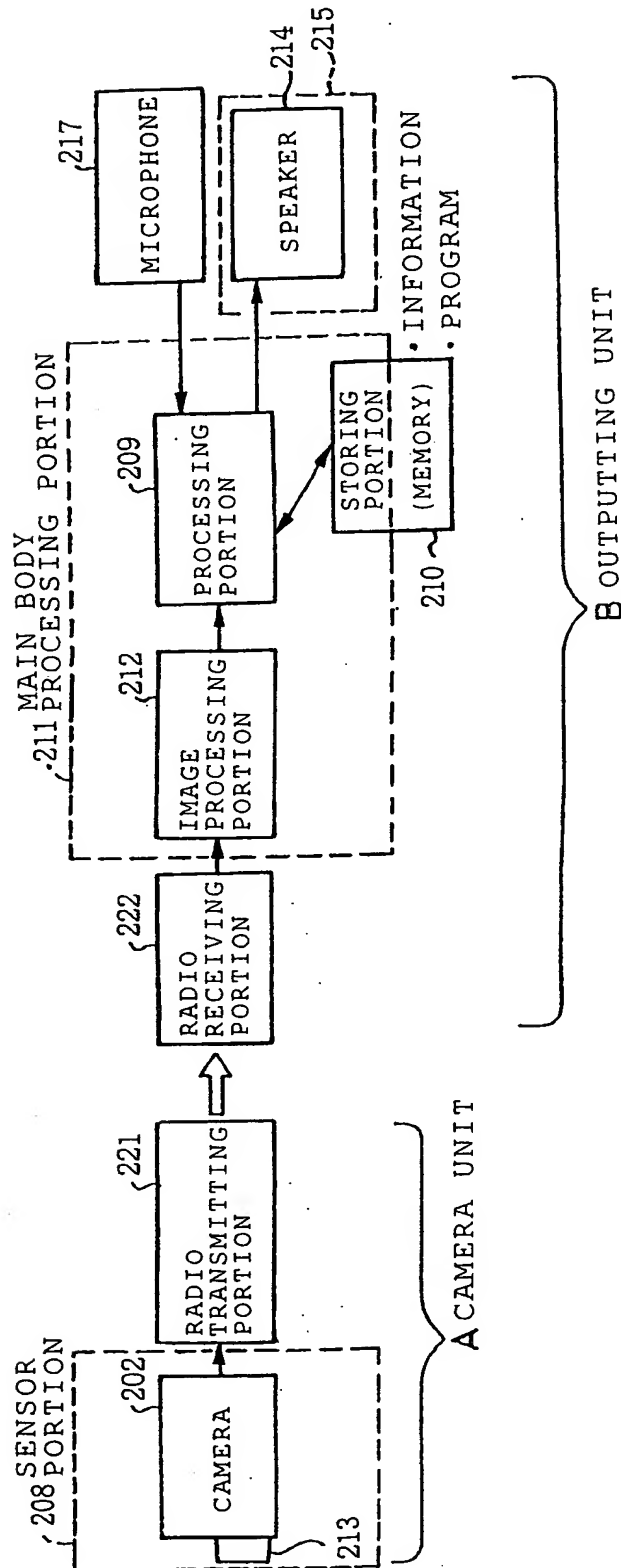
47 / 83

Fig. 54



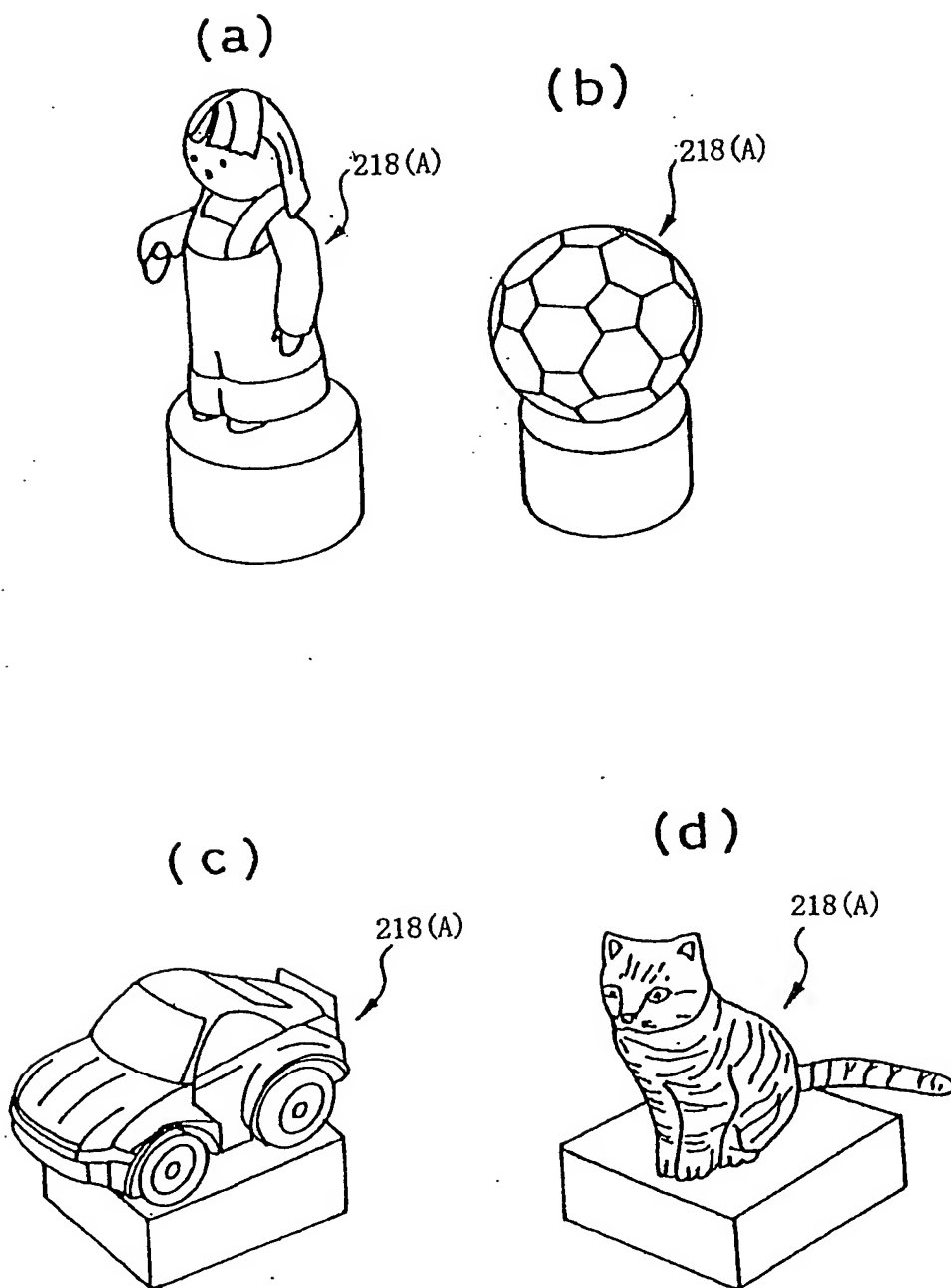
48/83

Fig. 55



49/83

Fig. 56



50/83

Fig. 57

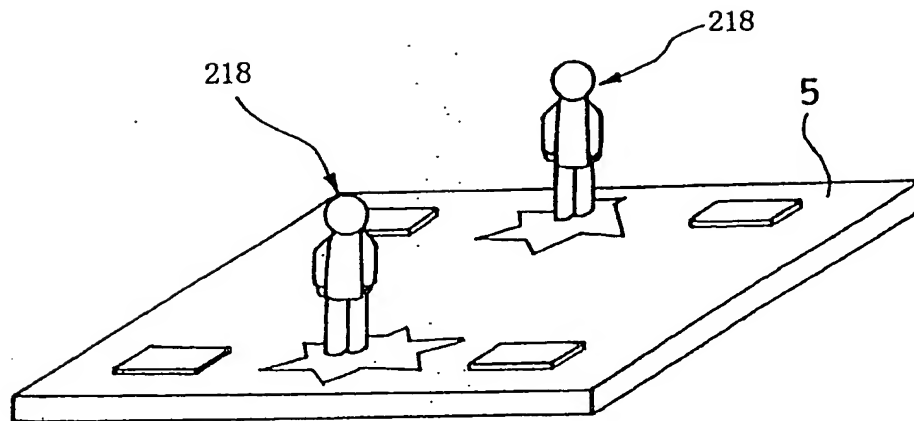
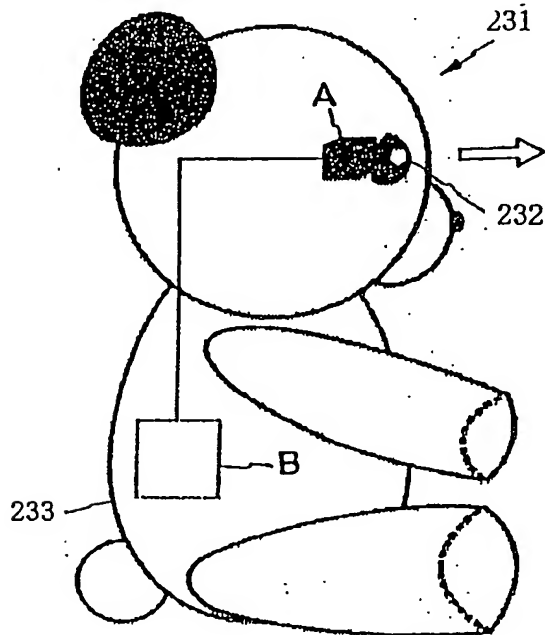


Fig. 58



51/83

Fig. 59

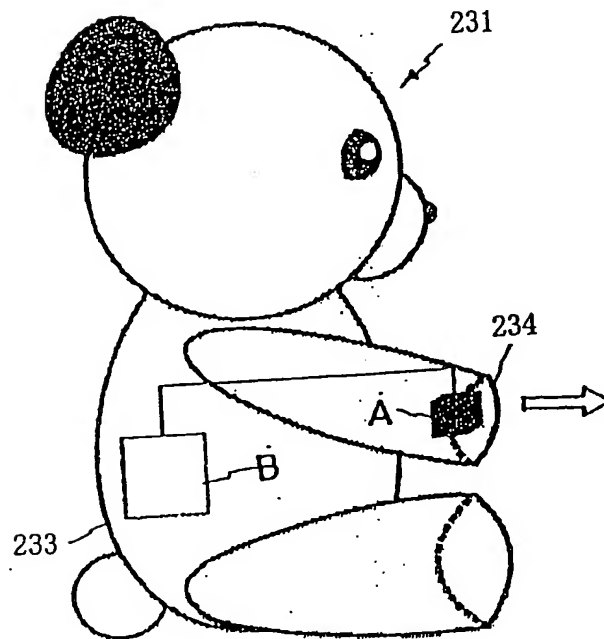
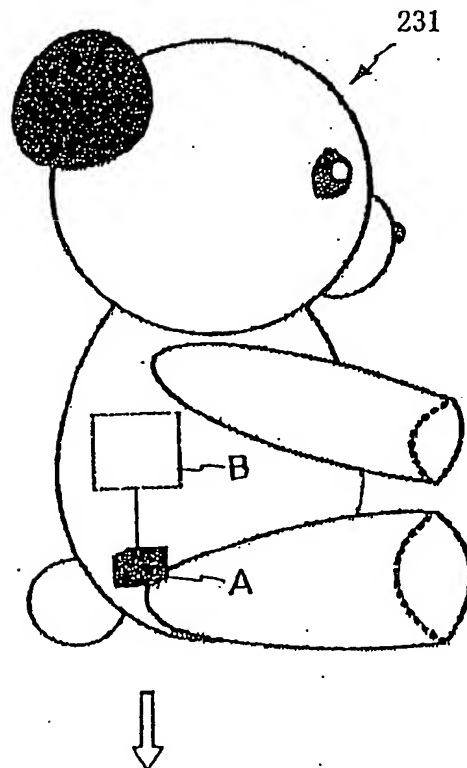


Fig. 60



52/76

Fig. 61

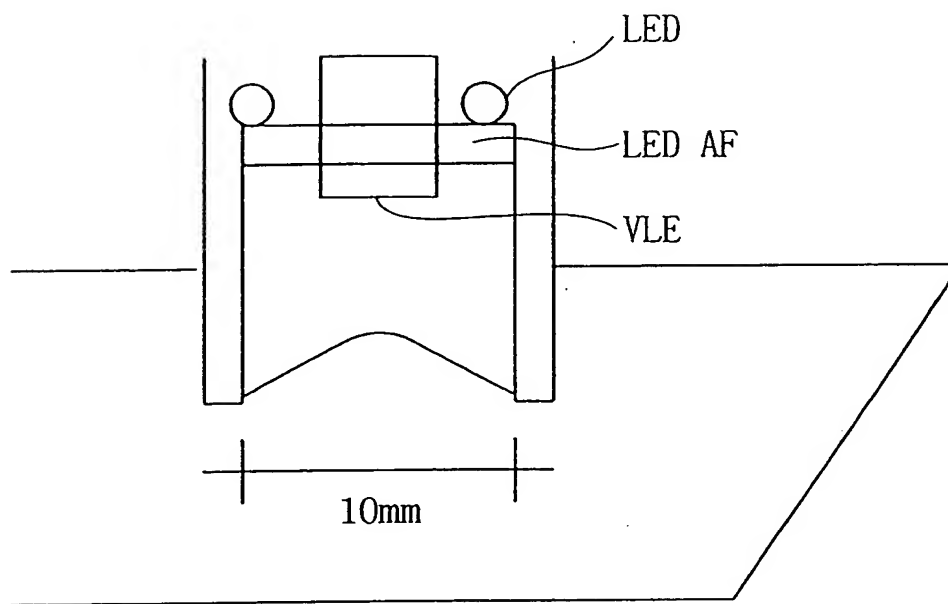
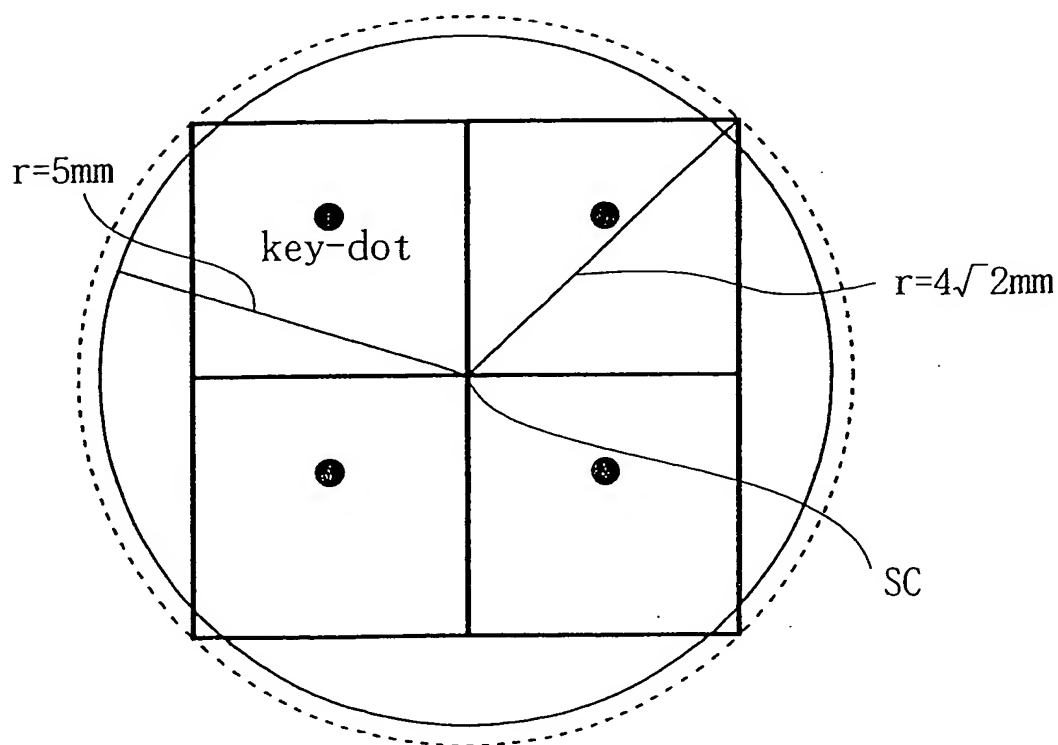
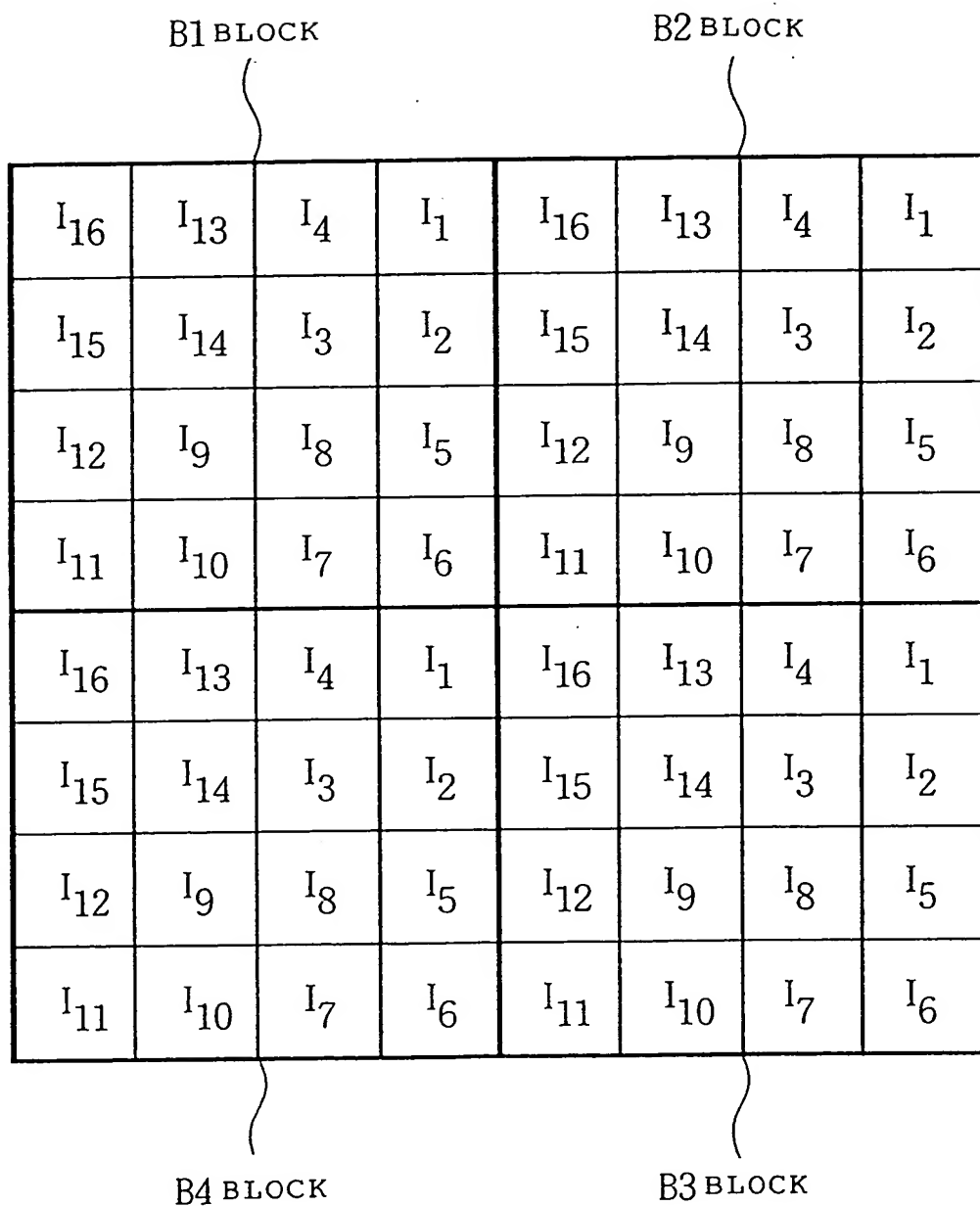


Fig. 62



53/76

Fig. 63



54/83

Fig. 64

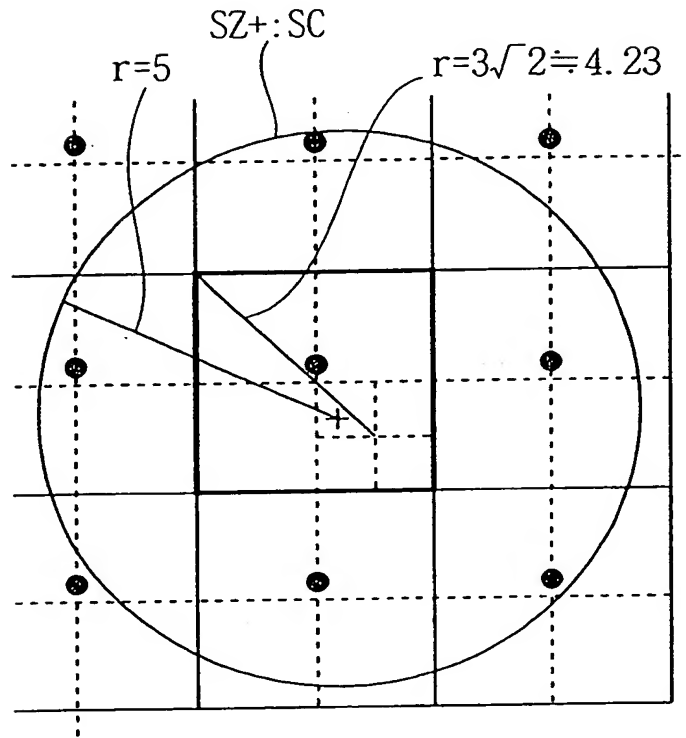
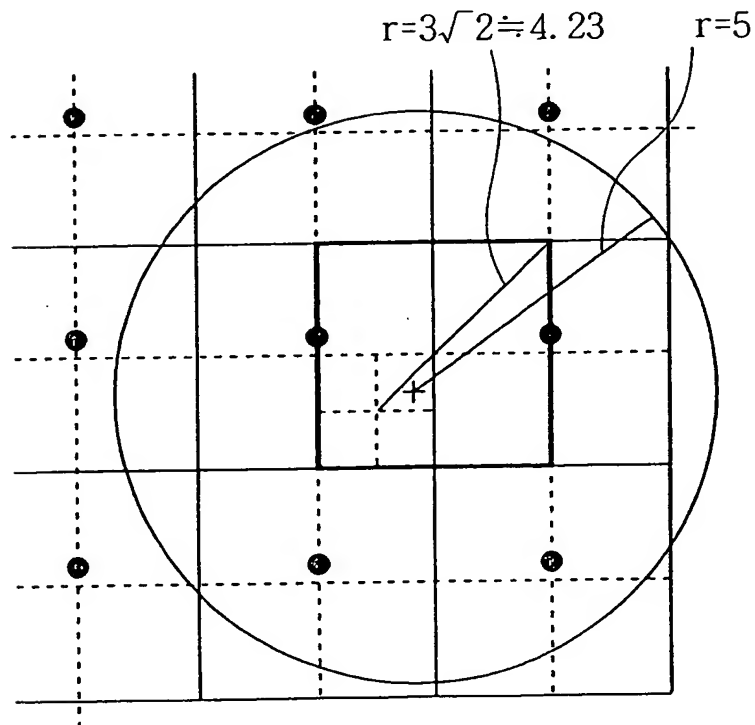


Fig. 65



55/83

Fig. 66

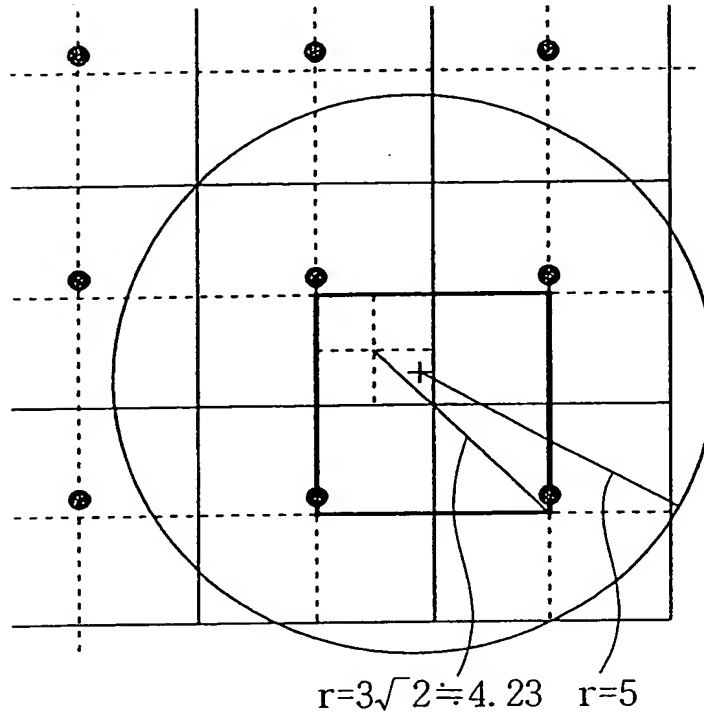
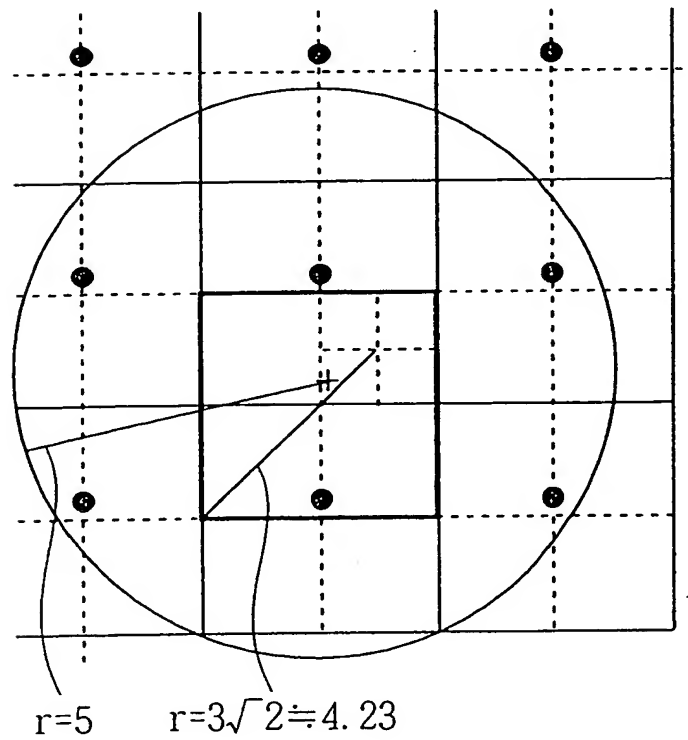
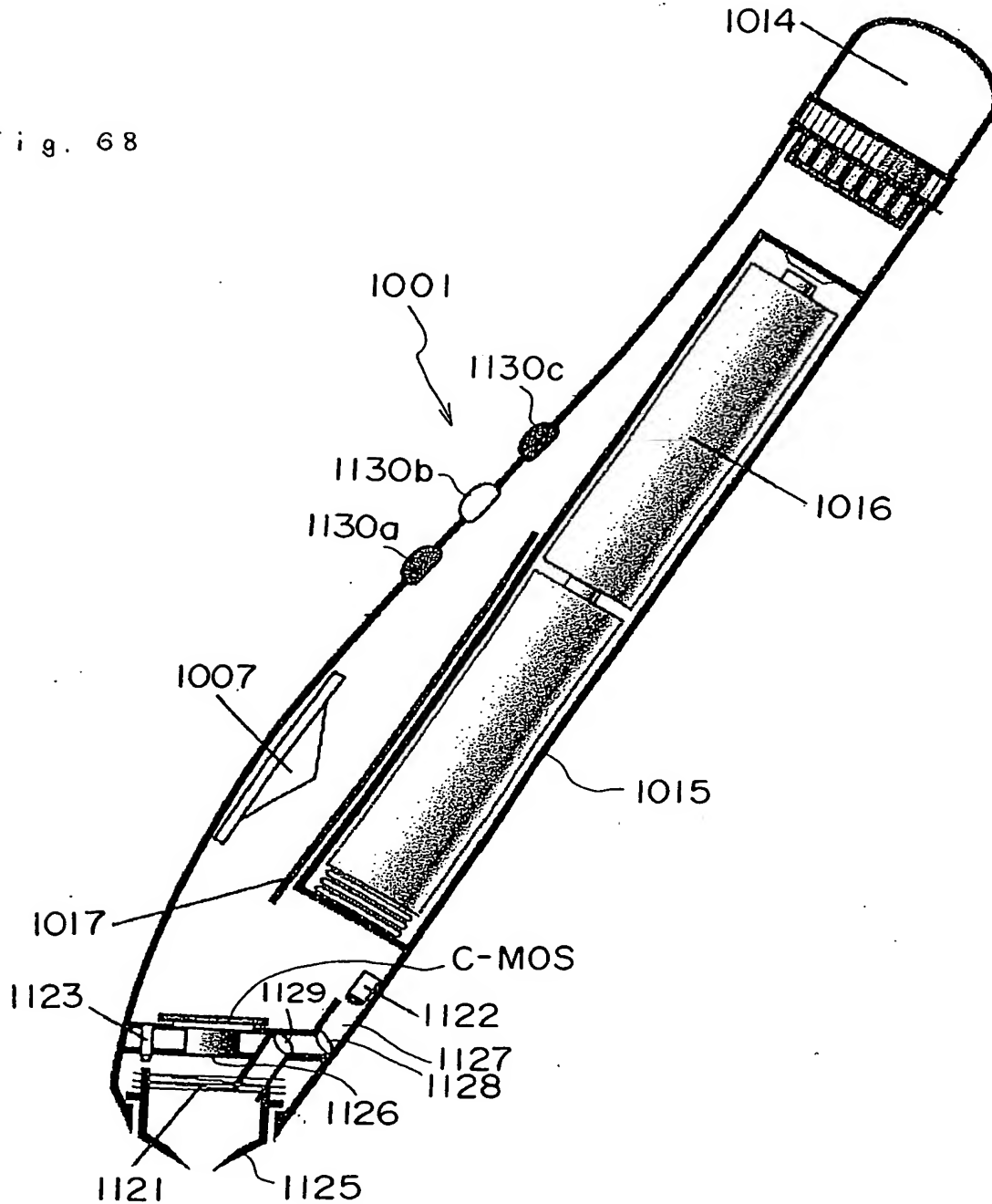


Fig. 67



56/83

Fig. 68



57/83

Fig. 69

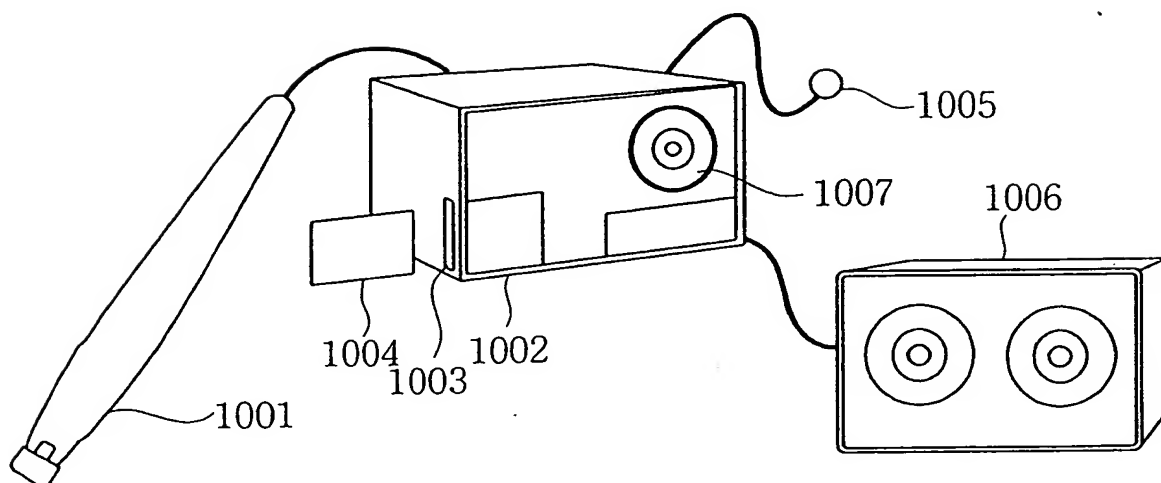
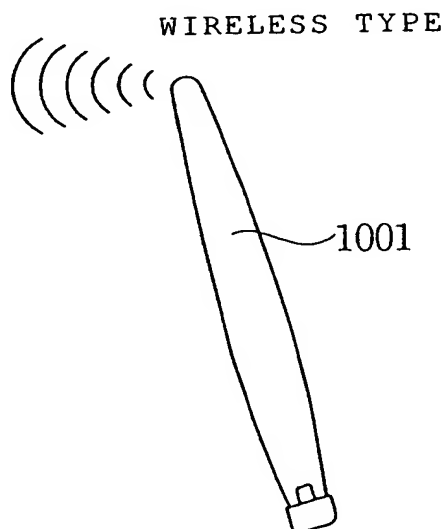


Fig. 70



58/83

Fig. 71

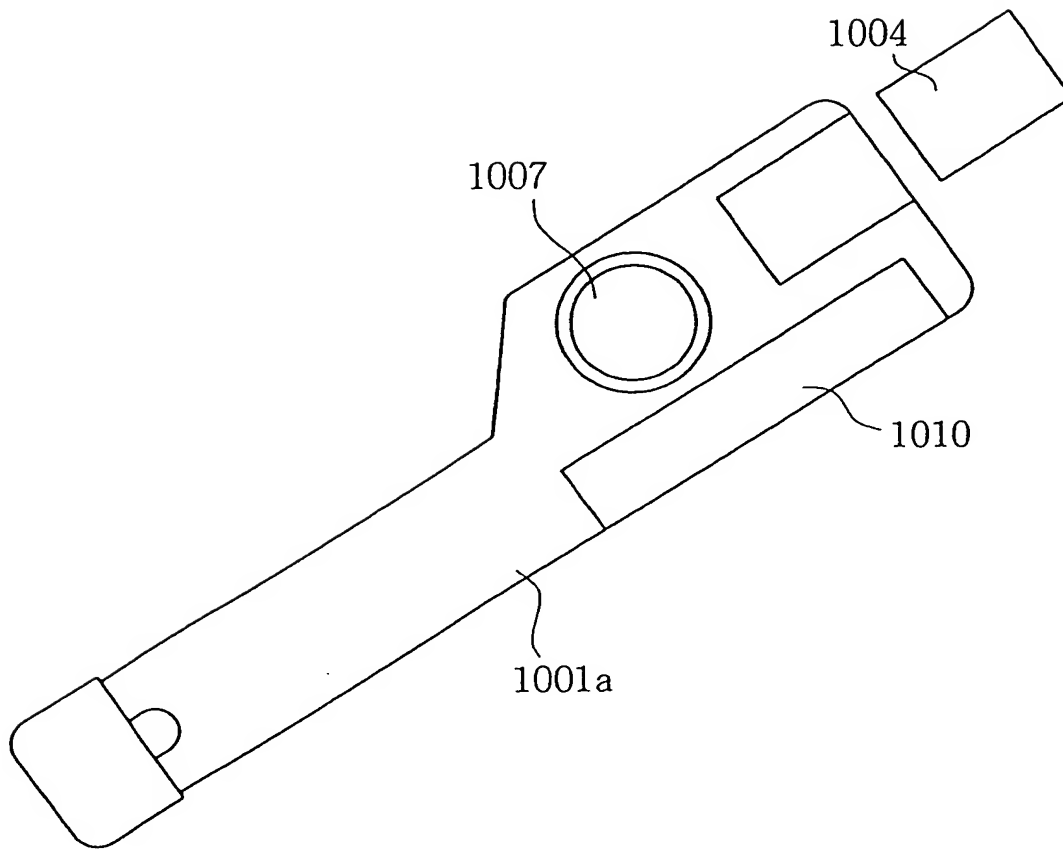
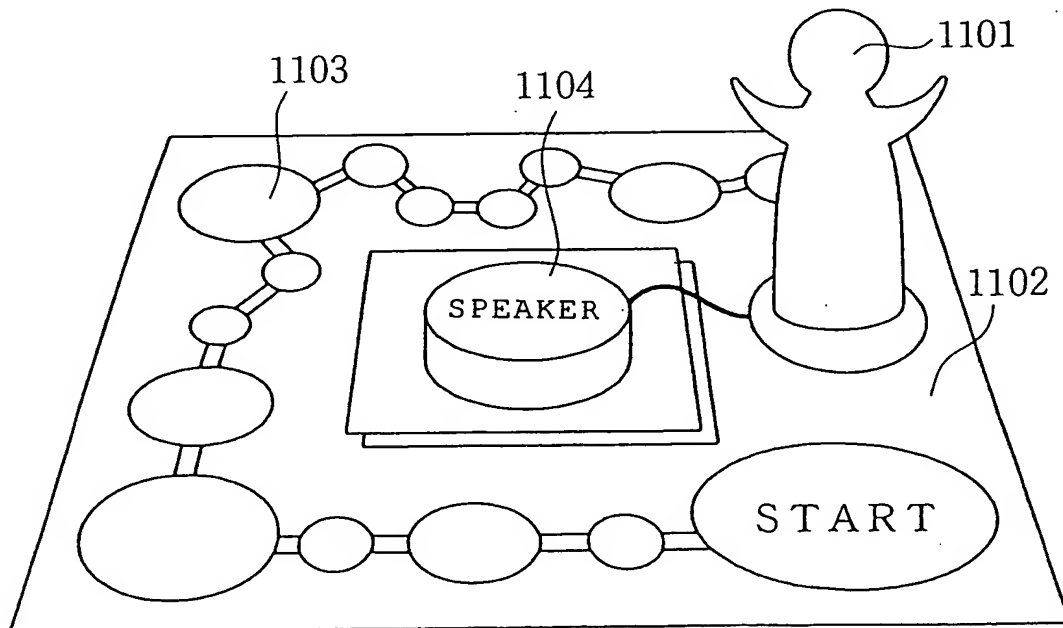


Fig. 72



59/83

Fig. 73

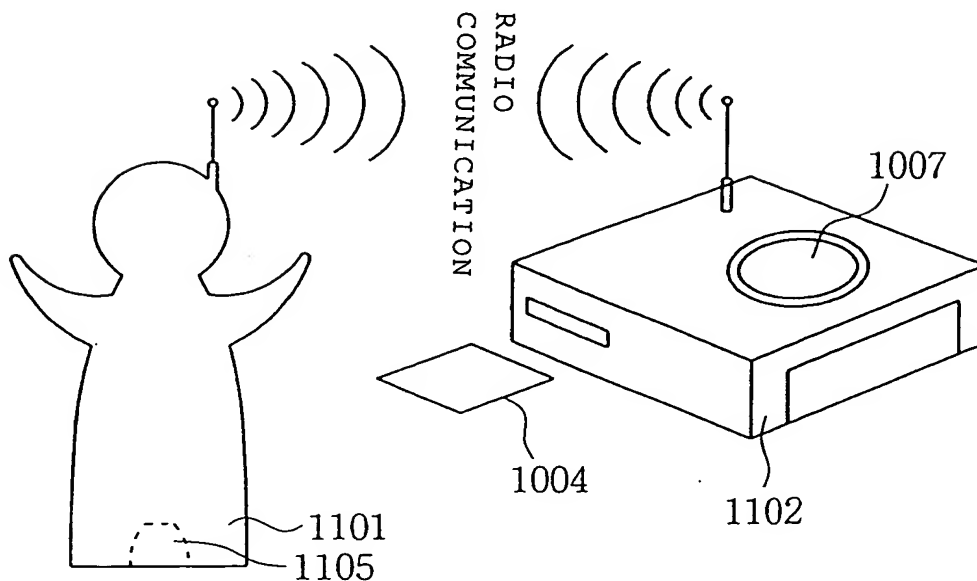


Fig. 74

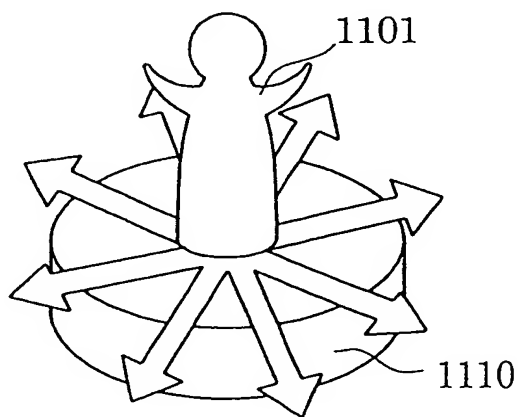
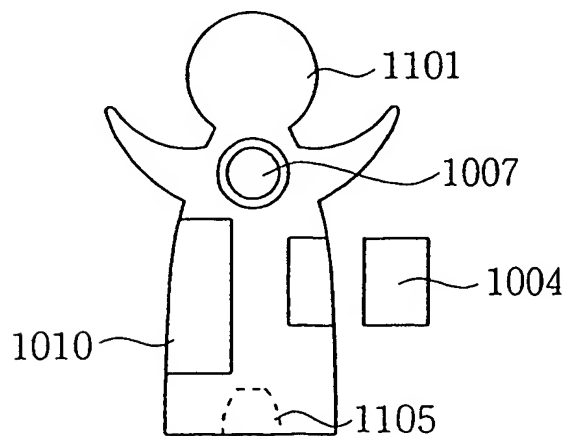


Fig. 75



60/83

Fig. 76

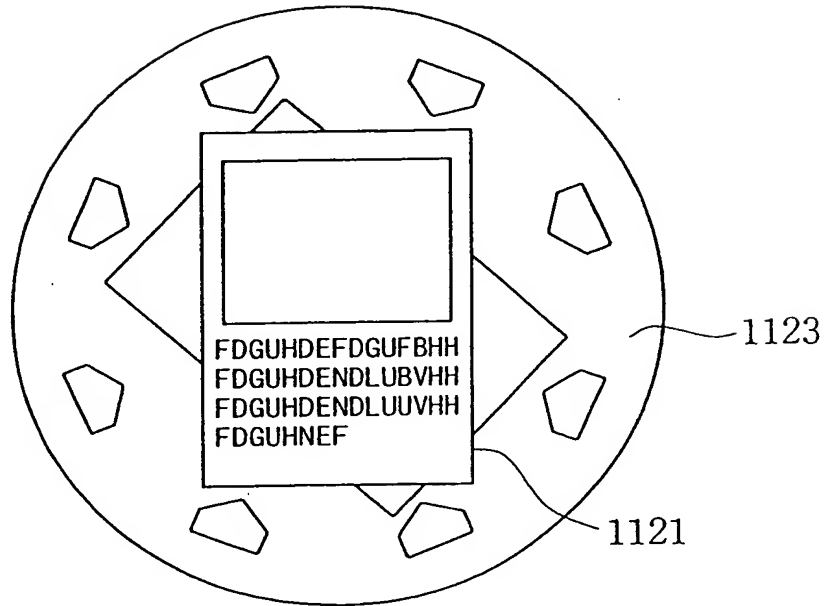
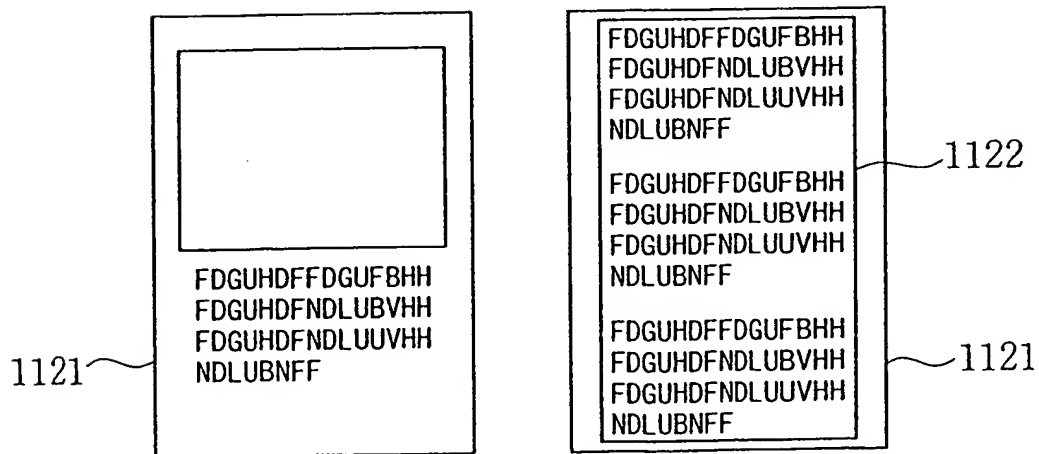


Fig. 77



61/83

Fig. 78

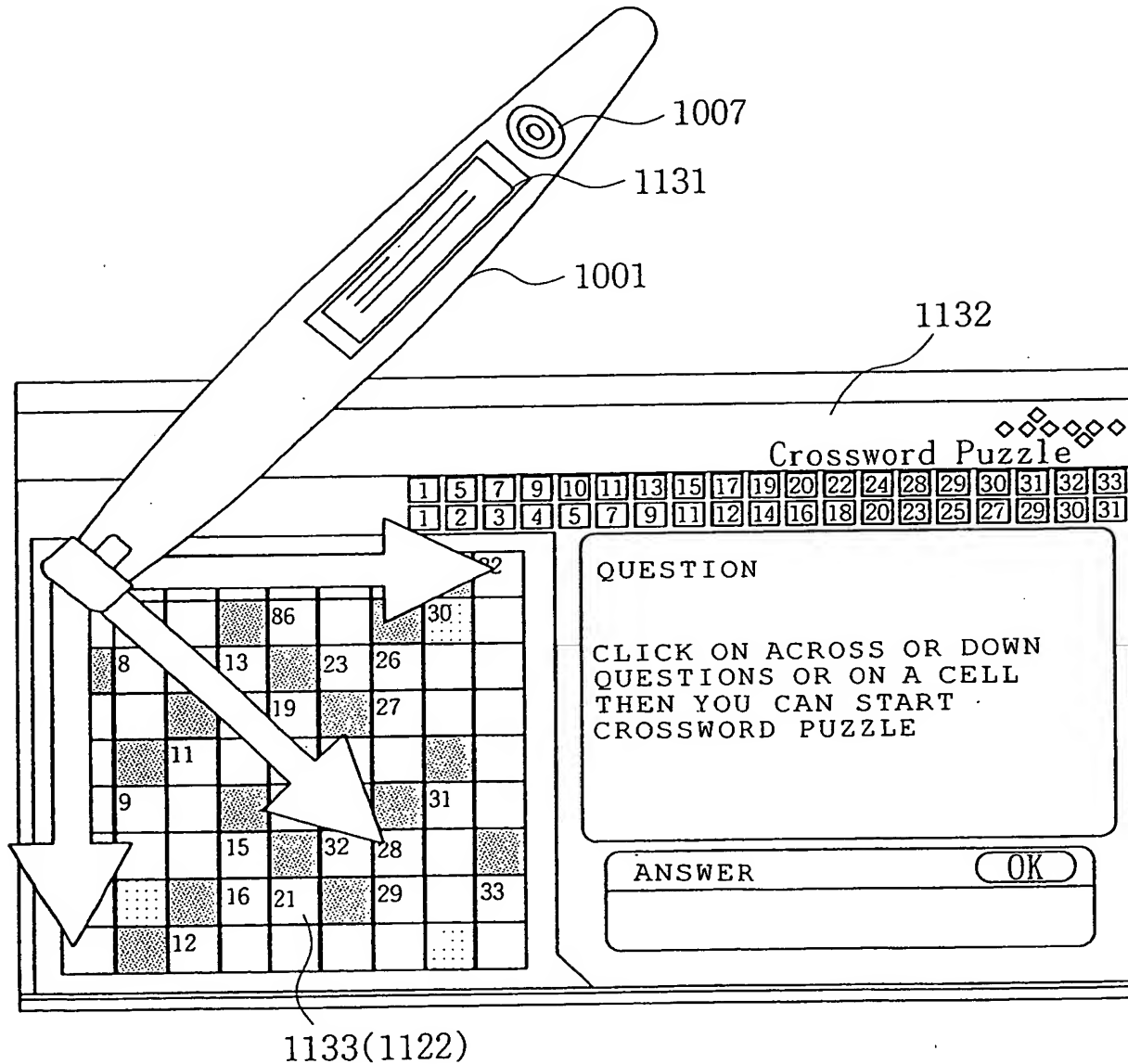
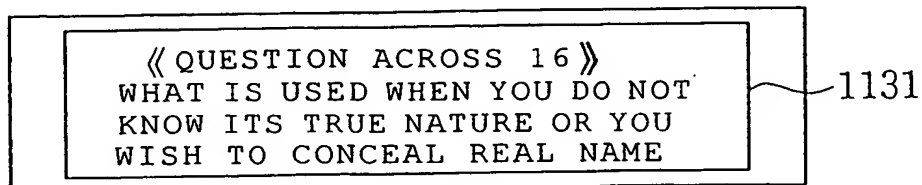


Fig. 79



62/83

Fig. 80

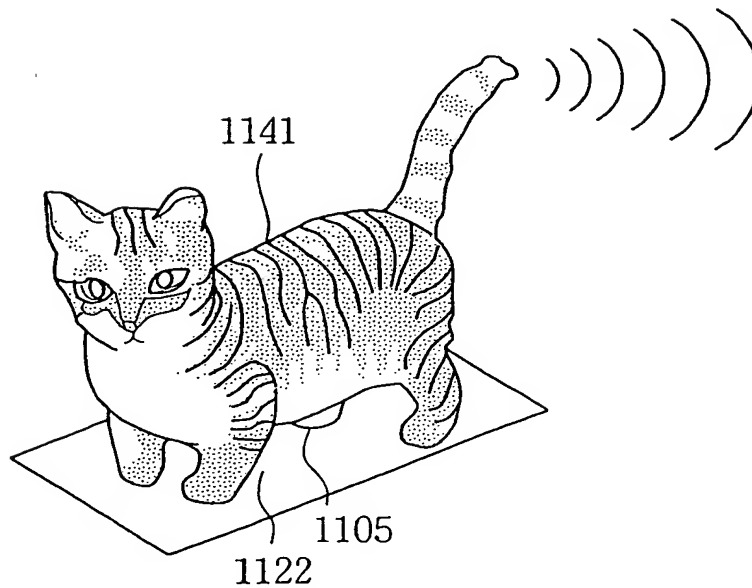
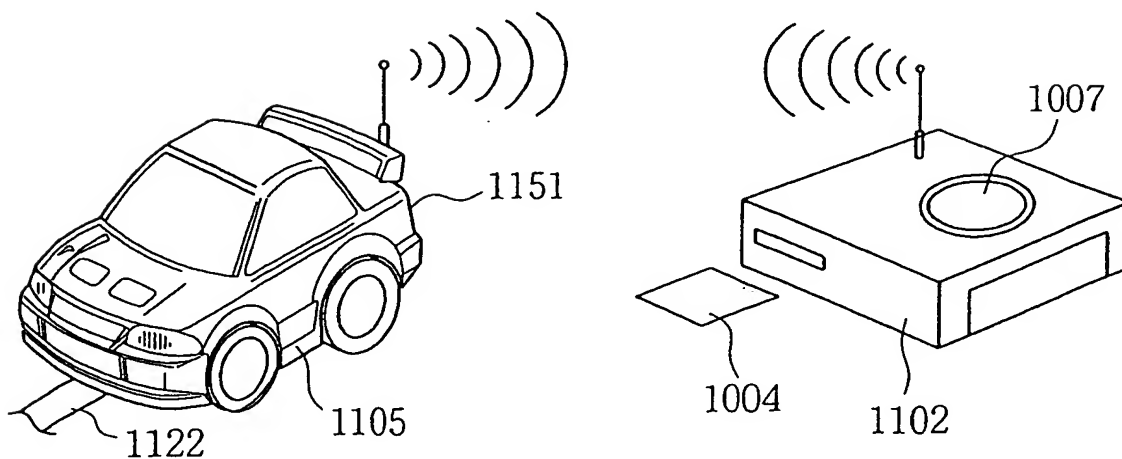


Fig. 81



63 / 83

Fig. 82

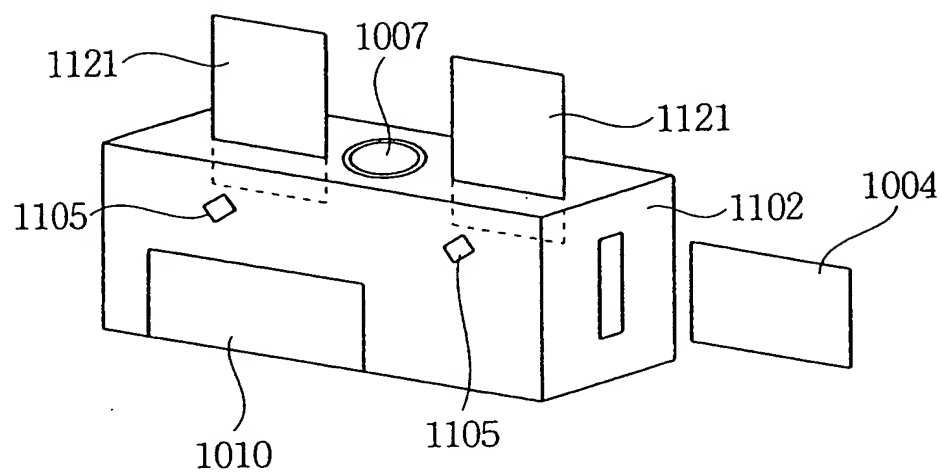
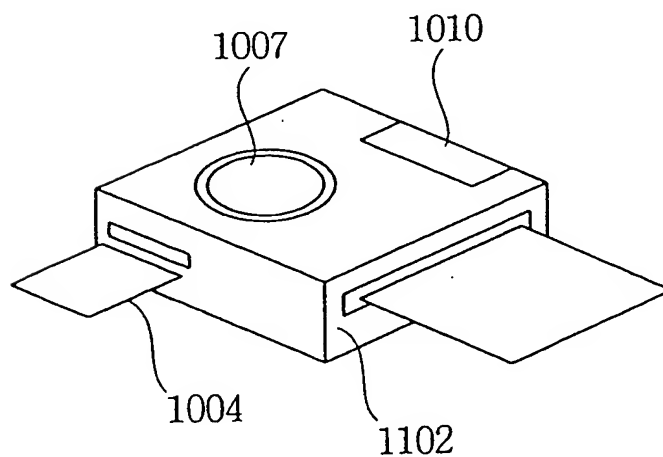


Fig. 83



64/83

Fig. 84

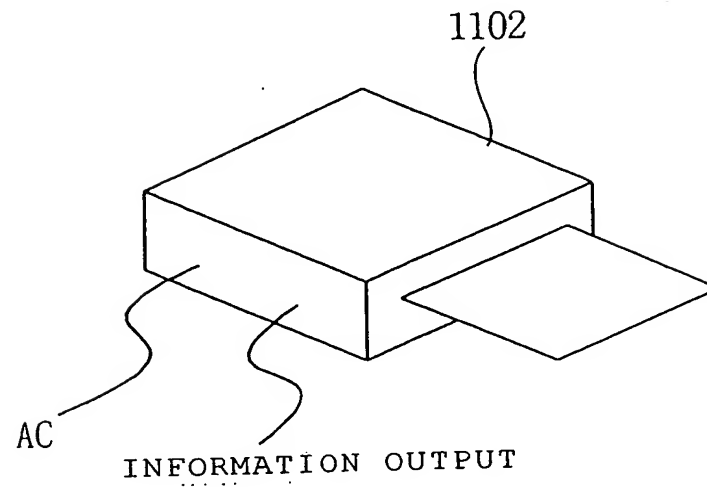
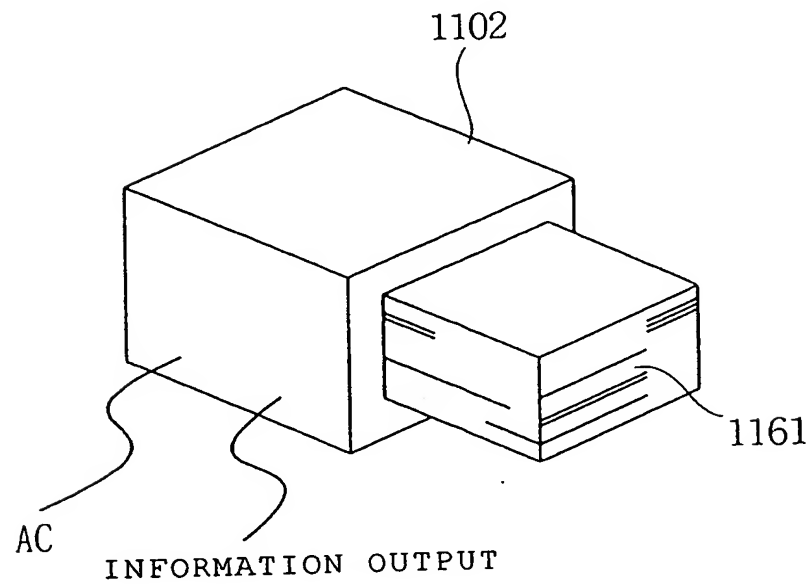


Fig. 85



65/83

Fig. 86

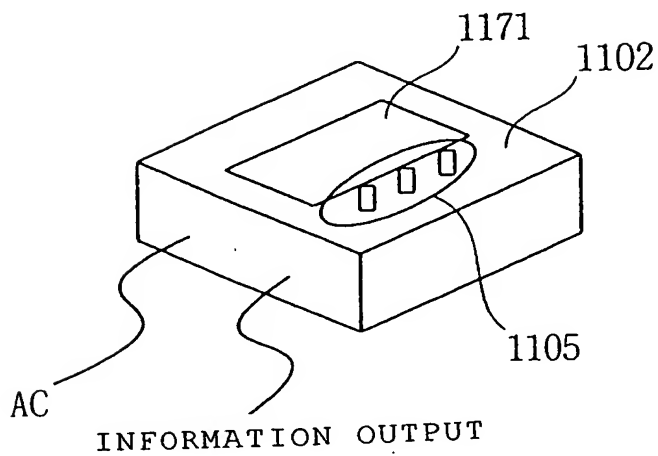
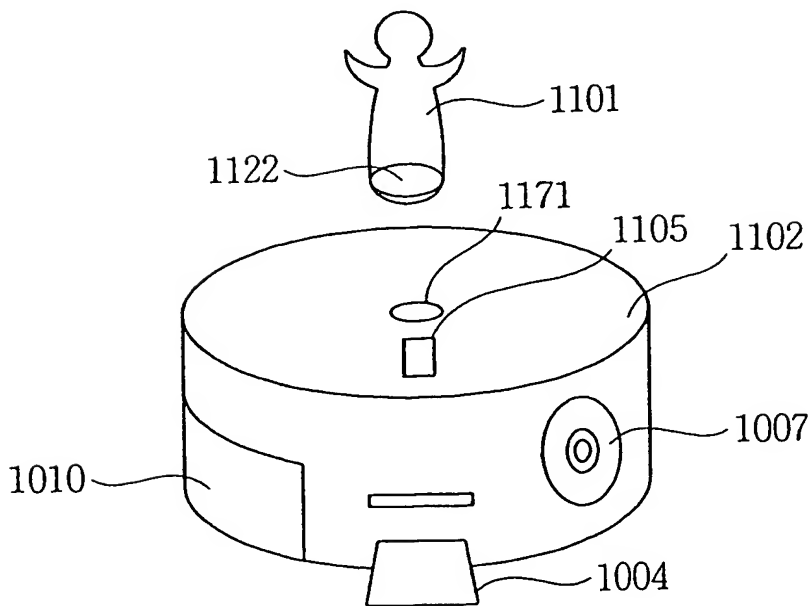
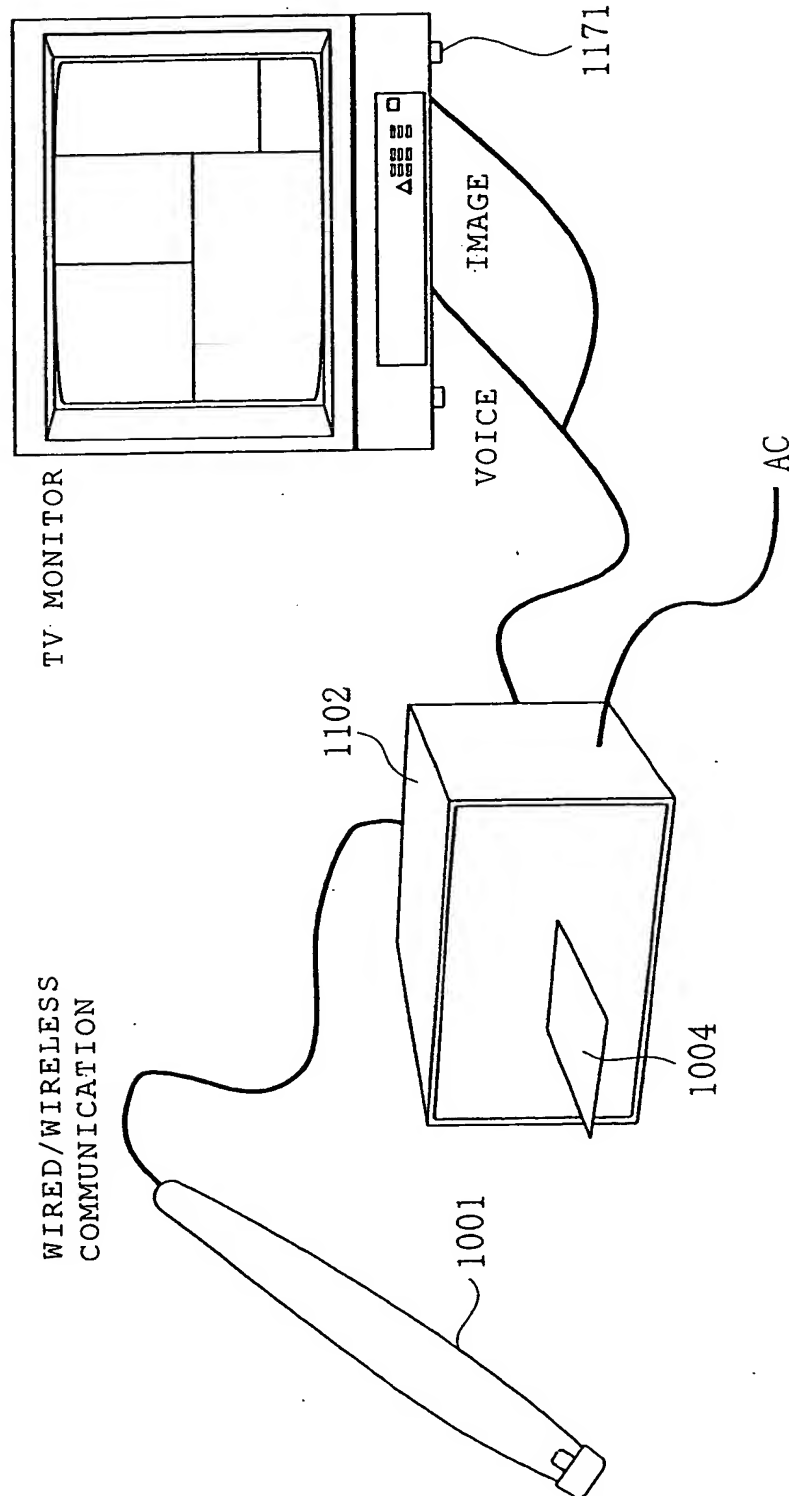


Fig. 87



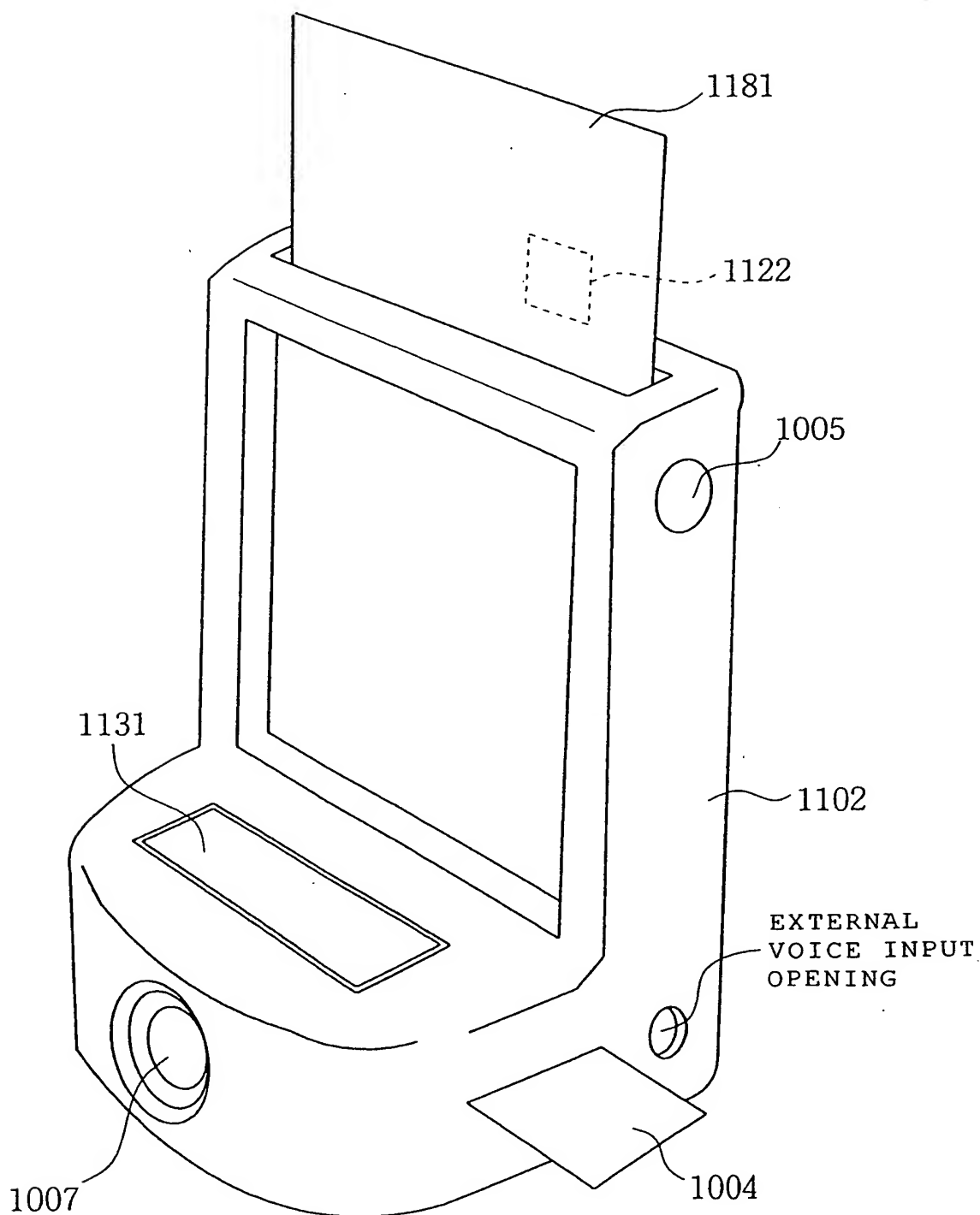
66/83

Fig. 88



67/83

Fig. 89



68/83

Fig. 90

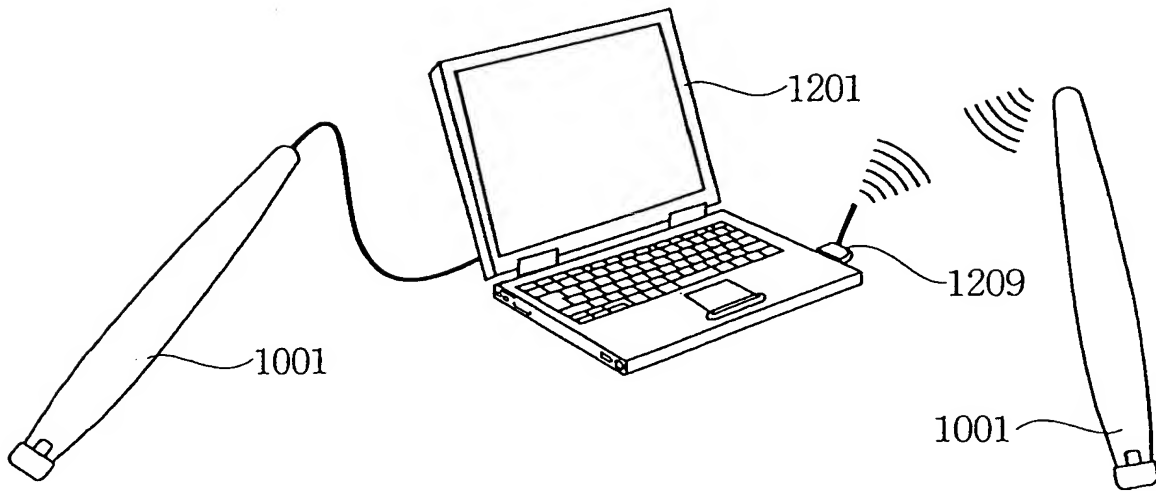
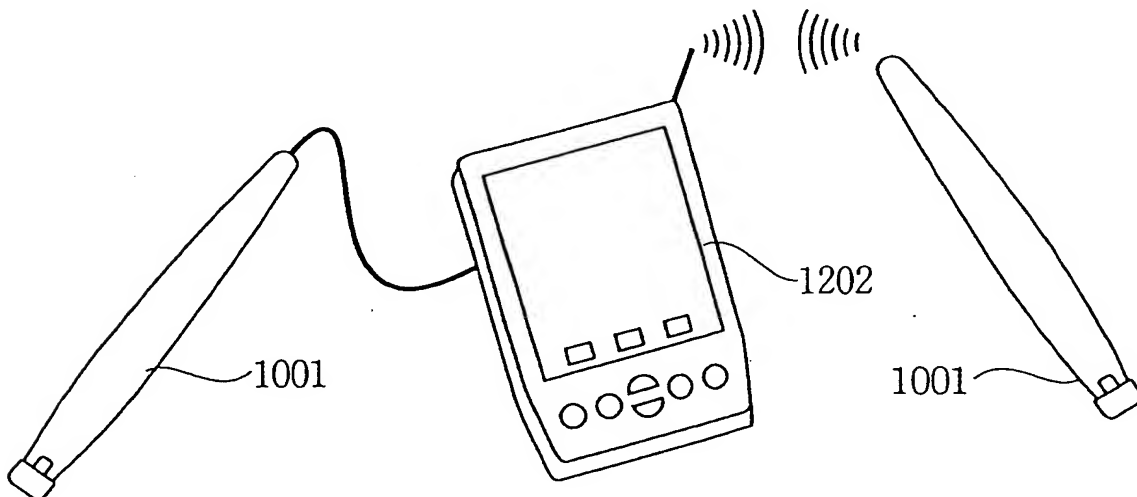


Fig. 91



69/83

Fig. 92

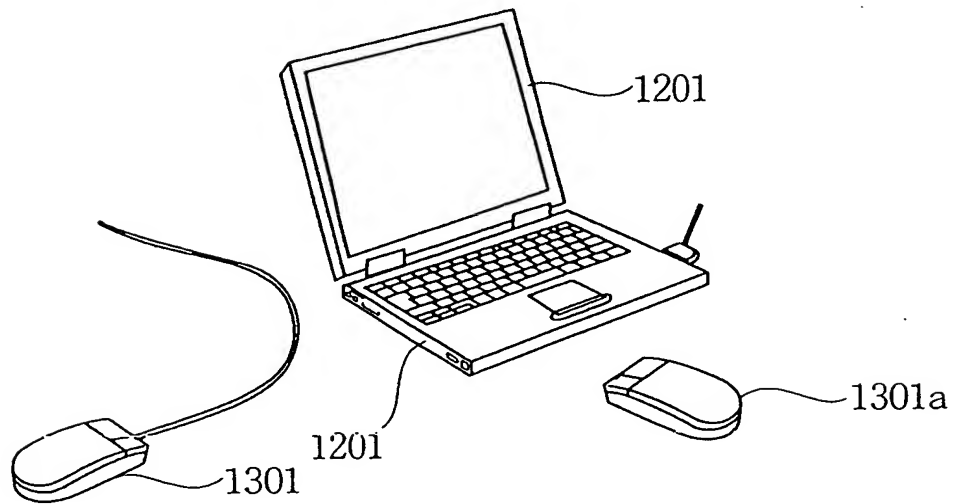
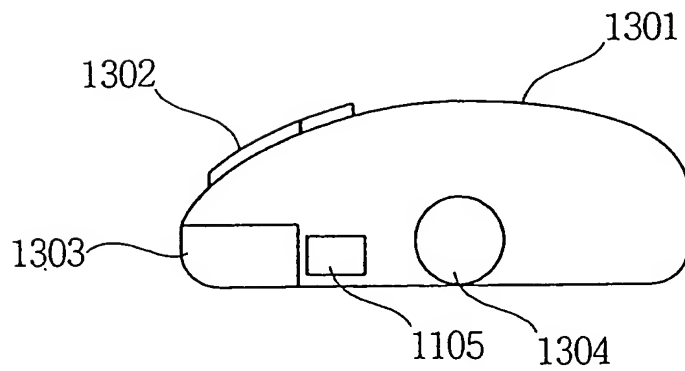


Fig. 93



70/83

Fig. 94

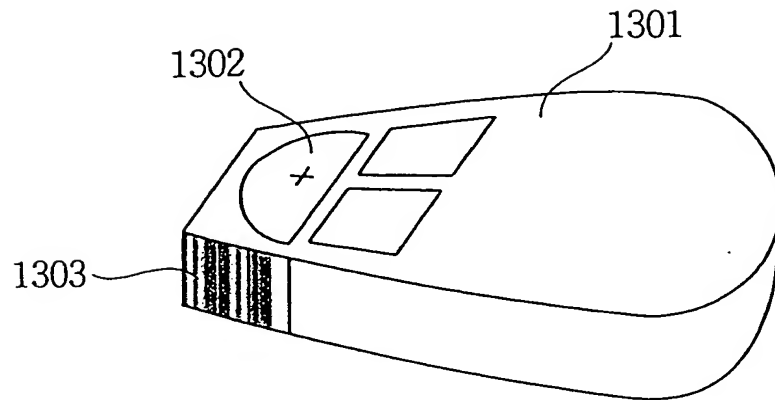


Fig. 95

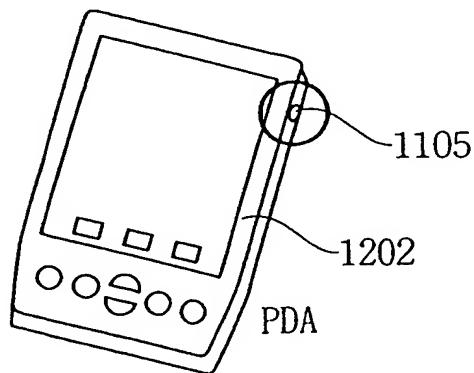
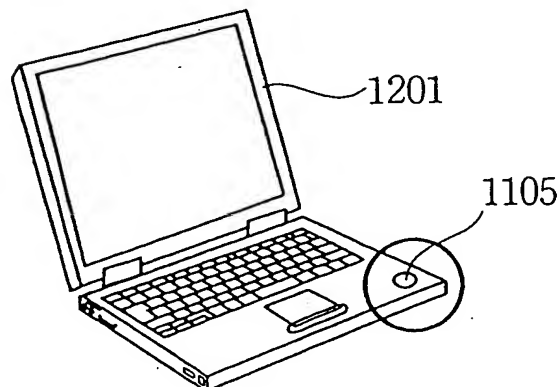


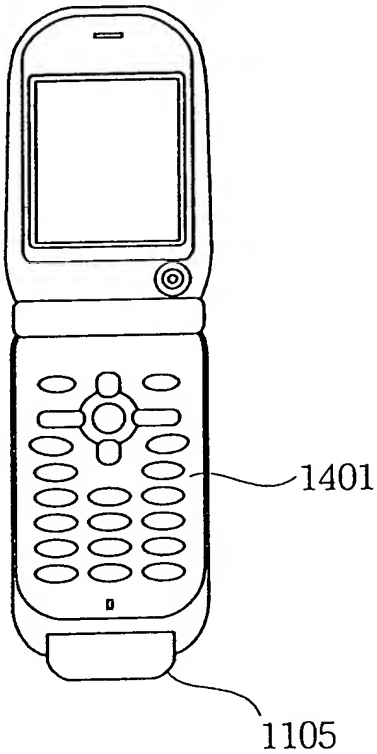
Fig. 96



71/83

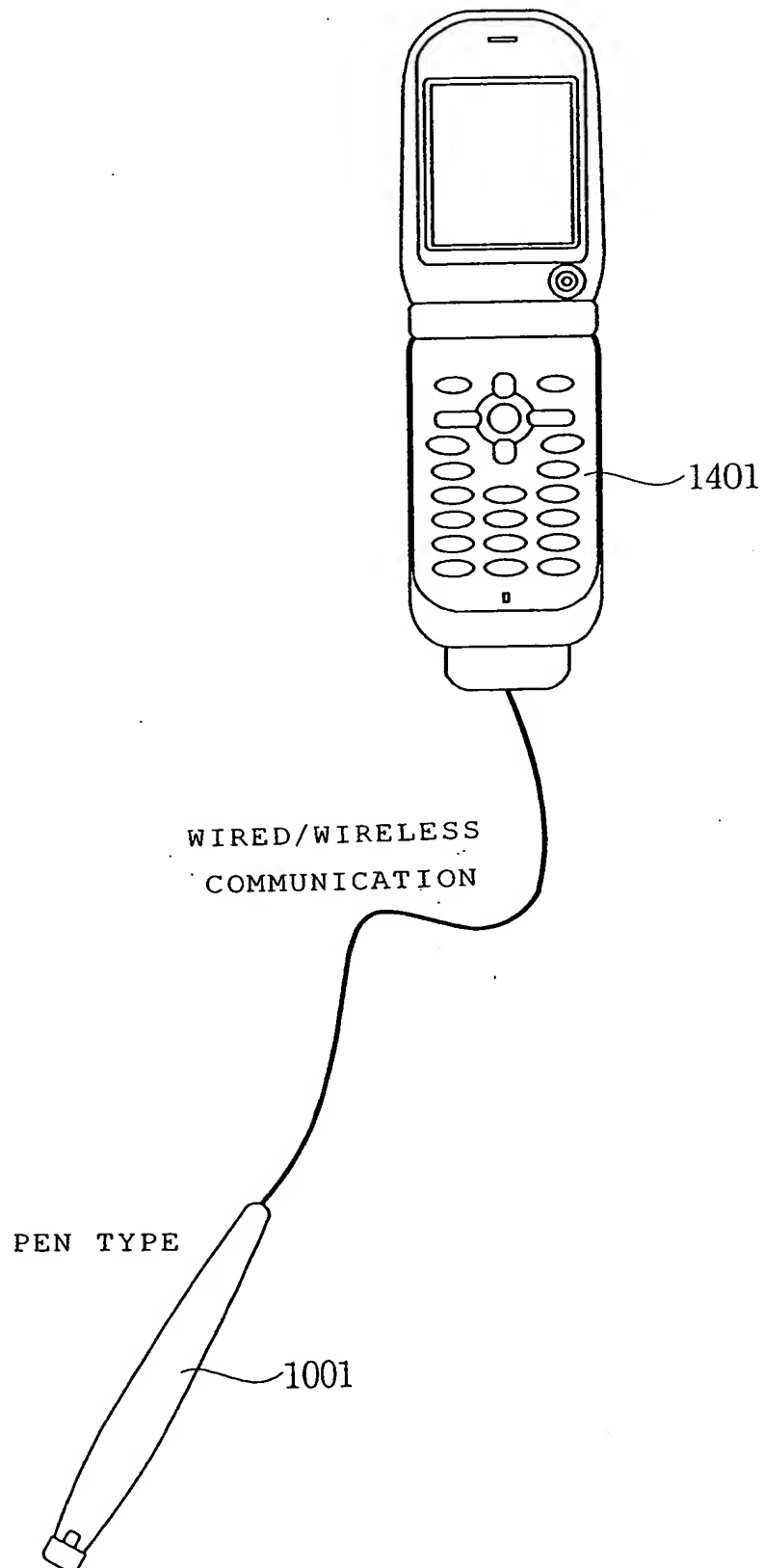
Fig. 97

INTEGRAL-TYPE SCANNER



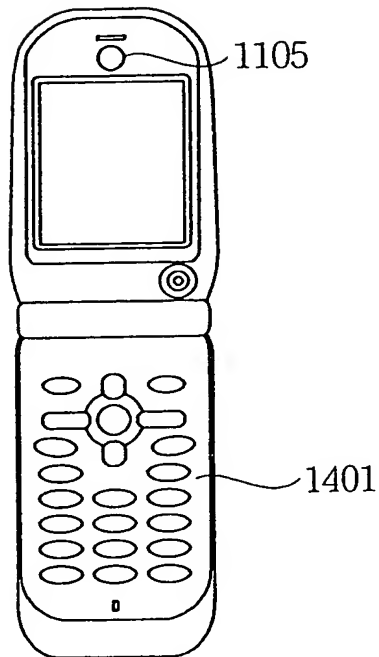
72/83

Fig. 98



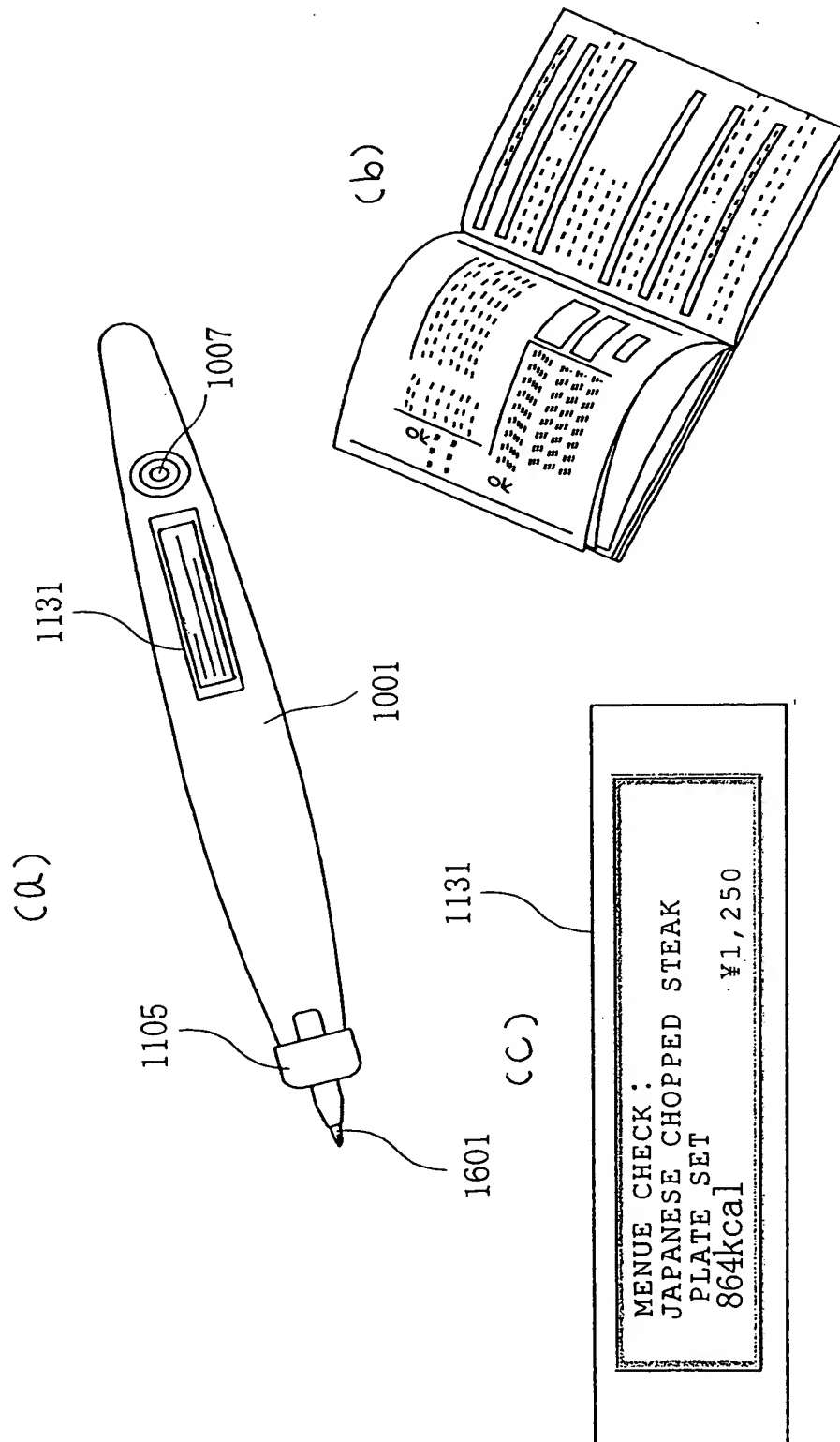
73/83

Fig. 99

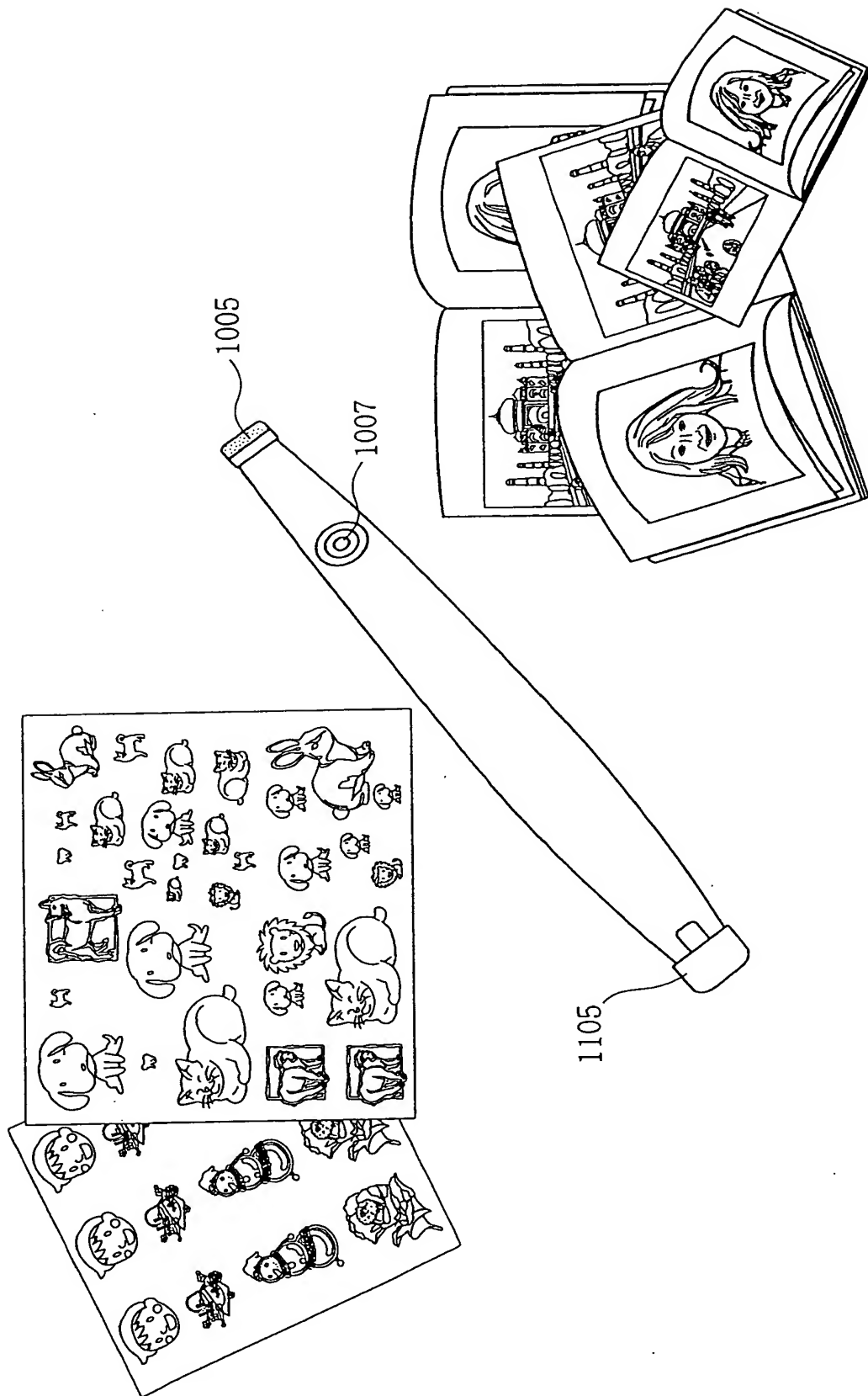


74/83

Fig. 100

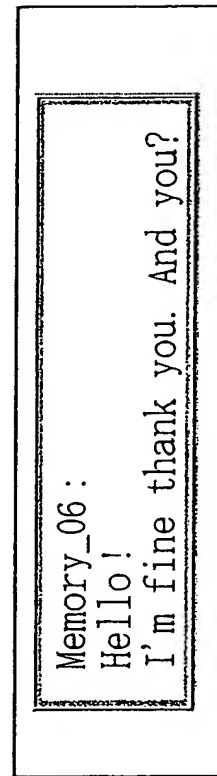
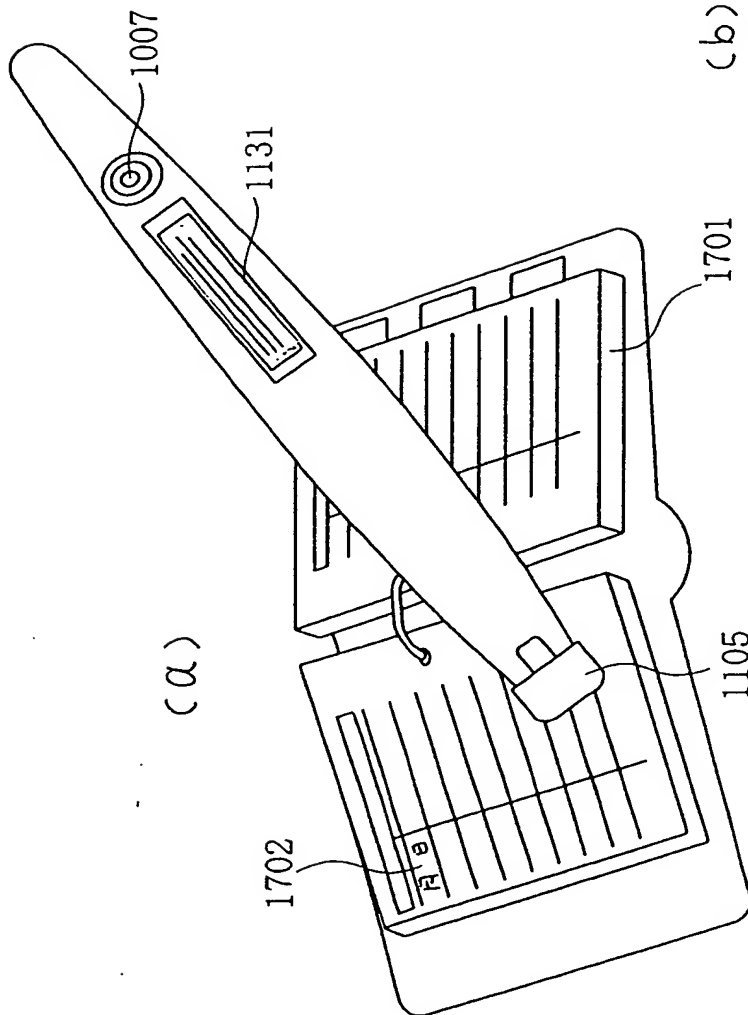


F i g. 101



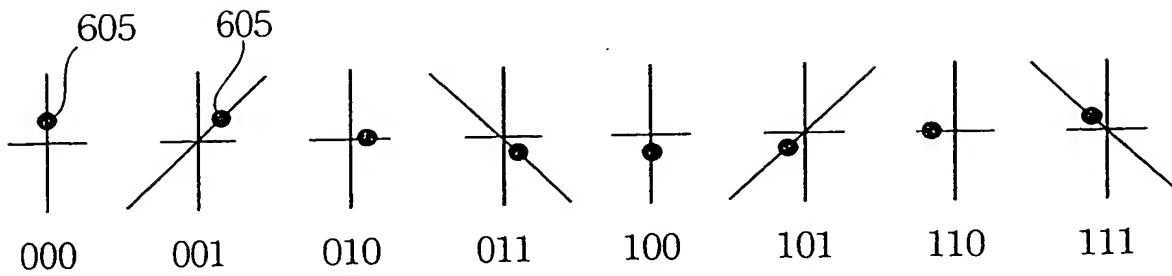
76/83

Fig. 102



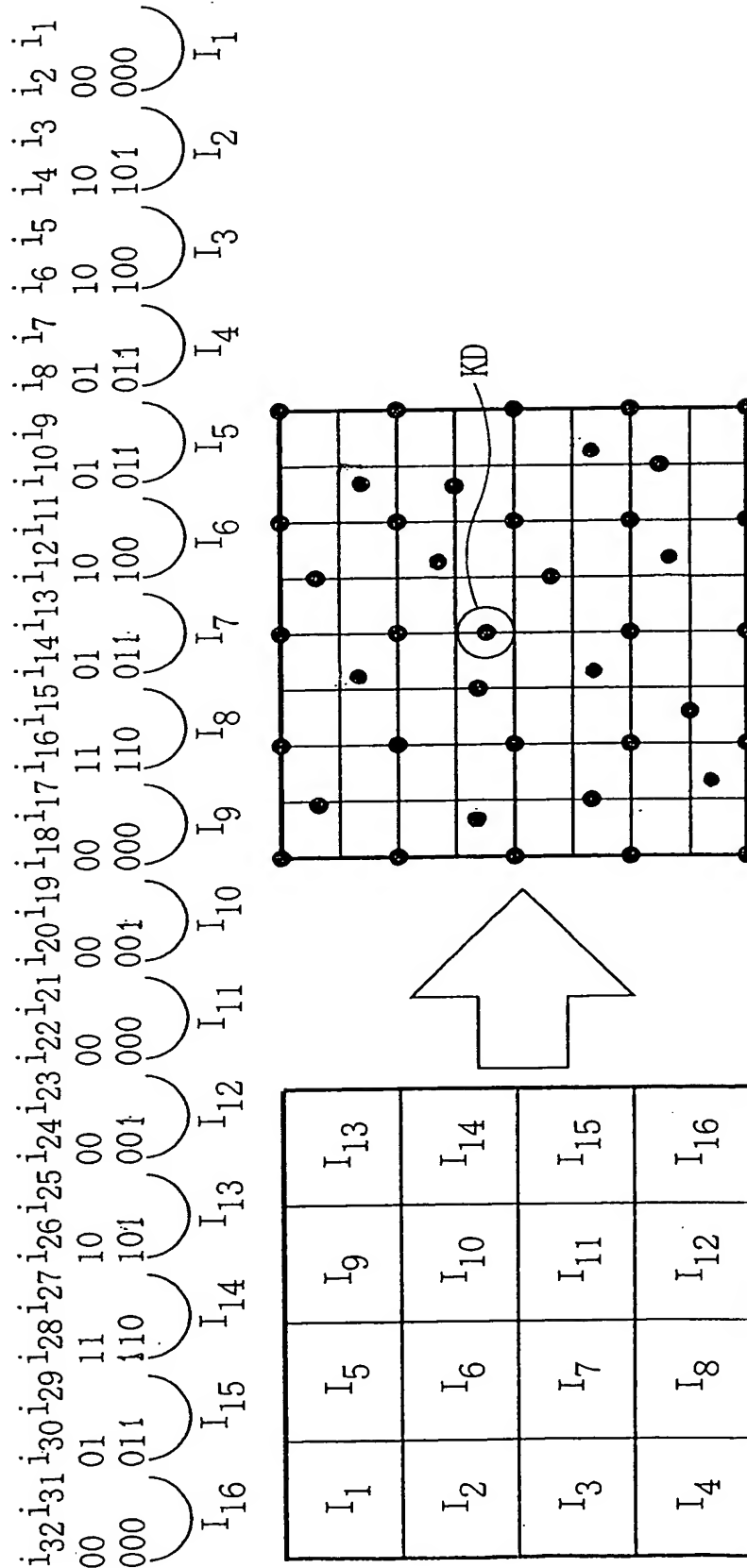
77/83

Fig. 103



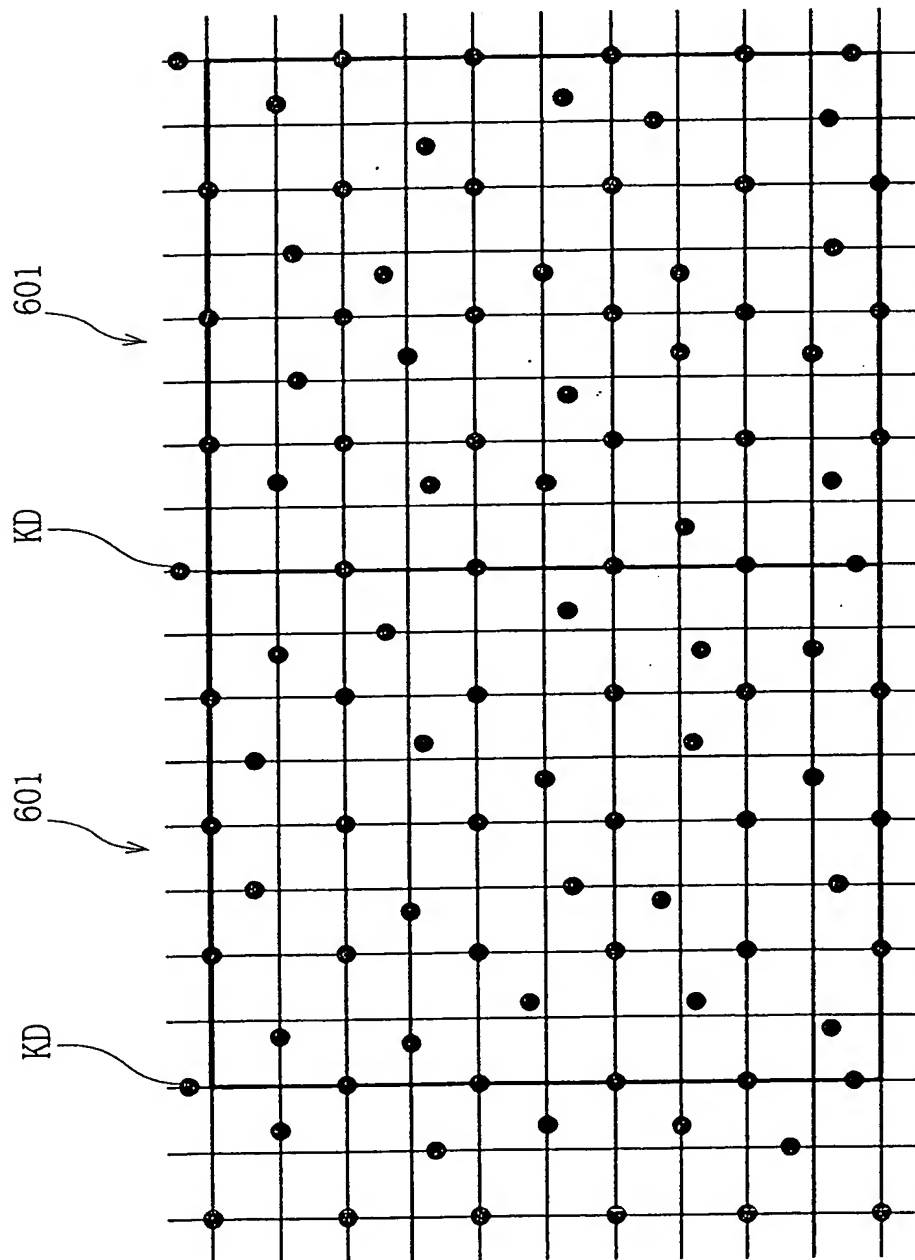
78/83

Fig. 104



79/83

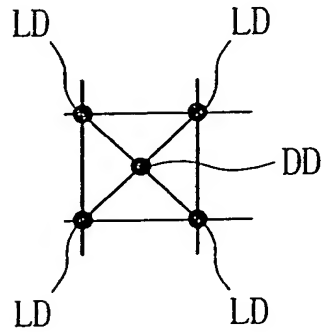
Fig. 105



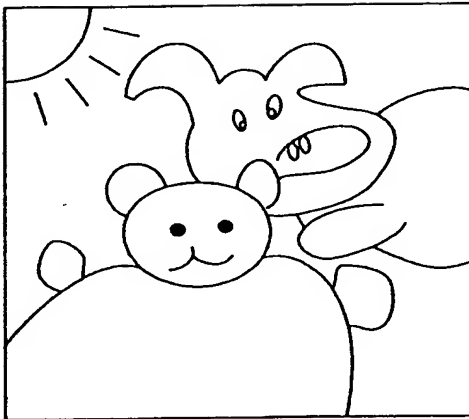
80/83

Fig. 106

(a)

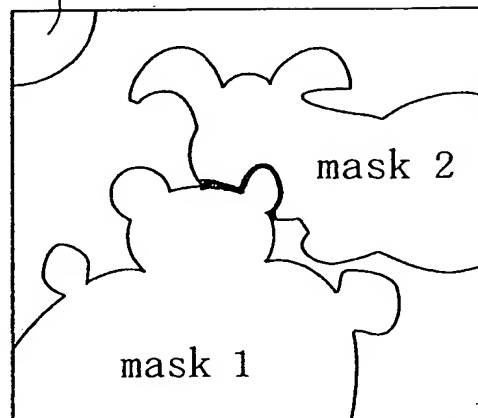


(b)

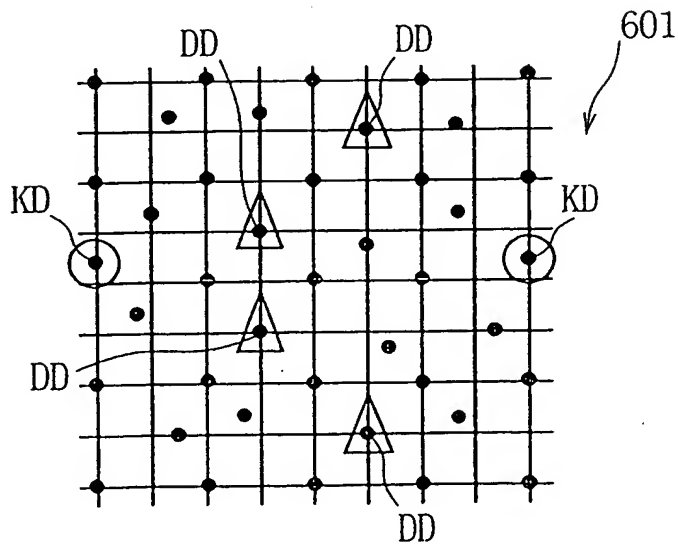


(c)

mask 3



(d)



81/83

Fig. 107

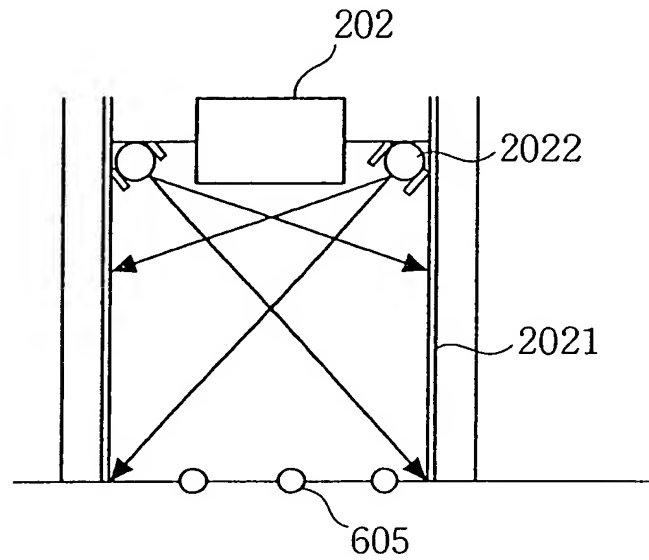


Fig. 108

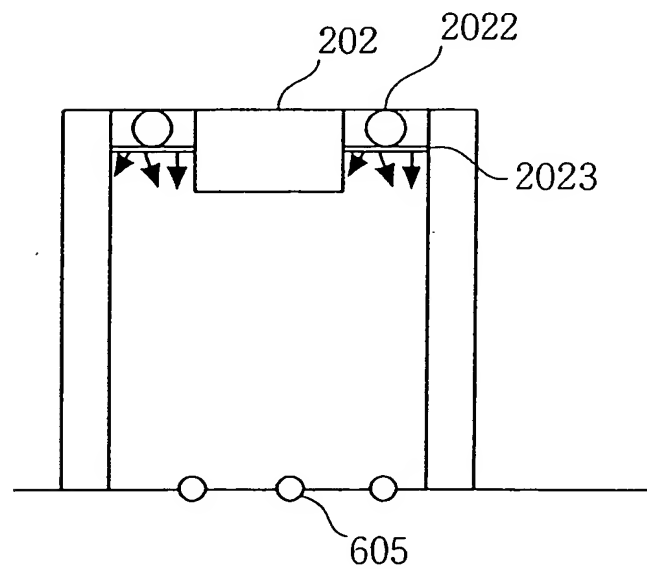
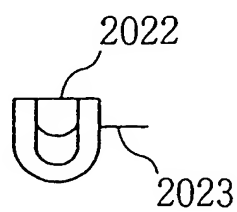


Fig. 109



82 / 83

Fig. 110

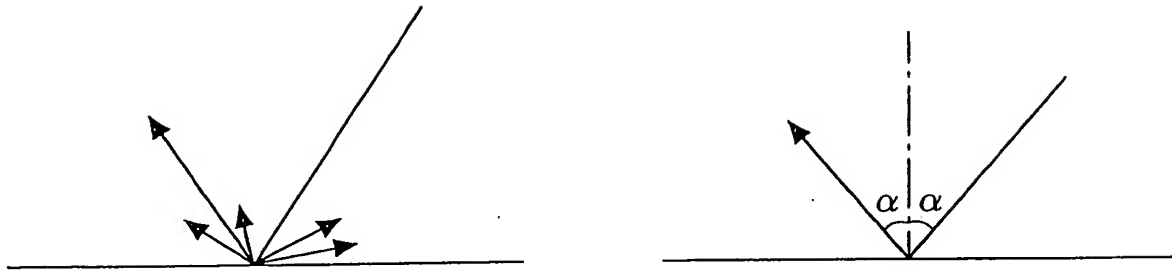
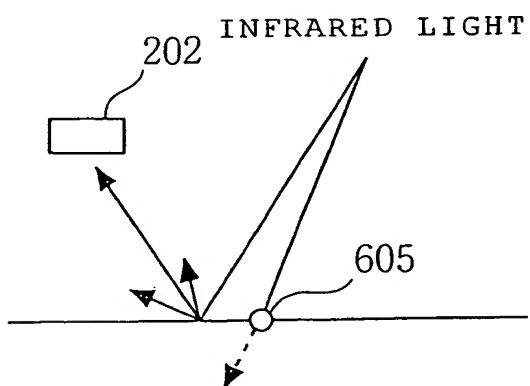
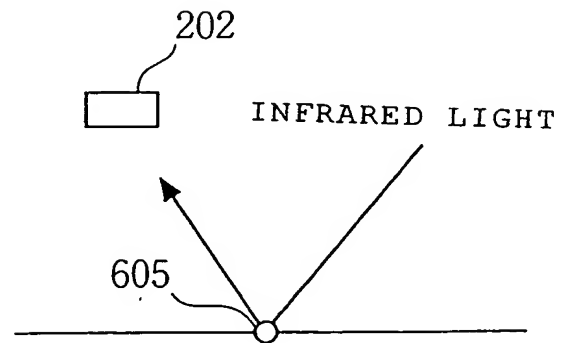


Fig. 111

DIFFUSE REFLECTION



SPECULAR REFLECTION



83/83

Fig. 112

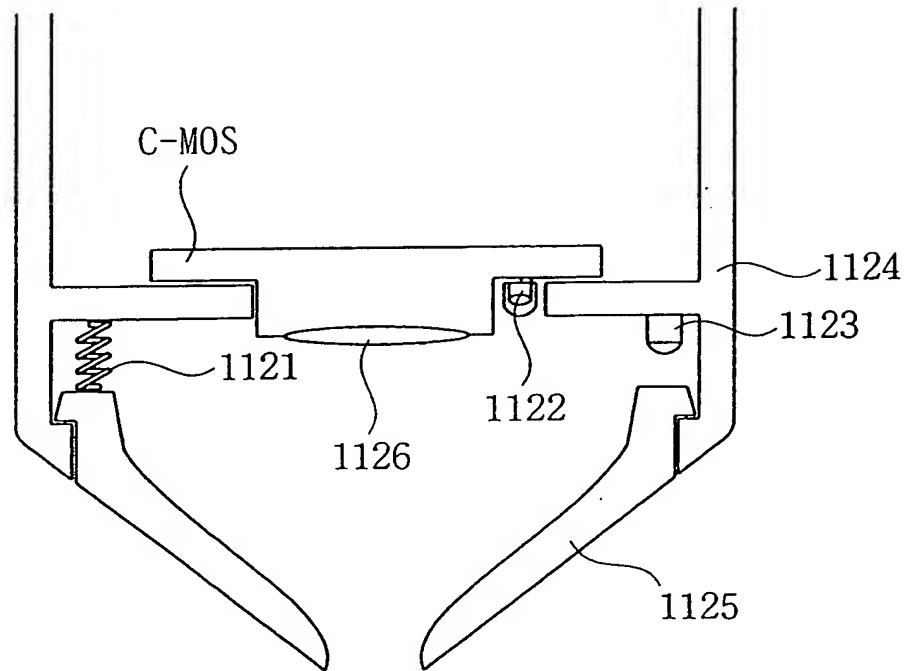


Fig. 113

